





دانشکده مهندسی برق و رباتیک

گروه کنترل

پایان نامه کارشناسی ارشد

عنوان

تشخیص خطای مقاوم با استفاده از یک رویتگر مود لغزشی برای سیستم

هوای پیمایی بوینگ ۷۴۷

دانشجو

پریسا انصاری

استاد راهنما

دکتر محمد علی صدرنیا

استاد مشاور

دکتر علی کرمی ملائی

بهمن ماه ۹۲



شماره: ۷۱۰۵۸  
تاریخ: ۹۲/۱۱/۲۷  
ویرایش: -----

بسمه تعالیٰ



مدیریت تحصیلات تکمیلی  
فرم شماره (۶)

فرم صورتجلسه دفاع پایان نامه تحصیلی دوره کارشناسی ارشد

با تأییدات خداوند متعال و با استعانت از حضرت ولی عمر (عج) جلسه دفاع از پایان نامه کارشناسی ارشد خارج آقای:

پریسا انصاری بناب

رشته: برق

گرایش: گنترول

تحت عنوان: نامشخص خطای متفاوت با استفاده از یک رؤیتگر مود لغزشی برای سیستم هوایی یولینک ۷۴۷

که در تاریخ ۹۲/۱۱/۲۷ با حضور هیأت محترم داوران در دانشگاه صنعتی شاهرود برگزار گردید به شرح زیر است:

قبول (با درجه: **خوب**)  **امتیاز ۱۹۵**  مردود

۱- عالی (۲۰ - ۱۹)

۲- بسیار خوب (۱۸ - ۱۷/۹۹)

۳- خوب (۱۷/۹۹ - ۱۵/۹۹)

۴- نمره کمتر از ۱۴ غیر قابل قبول

عنوان هیأت داوران	نام و نام خانوادگی	مرتبه علمی	المسماه
۱- استاد راهنمای	محمدعلی محمدی	استادیار	
۲- استاد مشاور	علی کرم‌کاری	استادیار	
۳- نماینده شورای تحصیلات تکمیلی	حسن‌علی رادمی	دکتری	
۴- استاد مختص	علی‌مردان	استاد	
۵- استاد مختص	عباس‌کاظمی	استاد	

رئیس دانشکده:

این پیان نامه را با تمام وجودم تقدیم می‌کنم

به پدر بزرگوارم، استوارترین تکیه‌گاه من در تمام زندگی ام

به مادر محب‌بازم که زندگی ام را می‌یون مهربان و عطوفت او می‌دانم

به خواهران و برادر عزیزم همیشگی و پشتونهای زندگی ام

با مشکرو پاس از استاد اشند و پلایه ام، جناب آقای دکتر محمد علی صدر نیا، به خاطر بد راهنمایی های ارزشمند شان، که بدون آن انجام

این پایان نامه میسر نبود.

هچنین از جناب آقای دکتر علی کرمی ملائی، استاد مشاورم به خاطر بدی راهنمایی هایشان پاکسازم.

و با پاس بی دین خدمت مهندس صادق ابراهیم خانی که مرا حسیان و مشغله زیاری داده.



# تعهد نامه

اینجانب پریسا انصاری بناب دانشجوی دوره کارشناسی ارشد رشته برق-کنترل دانشکده برق و رباتیک دانشگاه صنعتی شاهرود نویسنده پایان نامه تشخیص خطای مقاوم با استفاده از یک رویتگر مودلغزشی برای سیستم هوایپیمایی بوئینگ ۷۴۷ تحت راهنمایی دکتر محمدعلی صدرنیا متعهد می شوم.

- تحقیقات در این پایان نامه توسط اینجانب انجام شده است و از صحت و اصالت برخوردار است.
- در استفاده از نتایج پژوهش‌های محققان دیگر به مرجع مورد استفاده استناد شده است.
- مطلوب مندرج در پایان نامه تاکنون توسط خود یا فرد دیگری برای دریافت هیچ نوع مدرک یا امتیازی در هیچ جا ارائه نشده است.
- کلیه حقوق معنوی این اثر متعلق به دانشگاه صنعتی شاهرود می باشد و مقالات مستخرج با نام «دانشگاه صنعتی شاهرود و یا «Shahrood University of Technology» به چاپ خواهد رسید.
- حقوق معنوی تمام افرادی که در به دست آمدن نتایج اصلی پایان نامه تأثیرگذار بوده اند در مقالات مستخرج از پایان نامه رعایت می گردد.
- در کلیه مراحل انجام این پایان نامه ، در مواردی که از موجود زنده ( یا بافتی‌های آنها ) استفاده شده است ضوابط و اصول اخلاقی رعایت شده است.
- در کلیه مراحل انجام این پایان نامه، در مواردی که به حوزه اطلاعات شخصی افراد دسترسی یافته یا استفاده شده است اصل رازداری ، ضوابط و اصول اخلاق انسانی رعایت شده است

## تاریخ

## امضای دانشجو

### مالکیت نتایج و حق نشر

- کلیه حقوق معنوی این اثر و محصولات آن (مقالات مستخرج، کتاب، برنامه های رایانه ای، نرم افزار ها و تجهیزات ساخته شده است ) متعلق به دانشگاه صنعتی شاهرود می باشد. این مطلب باید به نحو مقتضی در تولیدات علمی مربوطه ذکر شود.
- استفاده از اطلاعات و نتایج موجود در پایان نامه بدون ذکر مرجع مجاز نمی باشد.

\* متن این صفحه نیز باید در ابتدای نسخه های تکثیر شده پایان نامه وجود داشته باشد .

## لیست مقالات مستخرج از پایان‌نامه:

[1] Ansari-Bonab, P. ; Karami-Mollaee, A. ; Sadrnia, M.A. “Adaptive Fuzzy Dynamic Sliding Mode Control Based LTR Observer for Fault Reconstruction” Fuzzy Systems (IFSC), 2013 13th Iranian Conference on, 1-5, 2013.

## IEEE CONFERENCE PUBLICATIONS

## چکیده

با توجه به اهمیت قابلیت اطمینان در سیستم‌های کنترل، طراحی روشی برای تشخیص و بازسازی خطا اهمیت بسیاری دارد. در این پایان نامه ابتدا با استفاده از رویتگرهای مدلغزشی و بررسی و تحلیل آنها برای بازسازی خطا، به تحلیل یک نوع رویتگر تطبیقی مدلغزشی پرداختیم، سپس یک رویتگر مدلغزشی تطبیقی متفاوت پیشنهاد کرد و پایداری رویتگر پیشنهادی را با استفاده از تئوری پایداری لیاپانوف بررسی کردایم. برای طراحی رویتگر پیشنهادی نیازی به دانستن حداکثر دامنه خطا نمی‌باشد، و این پارامتر توسط قانون تطبیق بدست می‌آید. نتایج شبیه‌سازی نشان‌دهنده عملکرد مناسب این رویتگر تطبیقی در تخمین حالت و خطای محرک است. در ادامه این تحقیق، با توجه به وجود عدم قطعیت و اغتشاش در سیستم، و تاثیر آنها بر فرایند بازسازی خطا محرک، یک رویتگر مدلغزشی تطبیقی پایدار برای تخمین خطای محرک پیشنهاد و همچنین جداسازی اغتشاش از خطای محرک تضمین شده است. مزیت رویتگر پیشنهادی علاوه بر جداسازی اغتشاش از خطای محرک، در عدم نیاز به دانش در مورد حداکثر دامنه خطای محرک نیز می‌باشد. همچنین علاوه بر استفاده از رویتگرهای مدلغزشی در بازسازی خطا محرک، از کنترل مدلغزشی دینامیک تطبیقی برای طراحی یک سیستم حلقه بسته که در مقابل خطای محرک مقاوم است نیز استفاده شده است. روش پیشنهادی یک کنترل تحمل پذیر خطا بوده و در عین حال با فرض محدود بودن خطای محرک، قادر به بازسازی خطا نیز می‌باشد. همچنین برای تخمین حداکثر عدم قطعیت و اغتشاش وارد بر سیستم از قانون تطبیق استفاده شده است. سطح لغزش جدیدی برای این کنترل کننده پیشنهاد شده که عمل بازسازی خطا محرک را نیز فراهم می‌کند. همچنین برای تخمین حالت‌های غیرقابل اندازه‌گیری از رویتگر مقاوم LTR استفاده شده، در نهایت پایداری سیستم حلقه بسته با استفاده از روش مستقیم لیاپانوف بررسی و تضمین شده است.

**کلمات کلیدی:** بازسازی خطا، رویتگر مدلغزشی تطبیقی، کنترل مدلغزشی دینامیک.

## فهرست مطالب

عنوان	صفحه
۱ فصل اول: مقدمه	۱
۲ مقدمه	۱-۱
۵ مرور تحقیقات پیشین	۲-۱
۱۱ مروری بر ساختار پایان نامه	۳-۱
۱۳ فصل دوم: تشخیص و بازسازی خطأ، مدل‌سازی ریاضی سیستم	۲
۱۴ مقدمه	۱-۲
۱۵ تعاریف	۲-۲
۱۷ خطأ و انواع دسته‌بندی آن	۳-۲
۱۹ تشخیص خطأ و انواع آن	۴-۲
۲۱ بازسازی خطأ	۵-۲
۲۲ مدل‌سازی ریاضی سیستم	۶-۲
۲۳ معادلات حرکت عرضی هواپیمای بوینگ ۷۴۷	۱-۶-۲
۲۵ فصل سوم: بازسازی خطأ با استفاده از رویتگر مودلغزشی	۳
۲۶ مقدمه	۱-۳
۲۷ بررسی عملکرد رویتگر مودلغزشی اوتکین	۲-۳

۳۱	ویژگی‌های حرکت لغزشی	۱-۲-۳
۳۲	نتایج شبیه سازی رویتگر اوتکین برای سیستم هواپیمایی بوینگ ۷۴۷	۲-۲-۳
۳۵	بررسی خواص دفع اغتشاش برای رویتگر اوتکین	۳-۲-۳
۳۷	صف کردن سیگنال ناپیوسته توسط تقریب	۴-۲-۳
۳۸	نتایج شبیه‌سازی ویژگی دفع اغتشاش رویتگر اوتکین برای هواپیمای بوینگ ۷۴۷	۵-۲-۳
۴۰	بررسی رویتگر مود لغزشی اسلوتین	۳-۳
۴۱	نتایج شبیه سازی عملکرد رویتگر اسلوتین برای هواپیمای بوینگ ۷۴۷	۱-۳-۳
۴۲	بررسی عملکرد رویتگر مود لغزشی ادواردز و اسپرجن برای بازسازی خطای حرک	۴-۳
۴۶	الگوریتم عددی برای طراحی رویتگر مود لغزشی مقاوم ادواردز و اسپرجن	۱-۴-۳
۴۹	نتایج شبیه‌سازی رویتگر مود لغزشی مقاوم ادواردز و اسپرجن برای بازسازی خطای حرک هواپیمای بوینگ ۷۴۷	۲-۴-۳
۵۲	بررسی عملکرد رویتگرهای مود لغزشی تطبیقی برای بازسازی خطای حرک	۵-۳
۵۲	رویتگر تطبیقی با تطبیق جمله‌ی ناپیوسته	۱-۵-۳
۵۴	نتایج شبیه‌سازی رویتگر تطبیقی با تطبیق جمله‌ی ناپیوسته برای بازسازی خطای حرک هواپیمای بوینگ ۷۴۷	۲-۵-۳
۵۸	رویتگر مود لغزشی تطبیقی برای بازسازی خطای حرک	۳-۵-۳
	نتایج شبیه‌سازی رویتگر مود لغزشی تطبیقی برای بازسازی خطای	۴-۵-۳

۶۳	محرك برای هواپیمای بوینگ ۷۴۷	
۶۷	۴ فصل چهارم: بازسازی خطای محرك به صورت مجزا از اغتشاش	
۶۸	۱-۴ مقدمه	
۶۹	۲-۴ فرمول‌بندی مسئله	
۷۱	۳-۴ طراحی رویتگر تطبیقی	
۷۳	۴-۴ بازسازی خطای محرك به صورت مجزا از اغتشاش	
۷۴	۵-۴ نتایج شبیه‌سازی	
۷۹	۵ فصل پنجم: بازسازی خطا و کنترل تحمل پذیر خطا با استفاده از کنترل کننده‌ی	
۸۰	۱-۵ مقدمه	
۸۰	۲-۵ معرفی سیستم شامل خطا	
۸۳	۳-۵ طراحی رویتگر LTR برای تخمین سطح لغزش	
۸۶	۴-۵ کنترل مود لغزشی دینامیک تطبیقی	
۸۹	۵-۵ نتایج شبیه‌سازی	
۹۳	۶ فصل ششم: نتیجه‌گیری و پیشنهادات	
۹۴	۱-۶ نتیجه‌گیری	
۹۵	۲-۶ پیشنهادات	

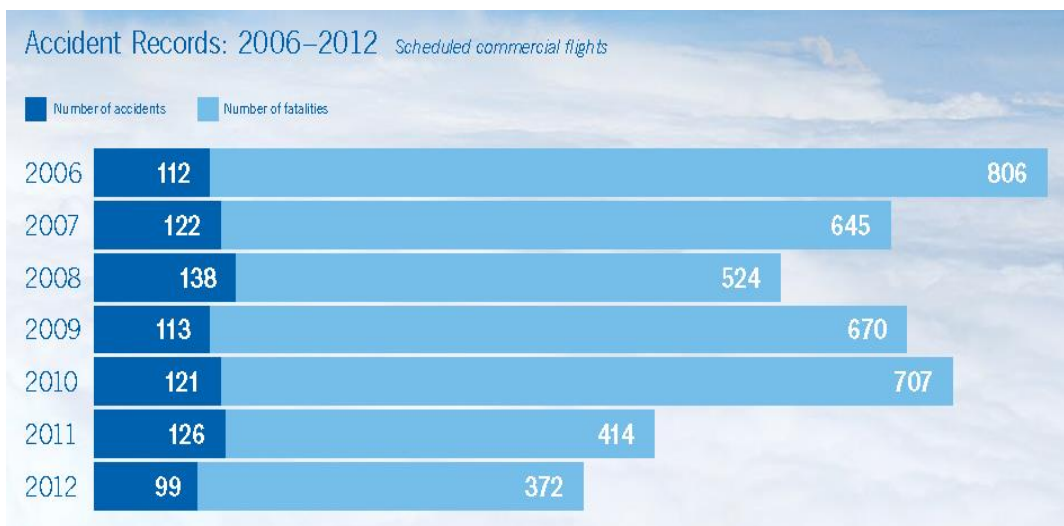


## فصل اول

### مقدمه

## ۱-۱ مقدمه

امنیت حمل و نقل هوایی و هواپیماها از مهمترین چالش‌های صنعت حمل و نقل است. شکل ۱-۱، تعداد تصادفات و تعداد مرگ و میر بر اثر سوانح هوایی را از سال ۲۰۰۶ تا ۲۰۱۲ نشان می‌دهد. مشاهده می‌شود که تعداد تلفات هوایی از سال ۲۰۰۶ تا ۲۰۱۲ حدود ۵۰٪ کاهش داشته و همچنین در این بازه زمانی تعداد تصادفات از ۱۱۲ تصادف در سال ۲۰۰۶ به ۹۹ تصادف در سال ۲۰۱۲ رسیده است. کاهش سوانح هوایی به دلیل آموزش‌های بیشتر خلبانان و کادر پرواز و استفاده از تکنولوژی‌های ایمنی در هواپیما می‌باشد.



شکل ۱-۱-تعداد تصادفات و تعداد مرگ و میر ثبت شده‌ی هوایی از سال ۲۰۰۶ تا ۲۰۱۲ [۱]

مسئله‌ی سقوط هواپیما باعث تراژدی‌های بسیاری مانند مرگ دسته جمعی مسافران می‌شود. همچنین این سوانح با مشکلات زیادی اعم از صرف هزینه‌ی زیاد به دلیل از بین رفتن هواپیما، خدمه آموزش دیده و مهتمر از همه از بین رفتن اعتماد مردم همراه است. در طول سه دهه‌ی گذشته با توجه به اهمیت مسئله‌ی قابلیت اطمینان در سیستم‌ها، تحقیقات گسترده‌ای در زمینه‌ی تشخیص و جداسازی خطا توسط محققین انجام شده است. یک خطا ممکن است در هردو بخش سخت‌افزاری و نرم‌افزاری سیستم هواپیما رخ دهد.

علت بسیاری از سوانح و تصادفات هوایی، اشتباهات انسان‌ها و وقوع خطا در سیستم هواپیماها و بد عمل کردن اجزای سیستم در حلقه‌ی کنترل است [۲]. محرک‌ها<sup>۱</sup> و حسگرهای<sup>۲</sup> معیوب، ممکن است در نهایت به نتایج و پیامدهای فاجعه‌باری منجر شود، در نتیجه نیاز به طراحی یک روش تشخیص و شناسایی خطا وجود دارد که به طور فعال خطاها را اصلاح کند، همچنین تشخیص اولیه‌ی تجهیزات از کار افتاده و دارای خطا، یک مسئله‌ی مهم در کنترل هواپیماست. برای ارضاکردن نیازهای ایمنی، قابلیت اطمینان و عملکرد مناسب در صنعت هواپیمایی، تشخیص خطاها اجزای سیستم، تشخیص خطای حسگرها و محرک‌ها بسیار مهم است، همچنین تشخیص دقیق منبع و شدت هر بد عمل کردنی در سیستم باید به طور کامل مشخص شود تا عملیات اصلاح مناسب صورت گیرد. زمانی که کنترل‌کننده‌ی نامی<sup>۳</sup> به صورت نادرست و با عملکرد پایین کار می‌کند یک دلیل احتمالی آن، تغییرات ایجاد شده در سیستم دینامیکی به علت یک شکست<sup>۴</sup> است. هواپیماهای جدید و مدرن به حسگرهای افزوده مجهز شده‌اند که در صورت خرابی یک حسگر، حسگر دیگر جایگزین آن می‌شود، همچنین آنها سطوح کنترلی زیادی دارند که حتی با وجود چند شکست در سیستم نیز می‌توانند مورد استفاده قرار بگیرند. زمانی که در سیستمی محرک‌ها خراب شوند، نه تنها توانایی سیستم کاهش می‌یابد بلکه ممکن است اغتشاش‌ها و انحراف‌های مداومی در سیستم تولید شود، در نتیجه نیازمند محرک‌ها و سیستمی هستیم که این خرابی محرک‌ها را جبران کند[۳].

در بسیاری از سیستم‌های کنترل، تنها تعداد محدودی از حالت‌های سیستم که خروجی آن را مشخص می‌کند قابل اندازه‌گیری می‌باشند. در حلقه‌ی کنترل از رویتگر برای تخمین حالت‌های غیرقابل اندازه‌گیری سیستم استفاده می‌شود. در واقع رویتگر با استفاده از اندازه‌گیری‌های موجود در حلقه‌ی کنترل حالت‌های غیرقابل اندازه‌گیری را تخمین می‌زند. بنابراین می‌توان گفت که رویتگر در شرایطی برای یک سیستم طراحی می‌شود که مشخصات سیستم اعم از ورودی‌های کنترلی و

<sup>1</sup> Actuators

<sup>2</sup> Sensors

<sup>3</sup> Nominal controller

<sup>4</sup> Failure

خروجی‌های سیستم کاملاً مشخص باشند. اولین رویتگر پیشنهاد شده، یک رویتگر خطی بود که توسط لیونبرگ<sup>۱</sup> طراحی شد[۴]، در آن حالت‌های تخمین زده شده توسط رویتگر به طور نمایی به حالت‌های واقعی سیستم همگرا می‌شدند و همچنین زمانی که سیستم واقعی شامل اغتشاش یا عدم قطعیت پارامتری باشد این رویتگر قادر به تخمین حالت‌های سیستم واقعی نیست. در واقع رویتگر لیونبرگ نسبت به عدم قطعیت‌ها و اغتشاش مقاوم نیست. با این توضیحات تخمین حالت‌های سیستم با حضور اغتشاش دچار مشکل می‌شود و حالت‌های رویتگر نمی‌توانند به حالت‌های سیستم واقعی میل کنند. در [۵]، اولین رویتگر مدل‌گزشی توسط اوتكین<sup>۲</sup> پیشنهاد شد که در آن از جمله‌ی غیر خطی ناپیوسته استفاده شده و خروجی‌های تخمین زده شده توسط این رویتگر در مدت زمان محدود به خروجی‌های واقعی سیستم میل می‌کنند، اما تخمین آن دسته از حالت‌های سیستم که جزء خروجی فرایند نیستند به صورت نمایی به مقادیر خود همگرا می‌شوند.

در [۶و۷] ولکات و زاک<sup>۳</sup> با اضافه کردن یک جمله‌ی خطی به رویتگر پیشنهاد شده توسط اوتكین توانستند که عملکرد این رویتگر را بهبود بخشنند به طوری که خطای تخمین در حضور عدم قطعیت‌ها به طور مجانبی همگرا می‌شود. این محققین (ولکات و زاک) با استفاده از محدودیت ساختاری یک روش و الگوریتم برای طراحی این رویتگر پیشنهاد داده‌اند. ولی این روش به دلیل محاسبات زیاد و پیچیده به‌ویژه برای سیستم‌های مرتبه بالا، دارای فرایند طراحی دشوار و پیچیده است. در [۸] ادواردز و اسپرجن<sup>۴</sup> رویتگر پیشنهاد شده توسط ولکات و زاک را تغییر داده و عملکرد آن را بهبود بخشیدند. در این رویتگر طراحی شده، ادواردز و اسپرجن یک روش طراحی سیستماتیک را فرمول‌بندی کرده‌اند (برخلاف روش ولکات و زاک که نیازمند یک محاسبات اولیه بسیار زیاد و طولانی است[۶و۷]). علاوه بر این، یک تفاوت دیگر بین رویتگر ادواردز و اسپرجن و رویتگر ولکات و زاک وجود دارد که این تفاوت به سطح لغزش تعریف شده در این رویتگرها مربوط است. در رویتگر

<sup>1</sup> Luenberger

<sup>2</sup> Utkin

<sup>3</sup> Walcott & Zak

<sup>4</sup> Edwards & Spurgeon

تعریف شده توسط ادواردز و اسپرجن خطای تخمین خروجی به عنوان سطح لغزش تعریف شده در حالی که در رویتگر تعریف شده توسط ولکات و زاک ، زیرمجموعه‌ای از خطای تخمین خروجی به عنوان سطح لغزش تعریف می‌شود.

## ۱-۲ مرور تحقیقات پیشین

رویتگر مدل‌لغزشی به طور گستره‌ای توسط محققین برای تخمین حالت‌های غیرقابل اندازه‌گیری سیستم و یا تخمین پارامترهای نامعلوم در زمینه‌های مختلف مهندسی مانند رباتیک، کنترل خودرو، موتورهای الکتریکی و غیره استفاده شده است. مزیت عمده رویتگرهای مدل‌لغزشی طراحی ساده، همگرای در زمان محدود و مقاوم بودن در مقابل عدم قطعیت می‌باشد.

پیاده‌سازی سخت‌افزاری ساده، مقاوم بودن نسبت به عدم قطعیت پارامتری، اغتشاش و نویز اندازه‌گیری و نهایتاً پاسخ دینامیکی سریع، باعث افزایش تحقیقات در زمینه‌ی توسعه و کاربرد رویتگرهای مدل‌لغزشی در کاربردهای مهندسی شده است. این رویتگر نسبت به فیلتر کالمن که برای پیاه‌سازی نیاز به اطلاعات دقیق از مدل خطی سیستم دارد نیازمند اطلاعات کمتر از مدل سیستم برای طراحی و پیاده‌سازی است [۹].

رویتگر مدل‌لغزشی از نوع تطبیقی مدل مرجع برای تخمین سرعت در مotor القایی بدون حسگر در [۱۰] پیشنهاد شده است. در [۱۱ و ۱۲] رویتگر و کنترل‌کننده‌ی مدل‌لغزشی به طور همزمان برای مotor القایی بررسی شده و همچنین، تضمین پایداری سیستم حلقه بسته نیز تحلیل شده است. روش رویتگر تطبیقی مود لغزشی در [۱۳] و روش رویتگر مرتبه‌ی دو مدل‌لغزشی در [۱۴] برای Motor القایی ارائه شده است. در [۱۵] رویتگر مدل‌لغزشی مرتبه‌ی بالا برای شناسایی پارامترهای نامعلوم سیستم‌های غیرخطی به کار گرفته شده است. رویتگرهای مود لغزشی به عنوان حسگر می‌توانند مورد استفاده قرار بگیرند علاوه بر آن برای اندازه‌گیری پارامترهای مورد نیاز کنترل خودرو استفاده شوند همچنین برای اهداف تشخیص خطا در بسیاری از سیستم‌ها کاربردهای فراوانی دارند [۱۶]. در [۱۷]

برای تخمین سرعت و موقعیت موتورهای رلوکتانسی<sup>۱</sup> از رویتگر مدلغزشی استفاده شده است. در [۱۸] به جای استفاده از حسگرهای موقعیت و سرعت در موتورهای رلوکتانسی رویتگر مدلغزشی جایگزین شده و نتایج شبیه‌سازی و پیاده‌سازی عملی، عملکرد مطلوب‌تر این روش را نشان می‌دهد. در [۱۹] برای تخمین ورودی نامعلوم سیستم‌هایی که حالت‌های آنها قابل اندازه‌گیری است از رویتگر مدلغزشی استفاده می‌شود.

روشهای مود لغزشی دارای خواص مقاوم پذیری بالایی هستند به طوری که نسبت به عدم قطعیت همسان<sup>۲</sup>، کاملاً غیر حساس هستند، همچنین دارای یک مفهوم طراحی نسبتاً سرراستی می‌باشد [۲۰]. علاوه بر آن، این روشهای برای مقابله با هردو عدم قطعیت ساختاری و غیرهمسان<sup>۳</sup> می‌توانند مورد استفاده قرار بگیرند [۲۱]. با توجه به خواص گفته شده روشهای مود لغزشی برای تشخیص خطای مقاوم نتایج مناسبی را ارائه می‌دهد [۲۰].

از دیگر ویژگی‌های رویتگرهای مدلغزشی می‌توان به کاربرد سیگنال تزریقی معادل خطای خروجی<sup>۴</sup> اشاره کرد که این سیگنال نوع فرکانس پایین جمله‌ی غیرخطی ناپیوسته بوده که قادر است اغتشاش موجود در سیستم را ردیابی کند و می‌توان با توسعه دادن آن، در کاربردهای تشخیص خطای از آن استفاده کرد.

ادواردز و همکارانش در ارائه‌ی کار انجام شده در [۲۳ و ۲۴ و ۲۵] از روشی برای طراحی رویتگر مدلغزشی استفاده کردند که با دیگر روش‌های مود لغزشی مانند روش چن و سیف<sup>۵</sup> [۲۶]، و همچنین با روش کار اسریدهار و همکارانش<sup>۶</sup> در [۲۷] و با کار یانگ و سیف<sup>۷</sup> در [۲۸] متفاوت است به طوری که حرکت لغزشی در تمامی زمان‌ها حتی در حضور خطای در سیستم نیز پایدار است. همچنین در

---

<sup>1</sup> Reluctance motor

<sup>2</sup> Matched uncertainty

<sup>3</sup> Unmatched uncertainty

<sup>4</sup> Equivalent output error injection signal

<sup>5</sup> Chen & Saif

<sup>6</sup> Sreedhar et al.

<sup>7</sup> Yang & Saif

رویتگر ادواردز و همکارانش در [۲۳] از سیگنال معادل خطای تزریقی خروجی که پایه و اساس حرکت لغزشی است استفاده شده، و با استفاده مناسب از این سیگنال می‌توان خطای را توسط آن بازسازی کرد. در طرح ارائه شده توسط ادواردز و اسپرجن شرط لازم و کافی برای طراحی رویتگر مود لغزشی نیز ارائه شده، بنابراین طراح می‌تواند در همان ابتدا تشخیص دهد که آیا این روش برای سیستم مورد بررسی‌اش قابل اجرا است یا خیر.

به طور کلی استفاده از روش رویتگر مود لغزشی برای تشخیص خطای از ۱۵ سال قبل پیشنهاد شده است. اسریدهار و همکارانش یک سری تحقیقات به همراه شبیه‌سازی برای هردو خطای محرک و حسگر و همچنین پردازش این خطای معرفی کردند [۲۵]. نتایج شبیه‌سازی‌های ارائه شده در [۲۵] نشان می‌دهد که رویتگر مود لغزشی پیشنهاد شده برای تشخیص خطای در مقایسه با رویتگرهای خطی نسبت به عدم قطعیت‌ها مقاوم است. در صورتی که رویتگرهای خطی مقاوم نبوده و در صورت وجود خطای مدل‌سازی به راحتی از کار می‌افتند و ممکن است هشدارهای اشتباهی برای وجود خطای اعلام کنند.

در [۲۷] واتانابه و هیملبلاؤ<sup>۱</sup>، یک روش تشخیص خطای مبتنی بر رویتگر ارائه کردند که به یک سری عدم قطعیت‌های خاص در سیستم، حساسیت کمی داشت. یانگ و سیف روش خود را با استفاده از یک رویتگر مود لغزشی تطبیقی، برای تنظیم آستانه توسعه دادند که تنظیم آستانه برروی حساسیت تشخیص خطای تأثیر زیادی می‌گذاشت. آن‌ها در روش خود پیشنهاد کردند که استفاده از آستانه‌ی متغیر با زمان<sup>۲</sup> می‌تواند منجر به عملکرد مطلوب شود، همچنین آن‌ها رویتگر خود را برای یک دسته‌ی خاصی از سیستم‌های غیرخطی که دارای پارامترهای متغیرند طراحی کردند به طوری که برای طراحی این رویتگر از خطی‌سازی استفاده شده و در نتیجه نسبت به عدم قطعیت‌ها مقاوم نبوده و ممکن است هشدارهای خطای اشتباهی تولید کند. روش طراحی آن‌ها بسیار مشابه با روش طراحی

<sup>1</sup> Watanabe & Himmelblau

<sup>2</sup> Time-varying threshold

ولکات و زاک در [۶] است ولی در مقایسه با آن دارای یک مزیت است، به این ترتیب که تخمین پارامترهای نامشخص نیز علاوه بر تشخیص خطا انجام می‌گیرد[۲۶]. در سال ۲۰۰۱ چن وسیف در [۲۴] استفاده از دینامیک‌های مرتبه‌ی دوم سطح لغزش را پیشنهاد کردند به این ترتیب که روش تشخیص خطا می‌تواند فرکانس‌های مرتبه‌ی بالای ناخواسته که به دلیل دینامیک‌های مدل‌نشده‌ی سیستم به وجود می‌آیند را فیلتر کند. موضوع کلیدی اشاره شده در کار چن وسیف، انتخاب بهره‌ی رویتگر است که به اندازه‌ی عدم قطعیت و اندازه‌ی اغتشاش بستگی دارد، یک بهره‌ی بزرگ ممکن است خطا را از بین برد و یک بهره‌ی کوچک نمی‌تواند حرکت لغزشی خطای تخمین خروجی را تضمین کند. روشی که آن‌ها انتخاب کردند مشابه کار یانگ و سیف در [۲۶] است به این ترتیب که از آستانه (بهره‌ی سوئیچینگ) استفاده کردند.

در [۲۸] روش رویتگر مودلغزشی برای تشخیص خطا با روش رویتگر ورودی نامعلوم مقایسه شده و این نتیجه بدست آمده که روش رویتگر مودلغزشی تحت شرایط محدودیتی<sup>۱</sup> کمتری می‌تواند طراحی شود. همچنین این مسئله اثبات شد که تشخیص دادن خطاهای بزرگ و ناگهانی برای همه‌ی سیستم‌های غیرخطی ممکن است و اینکه رویتگر مودلغزشی در مقایسه با رویتگر ورودی نامعلوم، خطاهای اولیه را بهتر تشخیص می‌دهد.

یو و کاواجی<sup>۲</sup> یک روش تشخیص خطا با استفاده از رویتگر مود لغزشی برای دسته‌ای از سیستم‌های خطی با خطای محرک توسعه دادند، کار انجام شده توسط آن‌ها دارای مزیت‌های مقاوم بودن و ساده بودن طراحی است، هدف آن‌ها ساختن سیگنال مانده و تخمین و بازسازی خطا است. نتایج تشخیص خطایی که به دست آمده نشان می‌دهد که مقدار خطای بدست آمده با مقدار واقعی اش یک تفاوت کوچک دارد در حالی که با روش بازسازی سیگنال خطا، مقدار خطا دقیق بدست آمده

<sup>1</sup> Restrictive condition

<sup>2</sup> Yeu & Kawaji

است [۲۹]. بعدها در سال ۲۰۰۲ ما و همکارانش<sup>۱</sup>، از روش رویتگر مدل‌لغزشی برای تشخیص خطای سیستم‌های غیرخطی با عدم قطعیت‌های دارای بند نامشخص، استفاده کردند، در روش پیشنهاد شده توسط آن‌ها خطا به صورت یکتابع غیرخطی فرض شده و با استفاده از یک شبکه عصبی مقدار خطای تخمین زده می‌شد [۳۰].

در [۳۱]، طراحی یک رویتگر چندگانه‌ی مدل‌لغزشی برای یک مدل چندگانه<sup>۲</sup> نشان داده شده که در آن، تخمین بردار حالت برای یک سیستم دینامیکی غیرخطی و متعاقباً ماندن برروی یک سطح از قبل تعریف شده در فضای حالت بدست می‌آید. این روش به طور عمده بر مسئله‌ی طراحی رویتگر غیرخطی برای تخمین حالت‌های سیستم‌های خطی که دارای ورودی‌های نامعلوم هستند، تأکید دارد.

وانگ و همکارانش<sup>۳</sup> در [۳۲]، یک روش تشخیص خطای معرفی کردند که در آن از یک شبکه‌ی عصبی تابع پایه شعاعی<sup>۴</sup> برای تخمین خطاهای این روش بر رویتگر مود لغزشی است که برای تشخیص خطای سیستم‌های غیرخطی شامل عدم قطعیت به کار گرفته شده، هدف اصلی آن‌ها از استفاده کردن از شبکه‌ی عصب توابع پایه شعاعی بدست آوردن مشخصات غیرخطی خطاهای موجود در سیستم است.

اگر سیگنال خطا را مانند یک سیگنال ناشناخته مدل کرده و در نظر بگیریم، رویتگرهای مود لغزشی قادرند این خطا را بازسازی کنند یا اینکه خطا را تشخیص داده و جداسازی کنند. اخیراً ادواردز و همکاران در [۲۲ و ۲۳] با استفاده از یک رویتگر توانسته اند سیگنال خطا را بازسازی کنند ولی اگر در سیستم اصلی مثلاً اغتشاش یا عدم قطعیت مدل نشده یا عدم قطعیت پارامتریک یا حتی اغتشاش داخلی نیز وجود داشته باشد این بازسازی خطای آن‌ها دقیق نخواهد بود [۲۲ و ۲۳]. بنابراین در همه‌ی

<sup>1</sup> Ma et al.

<sup>2</sup> Multiple model

<sup>3</sup> Wang et al.

<sup>4</sup> Radial basis

این حالتها بایستی بازسازی خطای مقاوم<sup>۱</sup> انجام گیرد. در [۳۳]، ادواردز و تان<sup>۲</sup> برای طراحی این رویتگر گفته شده یک روش طراحی پیشنهاد کردند برای مثال در این روش بهره‌ی  $L_2$  از اغتشاش به بازسازی خطای حداقل می‌شود تا اغتشاش در سیگنال خطای بازسازی شده کمترین تأثیر را بگذارد.

در [۲۳] از یک رویتگر مود لغزشی بر اساس رویتگر معرفی شده در [۸] برای بازسازی خطای استفاده شده است. در این طرح ارائه شده، در فرایند بازسازی خطای، به طور صریح اغتشاش خارجی در نظر گرفته نشده و در نتیجه نسبت به آن مقاوم نمی‌باشد. وجود اغتشاش بر روی خطای می‌تواند باعث دیده نشدن خطای و هشدارهای اشتباه شود. دیده نشدن خطای موجب خرابی محرک و آسیب دیدن سیستم می‌شود.

در [۳۳] بر اساس طرح ارائه شده در [۲۳] یک رویتگر مقاوم مود لغزشی برای بازسازی خطای ارائه شده، همچنین این رویتگر بهره  $L_2$  از اغتشاش به بازسازی خطای حداقل می‌کند. با وجود اینکه در این تحقیق تأثیر اغتشاش بر روی بازسازی خطای به طور کامل حذف نشده ولی تأثیر آن حداقل شده است. در [۳۴] یک روش برای ترکیب خطای و اغتشاش ارائه شده که در آن بردار خطای افزوده (اغتشاش و خطای) بازسازی می‌شود، اگرچه این روش ارائه شده، جداسازی خطای و اغتشاش را به طور موفقیت آمیزی انجام می‌دهد ولی برای طراحی چنین سیستمی، نیاز به برآورده شدن قیدها و شروط بسیاری است، همچنین در فرایند بازسازی خطای و به طور کلی در سیستم‌های کنترل نیازی به ساخت مستقیم اغتشاش نیست و تنها، کاهش اثر اغتشاش و دفع آن هدف می‌باشد. در [۳۵] دو روش ارائه شده در [۲۳] و [۳۴] مقایسه و بررسی شده‌اند، در نهایت به این نتیجه رسیده شده که برای دفع اغتشاش در فرایند بازسازی خطای نیاز به بازسازی اغتشاش نمی‌باشد.

---

<sup>1</sup> Robust fault reconstruction

<sup>2</sup> Edwards and Tan

### ۱-۳ مروری بر ساختار پایان نامه

در فصل دوم برخی تعاریف و بازسازی خطا مورد بررسی قرار گرفته، همچنین یک مدل ریاضی برای دینامیک عرضی هواپیما ارائه شده است. در فصل سوم رویتگرهای مودلغزشی مورد بررسی قرار گرفتند.

در فصل سوم، با مرور و بررسی رویتگرهای مودلغزشی، معاوی و مزایای رویتگرهای مودلغزشی بررسی می‌شوند. با توجه به اینکه بازسازی خطا با استفاده از رویتگر مودلغزشی، نیاز به دانستن حداقل خطا محرک دارد، در نهایت با بررسی یک نوع رویتگر تطبیقی، معاوی آن بررسی و مشخص می‌گردد. سپس یک رویتگر تطبیقی پایدار، برای تخمین حالت‌های سیستم و بازسازی خطا محرک پیشنهاد می‌دهیم. پایداری این رویتگر پیشنهادی با استفاده از تئوری پایداری لیاپانوف اثبات شده است. همگرایی خطا تخمین حالت به ناحیه‌ای در نزدیکی مبدا تضمین شده و در نتیجه تخمین خطا محرک با خطا محدود تضمین گردیده است.

در فصل چهارم با فرض وجود عدم قطعیت و اغتشاش در سیستم، و تاثیر این عوامل بر فرایند بازسازی خطا می‌برداریم، با توجه به اینکه وجود عدم قطعیت و اغتشاش در سیستم ممکن است باعث دیده نشدن خطا عملگر شود، یک رویتگر مودلغزشی تطبیقی برای بازسازی خطا پیشنهاد می‌کنیم، رویتگر پیشنهادی پایدار بوده و تضمین همگرایی حالت‌ها به محدوده‌ای در نزدیکی حالت‌های اصلی سیستم تضمین شده است.

در فصل پنجم با استفاده از روش کنترل کننده تحمل پذیرخطا طراحی می‌شود. با پیشنهاد یک سطح لغزش مناسب، و با فرض محدود بودن خطا محرک، علاوه بر کنترل تحمل پذیرخطا، بازسازی خطا محرک نیز بدست آمده است. در این بخش برای تخمین حالت‌های غیرقابل اندازه‌گیری سیستم از یک رویتگر مقاوم LTR استفاده می‌کنیم، همچنین برای

تخمین حداکثر عدم قطعیت و اغتشاش وارد بر سیستم از کنترل مولفه‌گشی دینامیک تطبیقی استفاده شده است. در نهایت در فصل ششم به نتیجه‌گیری و ارائه پیشنهادات می‌پردازیم.

## فصل دوم

تشخیص و بازسازی خطأ، مدل‌سازی ریاضی سیستم

در طول ۵۰ دهه‌ی گذشته برای کنترل عملکرد بالا و پایدارسازی بالای سیستم‌ها به منظور بهینه‌کردن هزینه‌ها و بهینه‌کردن تلاش کنترلی، روش‌های سیستم‌های کنترلی، از ساختارهای فیدبکی مکانیکی ساده به دستگاه‌های الکترونیکی بسیار پیچیده و سطح بالا تغییر یافته است. تعدادی از این روش‌ها، به طور مثال در [۳۶] کنترل کننده‌ی PID و فیلتر کالمن در [۳۷و۳۸] موفقیت بسیاری را در زمینه‌ی صنعت با رنج وسیعی از تقاضاها به همراه داشته‌اند. ولی دیگر روش‌های کنترلی سطح بالا و پیچیده به راحتی در زمینه‌ی صنعت مورد استقبال و پذیرش قرار نگرفتند. در دو دهه‌ی گذشته تعدادی از روش‌هایی که توجه زیاد و خوبی را به خود جلب کردند روش‌های کنترل مقاوم چندمتغیره و کنترل تطبیقی بودند [۴۲-۴۹]. این روش‌ها با در نظر گرفتن نیاز سیستم‌های حساسی مانند هواپیماها و کارخانه‌های شیمی و همچنین کارخانه‌های انرژی هسته‌ای به بهینه‌کردن عملکرد ایمنی آن‌ها، مورد توجه قرار گرفتند. این سیستم‌های حساس نیاز شدید به سیستم‌های کنترلی گفته شده در بالا دارند تا بدین وسیله از بروز تغییرات بزرگ در وضعیت عملیاتی آن‌ها جلوگیری شود. با این وجود حتی در حضور این سیستم‌های کنترلی در برخی مواقع یک اتفاق غیرمنتظره یا غیرمعمول در سیستم اتفاق می‌افتد و به سادگی سیستم کنترلی درهم می‌شکند و ممکن است پایداری یا عملکرد مطلوب سیستم از بین برود. به عنوان مثال برای این اتفاقات غیرمعمول می‌توان به خطا و شکست که در ادامه تعریف می‌شوند و معمولاً در طراحی سیستم‌های کنترلی مورد بررسی قرار نمی‌گیرند اشاره کرد.

مسئله‌ی رسیدن به سطح مشخصی از پایداری و عملکرد در موقعی که وضعیت غیرمنتظره و غیرمعمول برای سیستم بوجود می‌آید مخصوصاً برای سیستم‌هایی که ایمنی برای آن‌ها اهمیت زیادی دارد (کارخانه‌های انرژی هسته‌ای و شیمیایی) یا سیستم‌هایی که ساختار آن‌ها بسیار هزینه‌بردار است (مانند ماهواره و زیردریایی) نیازمند روشهای کنترل کننده‌های تطبیقی یا مقاوم هستند. یک

مثال مهم برای سیستمی که به یک روش کنترلی نیاز دارد افزایش بقای<sup>۱</sup> یک هواپیما است زمانی که خطای شکستی در حسگرها یا محرک‌ها در طول پرواز رخ می‌دهد، وضعیت حساس هواپیما نیازمند یک استراتژی<sup>۲</sup> اورژانسی است تا این اجرا و توانایی را به خلبان بدهد تا بی‌خطر هواپیما را بر زمین بنشاند، این استراتژی ویژه کنترل تحمل‌پذیر خطای<sup>۳</sup> نامیده می‌شود.

امنیت و سلامت مسافران هواپیما همیشه به عنوان یک موضوع بسیار مهم در صنعت هواپیمایی تجاری مطرح بوده است. در سال‌های اخیر همهی خلبان‌ها باید یک دوره‌ی آموزش بسیار وسیعی بگذرانند تا این دوره به آن‌ها کمک کند که عکس العمل مناسبی را در مقابل مشکلات پیش‌بینی نشده در طول مدت پرواز از خود نشان دهند، علاوه بر آن با اعمال اندازه‌گیری‌های امنیتی بسیار دقیق به هواپیما و پیاده‌کردن تکنولوژی امنیتی، تعداد تصادفات و سوانح مصیبت‌بار به صورت چشمگیری کاهش یافته است [۴۳].



ب



الف

شکل ۲-۱-۲- فرود اضطراری هواپیمای DHL A300B4 پس از اصابت موشک به آن در بغداد، ۲۰۰۳ [۴۴]

## ۲-۲ تعاریف

<sup>۱</sup> Survivability

<sup>۲</sup> Strategy

<sup>۳</sup> Fault tolerant control (FTC)

## تعاریف حالت‌ها و سیگنال‌ها:

خطا (عیب)<sup>۱</sup> : انحراف غیر مجاز حداقل یک ویژگی رفتاری یا پارامتر سیستم از شرایط قابل قبول، معمول یا استاندارد است.

شکست : یک وقفه‌ی موقت در توانایی یک سیستم برای اجرای یک عمل مورد نیاز تحت شرایط عملکردی ویژه می‌باشد.

خطا<sup>۲</sup> : انحراف بین مقدار اندازه‌گیری شده یا محاسبه شده‌ی یک متغیر خروجی و مقدار واقعی یا از نظر تئوری درست آن متغیر است.

بدعمل کردن<sup>۳</sup> : یک بی‌نظمی متناوب در برآورده کردن عملکرد مطلوب سیستم می‌باشد.

اغتشاش<sup>۴</sup> : یک ورودی ناشناخته و کنترل نشده که به سیستم وارد می‌شود.

باقیمانده<sup>۵</sup> : یک شاخص خطأ، مبتنی بر انحراف بین اندازه‌گیری و محاسبات مبتنی بر معادلات مدل می‌باشد.

سیمپтом<sup>۶</sup> : تغییر یک مقدار مشاهده‌پذیر از مقدار نرمالش می‌باشد.

## تعاریف توابع:

کشف خطأ<sup>۷</sup> : تعیین حضور و زمان وقوع خطأ در سیستم نامیده می‌شود.

جداسازی خطأ<sup>۸</sup> : تعیین نوع، مکان خطأ و زمان تشخیص یک خطأ است و به دنبال تشخیص خطأ انجام می‌شود.

<sup>1</sup> Fault

<sup>2</sup> Error

<sup>3</sup> Malfunction

<sup>4</sup> Disturbance

<sup>5</sup> Residual

<sup>6</sup> Symptom

<sup>7</sup> Fault detection

شناسایی خطا<sup>۲</sup> : تعیین اندازه و رفتار متغیر با زمان یک خطا است و به دنبال جداسازی خطا انجام می‌گیرد.

تشخیص خطا<sup>۳</sup> : تعیین نوع، اندازه، مکان و زمان تشخیص یک خطا است و کشف خطا و شناسایی خطا را دربر دارد [۴۵ و ۴۶].

## ۲-۳- خطا و انواع دسته‌بندی آن

الف: انواع خطا بر اساس مشخصه‌ی زمانی:

۱- خطای ناگهانی<sup>۴</sup> ۲- خطای نرم<sup>۵</sup> ۳- خطای موقتی<sup>۶</sup>

۱- خطای ناگهانی در اثر معیوب شدن سخت افزار به وقوع می‌پیوندد این نوع خطا بسیار شدید بوده و بر عملکرد سیستم و پایداری آن تأثیر مستقیم دارد به این دلیل نیاز فوری به اصلاح دارد، این نوع خطا با تابع پله مدل می‌شود.

۲- خطاهای نرم بیانگر تغییرات پارامتری کندی بوده که در اثر کهنه‌شدن سیستم رخ می‌دهد. این نوع خطا صدمه‌ی ناگهانی ایجاد نمی‌کند ولی شناسایی آن مشکل می‌باشد، این نوع خطا با تابع شبیه مدل می‌شود.

۳- خطاهای موقتی به صورت متناوب ظاهر می‌شوند و سپس ناپدید می‌گردند. برای مثال می‌تواند به دلیل یک اتصال جزئی رخ دهد. این نوع خطا به صورت ترکیبی از توابع ضربه با دامنه‌های متفاوت مدل می‌شود.

---

<sup>1</sup> Fault isolation

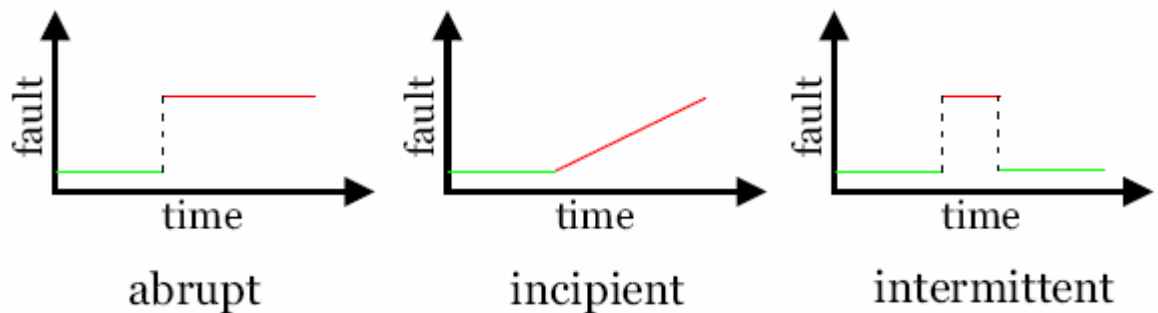
<sup>2</sup> Fault identification

<sup>3</sup> Fault diagnosis

<sup>4</sup> Abrupt fault

<sup>5</sup> Incipient fault

<sup>6</sup> Intermittent fault



شکل ۲-۲-خطای ناگهانی، نرم و موقتی [۴۷]

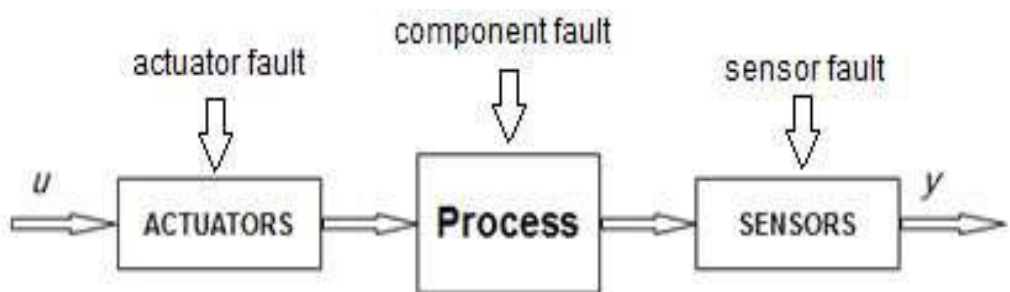
ب: انواع خطا بر اساس مکانی که در سیستم رخ می‌دهد:

خطا می‌تواند در حسگرها، محرک‌ها و همچنین عناصر سیستم رخ دهد:

خطایی که در حسگر رخ می‌دهد: این نوع خطا بیانگر اطلاعات نادرستی است که حسگر دارای خطا به سیستم می‌دهد در مواردی که استفاده از حسگر از لحاظ ابعاد و قیمت محدودیت نداشته باشد می‌توان با بکارگیری حسگرهای اضافی ایمنی سیستم را بالا برد.

خطایی که در محرک رخ می‌دهد سبب از بین رفتن کامل یا جزئی عملیات کنترل می‌شود.

خطایی که در پارامترهای فیزیکی یا اجزای سیستم رخ می‌دهد سبب بد عمل کردن سیستم می‌شود و شامل هر خطایی است که نتوان جزء خطاها محرک یا حسگر قرار داد.



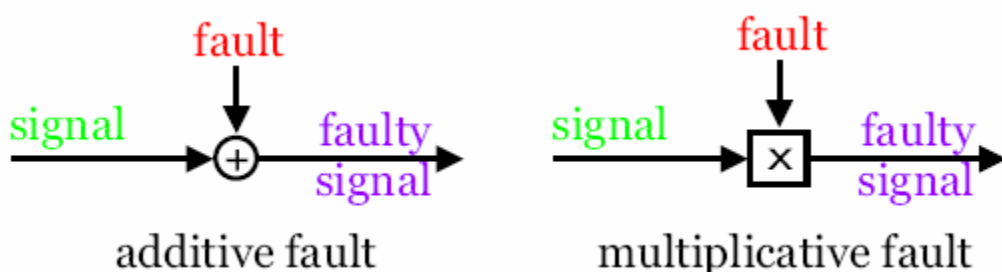
شکل ۲-۳-مکان‌های احتمالی وقوع خطا [۴۷]

## ج: انواع خطا از نظر مدل کردن در سیستم:

### ۱-خطاهای جمع‌شونده<sup>۱</sup> ۲-خطاهای ضرب‌شونده<sup>۲</sup>

در خطاهای جمع‌شونده، خطا به صورت جمع شدن با متغیری که خطا در آن رخ داده مدل می‌شود، برای مثال می‌توان به آفست بر روی حسگر اشاره کرد.

در خطاهای ضرب‌شونده، خطا در متغیری که خطا در آن رخ داده ضرب می‌شود، این خطا اغلب به صورت تغییر پارامتر در فرآیندها ظاهر می‌شود [۴۷].



شکل ۴-۲- خطای جمع‌شونده و خطای ضرب‌شونده [۴۷]

## ۴-۲ تشخیص خطا و انواع آن

زمانی که خطایی در سیستم رخ می‌دهد، مهم‌ترین مسئله‌ای که مورد توجه قرار می‌گیرد این است که یک هشدار<sup>۳</sup> تولید شود و اتفاق افتادن خطا را اعلام کند سپس به‌طور ایده‌آل شناسایی شود که کدام خطا رخ داده است و در نهایت چگونگی برخورد با این خطا تصمیم‌گیری شود. مسئله‌ی کشف خطا، پیداکردن منبع و مکان خطا و همچنین انجام یک عمل مناسب در مقابل این خطا، اساس و پایه‌ی کنترل تحمل‌پذیر خطا را تشکیل می‌دهد [۴۳].

<sup>۱</sup> Additive fault

<sup>۲</sup> Multiplicative fault

<sup>۳</sup> Alarm

در اوایل دهه‌ی ۱۹۷۰، مسئله‌ی تشخیص و جداسازی خطا مورد توجه بسیاری قرار گرفت و روش‌های مبتنی بر افزونگی تحلیلی و افزونگی سخت‌افزاری بسیاری مورد مطالعه واقع شد. در اولین مورد سیستم با دستگاه‌های افزونگی سخت افزاری مانند حسگرها و محرک‌ها مجهز شد به طوری که وقتی خطایی در سیستم رخ می‌داد این دستگاه‌های افزوده شده به سیستم جایگزین قسمت خراب شده می‌شد. روش‌های افزونگی تحلیلی دارای قاعده‌ی کلی کاملاً متفاوتند. در این روش‌ها باید مدل دقیقی از سیستم برای تقلید رفتار واقعی فرآیند در دست باشد. در این روش‌ها زمانی که خطایی اتفاق می‌افتد سیگنال مانده، برای تشخیص و جداسازی خطا مورد استفاده قرار می‌گیرد. اگر روش افزونگی تحلیلی با روش افزونگی سخت‌افزاری مورد مقایسه قرار گیرد روش افزونگی تحلیلی دارای چند مزیت است بخصوص از جنبه‌های اقتصادی، کاربردی و عملی. همچنین روش تحلیلی هیچ نیازی به تجهیزات اولیه ندارد ولی این روش تنها عیبی که دارد نیاز ضروری آن به داشتن مدل دقیق سیستم واقعی مورد بررسی است [۴۵].

روش‌های تشخیص خطا در حالت کلی به دو بخش تقسیم‌بندی می‌شود:

۱- روش‌هایی که نیازی به مدل سیستم ندارند.

۲- روش‌های مبتنی بر مدل.

در حال حاضر روش‌های تشخیص و جداسازی خطای مبتنی بر مدل، به دلیل مسائل اقتصادی و امنیتی مورد توجه زیادی قرار گرفته است. اساس روش‌های تشخیص خطای مبتنی بر مدل توسط پتن و همکارانش<sup>۱</sup> در [۴۸-۵۰]، توسط باسویل و نیکیفرو<sup>۲</sup> در [۵۱] و همچنین توسط گرتلر<sup>۳</sup> در [۵۲] به طور مفصل بررسی شده‌اند. روش‌های مبتنی بر مدل به سه بخش تقسیم‌بندی می‌شود:

۱- رویتگرهای خروجی (تخمین‌گرها، فیلترها) ۲- معادلات برابری ۳- شناسائی و تخمین پارامتر

---

<sup>1</sup> Patton et al.

<sup>2</sup> Basseville & Nikiforov

<sup>3</sup> Gertler

یک ویژگی بسیار مهم این روش‌ها (روش‌های تشخیص خطای مبتنی بر مدل) تعیین نوع خطا است. به این معنی که با استفاده از این روش‌ها، خطای جمع‌شونده که بروی متغیرها به صورت جمعبند با آن‌ها و خطاهای ضرب شونده که بروی متغیرها به صورت ضرب به آن‌ها اثر می‌گذارند به راحتی از هم تشخیص داده می‌شوند به طوری که نتایج حاصل شده توسط این روش‌ها برای این دو نوع خطا کاملاً متفاوت از هم می‌باشد [۴۵]. از میان روش‌های مبتنی بر مدل، روش استفاده از رویتگرها اخیراً بسیار مورد توجه واقع شده‌اند [۵۳].

## ۲- ۵ بازسازی خطای

پایه و اساس بیشتر روش‌های تشخیص خطای مبتنی بر مدل، استفاده از سیگنال مانده است ولی اخیراً به دلایلی که بیان خواهد شد بازسازی یا تخمین سیگنال خطای بر روش مانده ترجیح داده می‌شود و دارای مزیت‌های بسیاری است:

یک جایگزین مفید و مناسب برای روش تولید مانده، بازسازی خطای است که نه تنها خطای تشخیص داده و جدا می‌کند بلکه یک تخمینی از خطای و شکل و اندازه‌ی خطای را بدست می‌دهد که با این روش بهتر می‌توان عملیات اصلاح برای این خطای را فراهم کرد [۲۲ و ۲۳ و ۳۴]. همچنین روش‌های بازسازی خطای برای شناسایی حضور خطاهای اولیه‌ی موجود در سیستم که تشخیص این خطاهای با دیگر روش‌های تشخیص خطای مشکل است، بسیار مؤثر هستند [۴۸ و ۴۹].

روش‌های تشخیص خطای با سیگنال مانده بیشتر برای مسائل تشخیص و جداسازی خطای در زمانی مناسب است که ساختار تأثیر خطای بر روی سیستم به طور کامل شناخته نشده باشد. و همچنین برای تعیین محل یک خطای رخ داده شده در سیستم باید تعدادی سیگنال مانده‌ی غیرمشابه مورد استفاده قرار گیرد در حالی که تخمین یا بازسازی خطای یک روش مستقیم برای فراهم کردن اطلاعات مربوط به سیگنال خطای است که زمانی که با دیگر سیگنال‌های خطای تخمین زده

شده در همان سیستم مقایسه می‌شود می‌تواند برای جداسازی خطأ مورد استفاده قرار بگیرد. علاوه بر این، تخمین خطأ یا بازسازی خطأ یک تخمین مستقیم از اندازه و شدت یک خطأ را فراهم می‌کند که در بسیاری از کاربردها اهمیت زیادی دارد [۲۳].

## ۶-۲ مدل‌سازی ریاضی سیستم

دینامیک‌های پرواز، حرکت هواپیما را تحت نیروهای مختلف شرح می‌دهد. هواپیما آزاد است که به هر جهتی پرواز کند پس دارای شش درجه آزادی است. بنابراین سیستم دینامیکی بسیار پیچیده و غیرخطی دارد. به کار بردن معادلات غیرخطی برای شبیه‌سازی بسیار مشکل است به همین دلیل از مدل خطی‌شده‌ی آن استفاده می‌کنیم، به این دلیل که سیستم هواپیما بسیار پیچیده است برای تعیین مدل خطی آن باید ساده‌سازی بزرگی انجام گیرد. مدل خطی هواپیمای بوینگ ۷۴۷ برای تشخیص یا بازسازی خطأ در آن، مناسب‌تر است.

در حالت کلی، معادلات حرکت یک هواپیما، مانند هواپیمای بوینگ ۷۴۷، به دو بخش تقسیم می‌شود [۵۴]:

### ۱-معادلات حرکت طولی ۲-معادلات حرکت عرضی

در اینجا معادلات حرکت عرضی بوینگ ۷۴۷ در نظر گرفته شده است که از سه بخش غلظیدن<sup>۱</sup>، منحرف شدن<sup>۲</sup> و جهت لغزش<sup>۳</sup> تشکیل شده است (مطابق شکل ۳-۱). غلظیدن با زاویه‌ی  $\varphi$  و سرعت زاویه‌ای  $\rho$ ، منحرف شدن با سرعت زاویه‌ای  $\gamma$  و جهت لغزش با زاویه‌ی جهت لغزش  $\beta$  نمایش داده می‌شود.

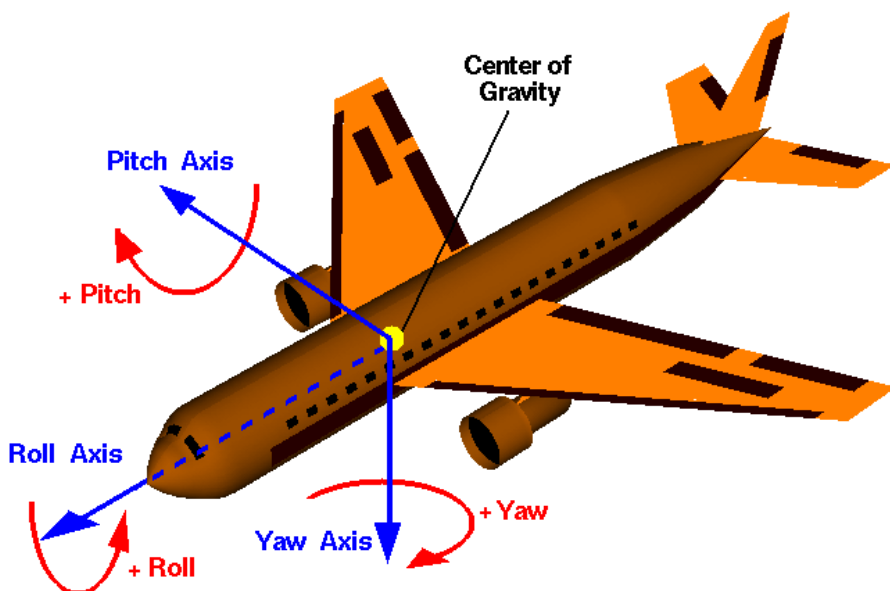
<sup>1</sup> Rolling

<sup>2</sup> Yawing

<sup>3</sup> Side-slip

دو محرک در این هواپیما پایداری را تضمین می کنند و همچنین هواپیما را در مسیر مطلوب راهنمایی می کنند این دو محرک عبارتند از  $\delta_a$  و  $\delta_g$ . زاویه  $\delta_a$  که در قسمت متحرک بال هواپیما در پشت هواپیما واقع شده است و  $\delta_g$  زاویه سکان هواپیما که در دم عقب هواپیما واقع شده است.

و فرض می شود حسگرهای موجود در این هواپیما عبارتند از سرعت انحراف<sup>۱</sup>، زاویه ی جهت لغزش<sup>۲</sup> و سرعت غلtíden<sup>۳</sup> [۵۴].



شکل ۱-۳ جهت‌ها و زوایای هواپیما

## ۱-۶-۲ معادلات حرکت عرضی هواپیمای بوینگ ۷۴۷

در مدل فضایی حالت پیشنهاد شده برای حرکت عرضی هواپیمای بوینگ ۷۴۷،  $r$ ،  $\beta$ ،  $\rho$  و  $\varphi$  که در بالا معرفی شده‌اند به عنوان متغیرهای حالت انتخاب می‌شوند [۵۴]:

$$\dot{x} = Ax + Bu$$

<sup>۱</sup> Yaw rate

<sup>۲</sup> Side-slip angle

<sup>۳</sup> Roll rate

$$y = Cx$$

$$\begin{bmatrix} \dot{\beta} \\ \dot{r} \\ \dot{\rho} \\ \dot{\phi} \end{bmatrix} = \begin{bmatrix} -0.0558 & -0.9968 & 0.0802 & 0.0415 \\ 0.5980 & -0.1150 & -0.0318 & 0 \\ -3.0500 & 0.3880 & -0.4650 & 0 \\ 0 & 0.0805 & 1 & 0 \end{bmatrix} \begin{bmatrix} \beta \\ r \\ \rho \\ \varphi \end{bmatrix} + \begin{bmatrix} 0.00729 & 0.0583 \\ -0.4750 & -2.0100 \\ 0.1530 & 0.0241 \\ 0 & 0 \end{bmatrix} \begin{bmatrix} \delta_a \\ \delta_g \end{bmatrix} \quad (1-2)$$

$$y = \begin{bmatrix} 0 & 1 & 0 & 0 \\ 1 & 0 & 0 & 0 \\ 0 & 0 & 1 & 0 \end{bmatrix} \begin{bmatrix} \beta \\ r \\ \rho \\ \varphi \end{bmatrix} \quad (2-2)$$

## فصل سوم

بازسازی خطاب استفاده از رویتگر مود لغزشی

## ۱-۳ مقدمه

هدف از طراحی رویتگرها، بدست آوردن یا تخمین حالت‌های سیستم است که قابل اندازه‌گیری نیستند و برای این طراحی، از ورودی‌های معلوم سیستم و خروجی‌های اندازه‌گیری شده‌ی آن استفاده می‌شود. اختلاف خروجی رویتگر و خروجی سیستم اصلی خطای تخمین خروجی نامیده می‌شود و به عنوان بخش اصلاح‌کننده به رویتگر، فیدبک می‌شود. اولین رویتگر خطی، رویتگر لیونبرگ است [۴]. زمانی که در سیستم اصلی یک سیگنال ناشناخته وجود داشته باشد رویتگرهای خطی قادر نیستند خطای تخمین خروجی را به صفر برسانند، درواقع قادر نیستند حالت‌های رویتگر را به حالت‌های سیستم همگرا کنند. ولی یک رویتگر مود لغزشی به دلیل اینکه در آن، خطای تخمین خروجی در مسیر فیدبک با یک جمله‌ی سوئیچینگ غیر خطی<sup>۱</sup> مدل شده است این مشکل را ندارد و با وجود سیگنال‌های ناشناخته در سیستم نیز قادر است با تعیین یک باند مشخص برای دامنه‌ی اغتشاش و عدم قطعیت، در یک زمان محدود خطای تخمین خروجی را به صفر میل دهد و همچنین حالت‌های رویتگر را به حالت‌های سیستم به طور مجانبی همگرا کند [۵ و ۸].

در یک رویتگر مود لغزشی در طول حرکت لغزشی زمانی که حالتها به سطح لغزش می‌رسند، سیگنال معادل خطای تزریقی خروجی، حاوی اطلاعاتی درباره‌ی سیگنال‌های ناشناخته است و با مقیاس بندی<sup>۲</sup> مناسب آن، می‌توان با دقت مناسب این سیگنال‌های ناشناخته را تخمین زد. به دلیل اینکه خطا جزء این سیگنال‌های ناشناخته است پس می‌توان با رویتگر مود لغزشی و با استفاده از سیگنال معادل خطای تزریقی خروجی، خطا را بازسازی کرد.

در [۵] اولین رویتگر مود لغزشی توسط اوتکین معرفی شده است. در [۶] ولکات و زاک این رویتگر را بهبود بخشیدند آنها با اضافه کردن یک جمله‌ی فیدبک خطی توانستند مقدار پچ لغزشی<sup>۳</sup> را افزایش دهند. ادواردز و اسپرجن رویتگر معرفی شده توسط ولکات و زاک را تغییر دادند تغییرات بر

<sup>1</sup> Nonlinear switching term

<sup>2</sup> Scaling

<sup>3</sup> Sliding patch

روی سطح لغزش رویتگر اعمال شد و همچنین یک روش طراحی مدون معرفی کردند علاوه بر آن در روش آن‌ها شرایط لازم و کافی برای وجود رویتگر با توجه به ماتریس‌های سیستم اصلی معرفی شد و مشخص شد که کدام رویتگر برای چه دسته‌ای از سیستم‌ها قابل پیاده‌سازی است [۸].

یکی از مشلات در طراحی رویتگر مود لغزشی، نیاز به دانش در مورد حداکثر خطای محرک می‌باشد، در [۲۳ و ۲۲] طراحی رویتگر برای بازسازی خطای محرک با فرض معلوم بودن دامنه خطای انجام شده است، با توجه به اینکه دامنه خطای بھر جمله سوئیچینگ غیرخطی است، این بھر در دامنه‌ی نوسانات غیرخطی سیستم تاثیر گذار بوده و همچنین در کیفیت و عملکرد بازسازی خطای نیز موثر است. همچنین حداکثر دامنه خطای در طول کار سیستم متغیر بوده و در نتیجه برای بدست آوردن عملکرد مطلوب و مناسب، نیاز به الگوریتمی برای تطبیق این پارامتر داریم. در [۴۷ و ۵۵] از قانون تطبیق برای تخمین سیگنال معادل خطای تزریقی خروجی استفاده شده، ولی برای طراحی فرض شده که خطای ثابت و دارای تغییرات آهسته زمانی است و در نتیجه این روش هنگامی که خطای متغیر با زمان است با مشکل مواجه می‌شود.

در این بخش پس از بررسی چند رویتگر مود لغزشی، رویتگر ارائه شده در [۴۷ و ۵۵] را بررسی می‌کنیم، این رویتگر بر اساس رویتگر مدل‌لغزشی معرفی شده توسط اسپرجن و ادواردز [۲۳ و ۲۲] و مدل تطبیقی آن می‌باشد. سپس در نهایت یک رویتگر مود لغزشی برای تخمین حالت‌های سیستم و خطای محرک پیشنهاد می‌دهیم، همگرایی و پایداری رویتگر پیشنهادی را با استفاده از تئوری پایداری لیاپانوف اثبات کرده و با استفاده از شبیه سازی مزیت و برتری روش پیشنهادی نسبت به رویتگرهای مدل‌لغزشی دیگر را نشان می‌دهیم.

## ۲-۳ بررسی عملکرد رویتگر مود لغزشی اوتکین

سیستم خطی به صورت زیر در نظر می‌گیریم:

$$\dot{x}(t) = Ax(t) + Bu(t) \quad (1-3)$$

$$y(t) = Cx(t) \quad (2-3)$$

که در این سیستم  $C \in R^{p \times n}$  و  $B \in R^{n \times m}$  ،  $A \in R^{n \times n}$  است. فرض می‌شود که این سیستم رویت پذیر است و در نتیجه می‌توان رویتگر غیر خطی مود لغزشی اوتکین [۵] را به این سیستم اعمال نمود. قبل از اعمال رویتگر به سیستم برای سهولت محاسبات تبدیلی روی سیستم اعمال می‌شود تا بردار  $p$  بعدی خروجی فقط تابعی از  $p$  متغیر حالت آخر باشد در نتیجه ماتریس تبدیل بر حسب ماتریس خروجی  $C$  به صورت زیر تعریف می‌شود:

$$T_c = \begin{bmatrix} N_C^T \\ C \end{bmatrix} \quad (3-3)$$

که در این ماتریس تبدیل،  $N_C$  فضای پوچی ماتریس خروجی  $C$  را اسپن<sup>۱</sup> می‌کند. حال این تبدیل به سیستم اعمال می‌شود  $T_C x \mapsto x$  و در نتیجه ماتریسهای  $(A, B, C)$  به صورت زیر تبدیل می‌شوند:

$$T_C A T_C^{-1} = \begin{bmatrix} A_{11} & A_{12} \\ A_{21} & A_{22} \end{bmatrix} \quad T_C B = \begin{bmatrix} B_1 \\ B_2 \end{bmatrix} \quad C T_C^{-1} = [0 \quad I_p] \quad (4-3)$$

که در آن  $B_1 \in R^{(n-p)}$  و  $A_{11} \in R^{(n-p) \times (n-p)}$  است.

بعد از اعمال تبدیل به سیستم نوبت به طراحی رویتگر اوتکین می‌رسد، معادلات رویتگر اوتکین در [۵] به صورت زیر می‌باشد:

---

<sup>1</sup> Span

$$\dot{\hat{x}}(t) = A\hat{x}(t) + Bu(t) + G_n v \quad (5-3)$$

$$\hat{y}(t) = C\hat{x}(t) \quad (6-3)$$

که در این معادلات  $(\hat{x}, \hat{y})$  تخمین  $(x, y)$  و  $e_y = \hat{y} - y$  جمله‌ی غیرخطی ناپیوسته است. که به صورت زیر تعریف می‌شود:

$$v_i = \rho sgn(e_{y,i}), \quad i = 1, 2, \dots, p \quad (7-3)$$

که در آن  $\rho$  یک اسکالر حقیقی مثبت و  $e_{y,i}$  آمین جزء بردار  $e_y(t)$  است. طبق معادله‌ی  $(7-3)$  جمله‌ی  $v$  برای راندن مسیر  $e(t)$  به  $S$  طراحی شده، که سطح لغزش به صورت  $S = \{e : Ce = 0\}$  تعریف شده. طبق مختصات  $(4-3)$  ماتریس  $G_n$  به صورت زیر انتخاب می‌شود:

$$G_n = \begin{bmatrix} G_{n,1} \\ -I_p \end{bmatrix} \quad (8-3)$$

می‌باشد که  $G_{n,1} \in R^{(n-p) \times p}$  ماتریس طراحی رویتگر است.

حال خطای تخمین حالت و خطای تخمین خروجی به ترتیب به صورت  $-e(t) := \hat{x}(t) - x(t)$  و  $e_y(t) := \hat{y}(t) - y(t)$  تعریف می‌شوند، با توجه به تعریف خطای تخمین حالت، معادله‌ی آن با توجه به معادلات  $(1-3)-(2-3)$  و  $(3-3)-(5-3)$  به صورت زیر می‌باشد:

$$\dot{e}(t) = Ae(t) + G_n v \quad (9-3)$$

با توجه به ساختار ماتریس خروجی  $C$  در مختصات  $(4-3)$ ، می‌توان خطای تخمین حالت را به صورت  $e_1 \in R^{n-p}$  که  $e = (e_1, e_y)$  است نوشت، در نتیجه معادله‌ی  $(9-3)$  به صورت زیر خواهد بود:

$$\dot{e}_1(t) = A_{11}e_1(t) + A_{12}e_y(t) + G_{n,1}v \quad (10-3)$$

$$\dot{e}_y(t) = A_{21}e_1(t) + A_{22}e_y(t) - \nu \quad (11-3)$$

که با توجه به تعریف  $\nu$  رابطه‌ی بالا به صورت زیر در می‌آید:

$$\dot{e}_{y,i}(t) = A_{21,i}e_1(t) + A_{22,i}e_y(t) - \rho sgn(e_{y,i}) \quad (12-3)$$

که  $A_{21,i}$  و  $A_{22,i}$  به ترتیب نامین سطر از  $A_{21}$  و  $A_{22}$  هستند.

برای تحلیل همگرایی  $e_{y,i}(t)$  و اینکه در زمان محدود به صفر میل میکند تابع لیاپانوف زیر پیشنهاد می‌شود:

$$\begin{aligned} V &= \frac{1}{2}e_{y,i}^2 \rightarrow \dot{V} = e_{y,i}\dot{e}_{y,i} = e_{y,i}(A_{21,i}e_1 + A_{22,i}e_y) - \rho|e_{y,i}| \\ &< -|e_{y,i}|(\rho - |(A_{21,i}e_1 + A_{22,i}e_y)|) \end{aligned}$$

اگر در رابطه‌ی بالا مقدار کمیت  $\rho$  به اندازه‌ی کافی بزرگ باشد طوری که رابطه‌ی زیر را ارضا کند در این حالت تابع کاندید پیشنهادی  $V$  به عنوان یک تابع لیاپانوف خواهد بود.

$$\rho > |A_{21,i}e_1 + A_{22,i}e_y| + \eta \quad (13-3)$$

که در رابطه‌ی بالا  $\eta \in R_+$  بنابراین:

$$\dot{V} = e_{y,i}\dot{e}_{y,i} < -\eta|e_{y,i}| \quad (14-3)$$

با برقراری رابطه‌ی (14-3) ثابت می‌شود که  $e_{y,i}$  در زمان محدود به صفر میل می‌کند. زمانی که تمام اجزای  $e_y(t)$  به صفر میل کنند در این حالت حرکت لغزشی اتفاق افتاده است. زمانی که حرکت لغزشی اتفاق بیفتند طبق تعریف سطح لغزش  $e_y(t) = \dot{e}_y(t) = 0$  می‌شود و در نتیجه سیستم خطای تعریف شده در معادلات (10-3) و (11-3) به صورت زیر نوشته می‌شوند:

$$\dot{e}_1(t) = A_{11}e_1(t) + G_{n,1}v_{eq} \quad (15-3)$$

$$0 = A_{21}e_1(t) - v_{eq} \quad (16-3)$$

در دو معادله‌ی بالا  $v_{eq}$ ، سیگنال تزیریقی معادل خطای خروجی نامیده می‌شود. دو معادله‌ی (۱۵-۳) و (۱۶-۳) زمانی معتبر هستند که حرکت لغزشی اتفاق افتاده و حالتها بر روی سطح لغزش  $S$  باشند. در بخش زیر ویژگی‌های این حرکت لغزشی بررسی می‌شود.

### ۱-۲-۳ ویژگی‌های حرکت لغزشی

در این بخش رفتار سیستم در طول حرکت لغزشی بررسی می‌شود. با حذف  $v_{eq}$  از (۱۵-۳) و (۱۶-۳)، معادله‌ی زیر حاصل می‌شود:

$$\dot{e}_1(t) = (A_{11} + G_{n,1}A_{21})e_1(t) \quad (17-3)$$

که این معادله دینامیک خطای ردیابی در روی سطح لغزش را نشان می‌دهد.

لم ۱-۳ جفت  $(A_{11}, A_{21})$  رویت پذیر است اگر و تنها اگر  $(A, C)$  رویت پذیر باشد.

اثبات: [۵].

برای تضمین پایداری معادله‌ی (۱۷-۳)، باید  $G_{n,1}$  به طور مناسب انتخاب شود.

در طراحی رویتگر غیر خطی مود لغزشی اوتكین باید دو نکته‌ی مهم را در نظر گرفت. هدف از طراحی این رویتگر این است که خطای تخمین خروجی در زمان محدود به صفر میل کرده و دیگر حالتهای رویتگر به طور مجانبی به حالتهای سیستم میل کنند. برای تضمین همگرایی معادلات خطای صفر دو پارامتر طراحی وجود دارد اگر این دو پارامتر به طور مناسب انتخاب شود همگرایی تضمین می‌شود این دو پارامتر عبارتند از  $\rho_{-1}$  پارامتر اول برای تضمین همگرایی معادله‌ی (۱۱-۳) و  $G_{n,1}$  پارامتر اول برای تضمین همگرایی معادله‌ی (۱۰-۲).

طراحی می‌شود اگر این پارامتر به طوری انتخاب شود که معادله‌ی (۱۳-۳) را ارضاء کند در این حالت،  
حالتهای سیستم به سطح لغزش رسیده و حرکت لغزشی اتفاق افتاده و خطای تخمین خروجی به  
صفر می‌رسد علاوه بر این به معادله‌ی (۱۷-۳) می‌رسیم که در این مرحله باید پارامتر طراحی دوم به  
طور مناسب انتخاب شود تا این معادله پایدار بوده و خطای تخمین حالت به صفر میل کند.

## ۲-۲-۳ نتایج شبیه سازی رویتگر اوتکین برای سیستم هواپیمایی بوینگ ۷۴۷

در این قسمت با استفاده از شبیه سازی، عملکرد رویتگر اوتکین بر روی مدل سیستم هواپیمایی  
بوینگ ۷۴۷ بررسی می‌شود. با توجه به مدل سیستم بوینگ که در فصل قبل توضیح داده شد  
معادلات (۱-۳) و (۲-۳) به صورت زیر می‌باشد:

$$A = \begin{bmatrix} -0.0558 & -0.9968 & 0.0802 & 0.0415 \\ 0.5980 & -0.1150 & -0.0318 & 0 \\ -3.0500 & 0.3880 & -0.4650 & 0 \\ 0 & 0.0805 & 1 & 0 \end{bmatrix}, \quad (18-3)$$

$$B = \begin{bmatrix} 0.00729 & 0.0583 \\ -0.4750 & -2.0100 \\ 0.1530 & 0.0241 \\ 0 & 0 \end{bmatrix}, \quad C = \begin{bmatrix} 0 & 1 & 0 & 0 \\ 1 & 0 & 0 & 0 \\ 0 & 0 & 1 & 0 \end{bmatrix}$$

همانطور که مشخص است این سیستم دارای چهار متغیر حالت، دو ورودی و سه خروجی می‌باشد اگر  
شرایط اولیه برای حالتهای سیستم و شرایط اولیه برای حالتهای رویتگر را به صورت  $x(0) = [0 \ 0 \ 0]^T$   
و  $\hat{x}(0) = [0 \ 0 \ 0]^T$  در نظر بگیریم طبق معادلات  
بخش قبل خواهیم داشت:

$$T_C = \begin{bmatrix} 0 & 0 & 0 & 1 \\ 0 & 1 & 0 & 0 \\ 1 & 0 & 0 & 0 \\ 0 & 0 & 1 & 0 \end{bmatrix} \quad (19-3)$$

$$T_C A T_C^{-1} = \begin{bmatrix} 0 & 0.0805 & 0 & 1 \\ 0 & -0.1150 & 0.5980 & -0.0318 \\ 0.0415 & -0.9968 & -0.0558 & 0.0802 \\ 0 & 0.3880 & -3.05 & -0.4650 \end{bmatrix}, \quad T_C B = \\ \begin{bmatrix} 0 & 0 \\ -0.4750 & -2.0100 \\ 0.0073 & 0.0583 \\ 0.1530 & 0.0241 \end{bmatrix}, \quad C T_C^{-1} = \begin{bmatrix} 0 & 1 & 0 & 0 \\ 0 & 0 & 1 & 0 \\ 0 & 0 & 0 & 1 \end{bmatrix} \quad (20-3)$$

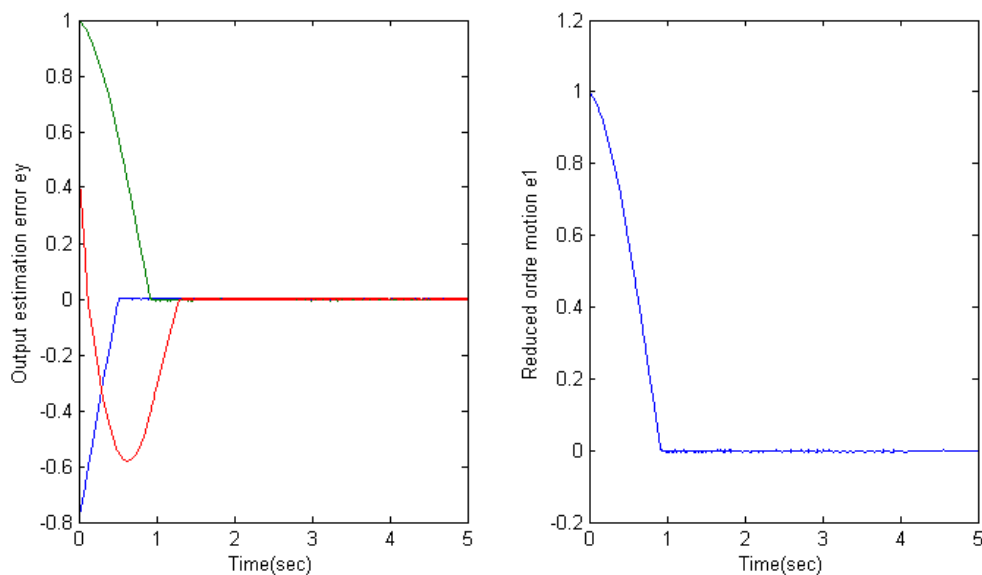
$$G_{n,1} = [0 \quad -10 \quad 0], \quad G_n = T_C^{-1} \begin{bmatrix} G_{n,1} \\ -I_3 \end{bmatrix} = \begin{bmatrix} 0 & -1 & 0 \\ -1 & 0 & 0 \\ 0 & 0 & -1 \\ 0 & -10 & 0 \end{bmatrix} \quad (21-3)$$

برای طراحی کنترل کننده، از روش جایابی قطب استفاده شده و مقادیر ویژه سیستم حلقه بسته در

$$q = [-2.4 \quad -1.8 \quad -3 \quad -1.2]$$

قرار داده شده‌اند.

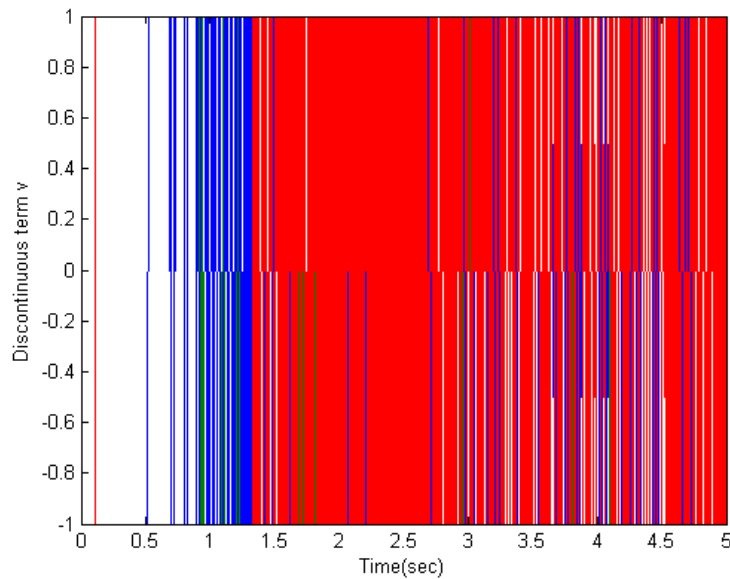
ابتدا فرض می‌کنیم که  $\rho = 1$  است، با شبیه سازی رویتگر اوتکین شکل ۱-۳ حاصل می‌شود.



شکل ۱-۳ خطای تخمین حالت، توسط رویتگر اوتکین با  $\rho = 1$

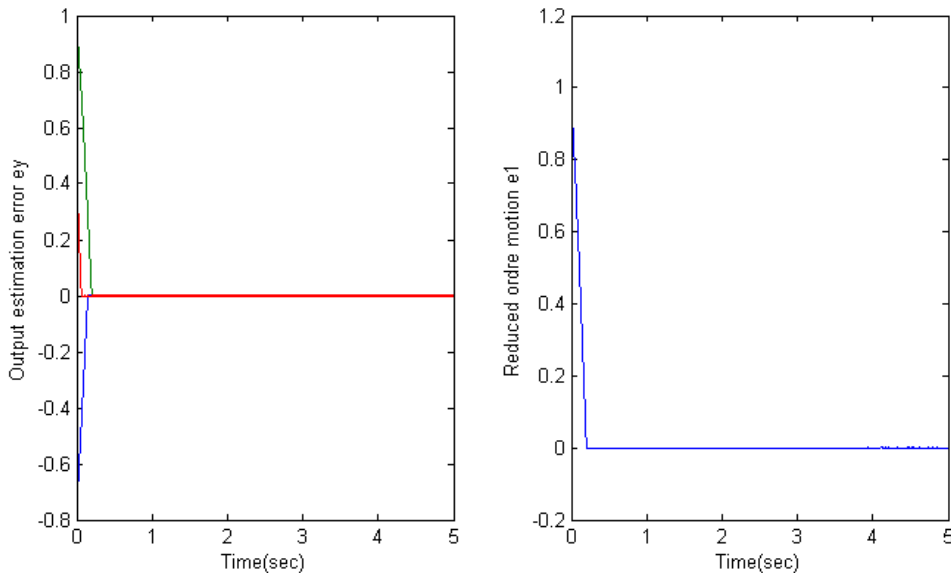
شکل ۱-۳، خطای تخمین حالت را نشان می‌دهد، دیده می‌شود که خطای تخمین خروجی در زمان محدود به صفر همگرا شده است، یکی از خطاهای ردیابی ابتدا در ثانیه ۰.۱۱۴ صفر شده و

سپس بعد از یک حالت گذرای کوتاه در ثانیه ۱.۳۵ برای همیشه به صفر همگرا شده است، در واقع می‌توان اینطور گفت که در ثانیه ۰.۱۱۴ شرط  $13-3$  برآورده نشده و برای همین خطای تخمین بر روی سطح لغزش باقی نمی‌ماند. جمله غیرخطی به صورت شکل ۲-۳ می‌باشد.



شکل ۲-۳ جمله غیرخطی، با  $\rho = 1$

با توجه به شکل ۲-۳ می‌توان نوسانات فرکانس بالای سیستم را مشاهده کرد، که در طول حرکت لغزشی ایجاد می‌شود. حال برای بررسی بیشتر زمانی که  $\rho = 5$  باشد، شبیه سازی‌ها را تکرا می‌کنیم:



شکل ۳-۳ خطای تخمین حالت، توسط رویتگر اوتکین با  $\rho = 5$

با توجه به شکل ۳-۳ می‌توان تاثیر پارامتر  $\rho$  را در سرعت همگرایی مشاهده کرد. در این حالت تمامی خطاها تخمین خروجی زمانی که به سطح لغزش می‌رسند، چون شرط ۱۳-۳ را برآورده می‌کنند، برای همیشه بر روی آن باقی می‌مانند.

با توجه به نتایج شبیه‌سازی، این رویتگر برای تضمین همگرایی حالت‌ها و پایداری رویتگر، نیاز به تعیین بهره سوئیچینگ بر اساس شرایط اولیه خطای تخمین حالت می‌باشد، به اینصورت که دامنه بهره سوئیچینگ در رویتگر مود لغزشی وابسته به شرایط اولیه است، که این باعث می‌شود تا برای تضمین همگرایی حالت‌ها به سطح لغزش از نقاط دورتر، بهره سوئیچینگ بزرگی انتخاب شود که این عمل باعث ایجاد مشکلات پیاده‌سازی و نوسانات با دامنه بزرگ در سیستم می‌شود.

### ۳-۲-۳ بررسی خواص رفع اغتشاش برای رویتگر اوتکین

فرض می‌شود که سیستم تعریف شده در (۱-۳) با معادله‌ی زیر جایگزین شود:

$$\dot{x}(t) = Ax(t) + Bu(t) + Q\xi(t, x, u) \quad (22-3)$$

که در آن،  $\xi(t, x, u) \in R^h$  ماتریس اغتشاش است. فرض می‌شود که بهره  $G_n \in R^{p \times h}$  مطابق ماتریس اغتشاش طراحی شود  $X = G_n X$  است. بنابراین در مختصات (۴-۳) و (۵-۳) ماتریس اغتشاش به صورت زیر خواهد بود:

$$Q = \begin{bmatrix} G_{n,1}X \\ -X \end{bmatrix} \quad (23-3)$$

و در نتیجه معادلات خطای (۱۰-۳) و (۱۱-۳) به صورت زیر در می‌آید:

$$\dot{e}_1(t) = A_{11}e_1(t) + A_{12}e_y(t) + G_{n,1}\nu - G_{n,1}X\xi(t, x, u) \quad (24-3)$$

$$\dot{e}_y(t) = A_{21}e_1(t) + A_{22}e_y(t) - \nu + X\xi(t, x, u) \quad (25-3)$$

حال برای اثبات همگرایی  $e_y(t)$  به صفر، تابع لیاپانوف پیشنهادی به صورت زیر در نظر گرفته می‌شود و با توجه به معادله (۲۵-۳) می‌توان نوشت:

$$\begin{aligned} V &= \frac{1}{2}e_{y,i}^2 \rightarrow \dot{V} = e_{y,i}\dot{e}_{y,i} = e_{y,i}(A_{21,i}e_1 + A_{22,i}e_y + X_i\xi) - \rho|e_{y,i}| \\ &< -|e_{y,i}|(\rho - |A_{21,i}e_1 + A_{22,i}e_y + X_i\xi|) \end{aligned}$$

که در آن  $X_i$ ، آمین سطر  $X$  است. اگر برای یک اسکالر مثبت  $0 < \eta <$

$\rho > |A_{21,i}e_1 + A_{22,i}e_y + X_i\xi| + \eta$  انتخاب، شود شرط رسیدن (۱۴-۳) برقرار شده و در یک مدت زمان محدود حرکت لغزشی اتفاق می‌افتد. هنگامی که حرکت لغزشی اتفاق افتاد و حالتها به سطح لغزش رسیدند معادلات (۲۴-۳) و (۲۵-۳) به صورت زیر تغییر می‌کنند:

$$\dot{e}_1(t) = A_{11}(t) + G_{n,1}\nu_{eq} - G_{n,1}X\xi(t, x, u) \quad (26-3)$$

$$0 = A_{21}e_1(t) - \nu_{eq} + X\xi(t, x, u) \quad (27-3)$$

با حذف  $\nu_{eq}$  از معادلات (26-3) و (27-3) دینامیک خطا بر روی سطح لغزش به صورت زیر بدست می‌آید:

$$\dot{e}_1(t) = (A_{11} + G_{n,1}A_{21})e_1(t) \quad (28-3)$$

دیده می‌شود که این دینامیک خطا مستقل از اغتشاش وارد شده بر سیستم است.

برای رسیدن به سطح لغزش هیچ لزومی به برقراری شرط تطابق (23-3) وجود ندارد این شرط تنها برای مستقل بودن (28-3) از اغتشاش قرار شده است. برای اتفاق افتادن حرکت لغزشی تنها انتخاب یک مقدار مناسب و به اندازه‌ی کافی بزرگ  $\rho$ , کفايت می‌کند. از معادله‌ی (28-3) به این نتیجه می‌رسیم که

$e_1(t) \rightarrow 0$  و در نتیجه با توجه به معادله‌ی (27-3)،  $\nu_{eq} \rightarrow X\xi(t, x, u)$ . بنابراین  $\nu_{eq}$  قادر است اطلاعاتی درباره‌ی اغتشاش به ما بدهد یا به عبارت بهتر سیگنال اغتشاش را بازسازی کند.

#### ۴-۲-۳ صاف کردن سیگنال ناپیوسته توسط تقریب

با توجه به نتایج شبیه‌سازی در بخش‌های قبل مشاهده شد که  $\nu$  (جمله‌ی غیرخطی ناپیوسته) دارای فرکانس سوئیچینگ بسیار بالایی است. برای رفع این مشکل، یک روش برای صاف کردن این سیگنال‌های ناپیوسته در [۸] پیشنهاد شده است. (این روش برای سیستم‌های کنترلی مود لغزشی که در آن‌ها سیگنال کنترل فرکانس بالا به عنوان یک ورودی غیرقابل قبول تلقی می‌شود بسیار سودمند است). با توجه به گفته‌های بالا  $\nu$  که در بخش‌های قبل به صورت  $\nu_i = \rho sgn(e_{y,i})$  تعریف شده بود و به صورت زیر نوشته می‌شود:

$$\nu_i = \rho \frac{e_{y,i}}{|e_{y,i}|} \quad \text{if } e_{y,i} \neq 0 \quad (29-3)$$

با روش موجود در [۸] برای صاف کردن،  $\nu$  به صورت زیر تخمین زده می‌شود:

$$\nu_i = \rho \frac{e_{y,i}}{|e_{y,i}| + \delta} \quad (30-3)$$

در معادله‌ی بالا  $\delta$  یک اسکالار مثبت کوچک است. برای اینکه  $\nu_i$  تعریف شده در معادله‌ی (۳۰-۳) تخمین دقیقی از  $\nu_i$  شود  $\delta$  باید بسیار کوچک انتخاب شود در حالی که برای کاهش چترینگ  $\nu_i$  و بدست آوردن یک سیگنال صاف به یک  $\delta$  بزرگ نیاز داریم.

## ۵-۲-۳ نتایج شبیه‌سازی ویژگی رفع اغتشاش رویتگر اوتکین برای هواپیمای بوینگ

۷۴۷

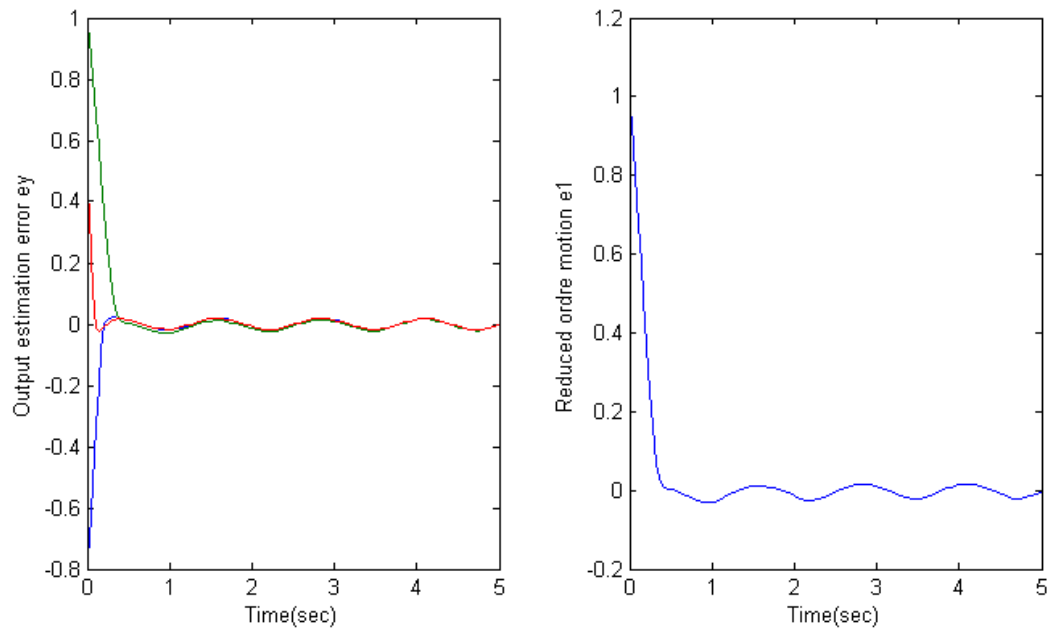
در این بخش با استفاده از مدل دینامیکی و کنترل‌کننده ارائه شده در بخش ۳-۲-۳، و نیز

تبديل مختصات به صورت (۱۹-۳) و نیز استفاده از تقریب برای جمله غیرخطی

$sign$  به صورت (۳۰-۳) و انتخاب  $\delta = 0.06$ ، و نیز استفاده از اغتشاش خارجی به صورت زیر،

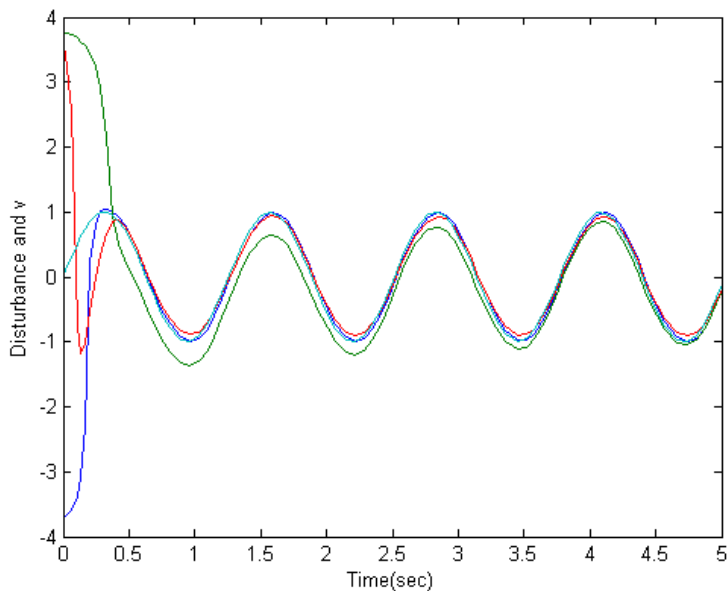
نتایج زیر بدست می‌آید:

$$\xi(t, x, u) = [-1 \quad -1 \quad -1 \quad -1]^T \sin(t)$$



شکل ۴-۳ خطای تخمین حالت، رویتگر اوتکین، در حضور اغتشاش خارجی

با توجه به شکل ۴-۳ می‌توان مشاهده کرد که خطای تقریب حالت در حضور اغتشاش به نزدیکی مبدا همگرا شده است، دلیل وجود خطأ، در ردیابی حالت، استفاده از تقریب پیوسته برای جمله سوئیچینگ می‌باشد. در شکل ۵-۳ اغتشاش خارجی و تقریب پیوسته از جمله سوئیچینگ مشاهده می‌شود.



شکل ۵-۳ اغتشاش خارجی و جمله غیرخطی ۷

در شکل ۳-۵ اغتشاش خارجی و جمله  $v$  نمایش داده شده است. مشاهده می‌شود که  $v$  به اغتشاش همگرا شده و با خطای کمی آن را ردیابی می‌کند، این امر بر اساس رابطه (۳-۲۷) می‌باشد. که در این شبیه سازی  $X = 1$  در نظر گرفته شده است.

### ۳-۳ برسی رویتگر مود لغزشی اسلوتین<sup>۱</sup>

با توجه به مشکلات رویتگر اوتکین که در بخش‌های قبل بررسی شد، اسلوتین و همکارانش برای افزایش پچ لغزشی، یک روش جدید پیشنهاد کردند [۵۶] روش آن‌ها به این صورت است که یک جمله‌ی خطی به معادله‌ی رویتگر اوتکین به صورت زیر اضافه می‌شود یعنی رویتگر معرفی شده در معادله‌ی (۳-۵) به صورت زیر تغییر می‌یابد:

$$\dot{\hat{x}}(t) = A\hat{x}(t) + Bu(t) + G_n v - G_l e_y \quad (31-3)$$

که در معادله‌ی بالا  $G_l \in R^{n \times p}$  است. برای افزایش پچ لغزشی باید بهره‌ی  $G_l$  به صورت مناسب انتخاب شود.

در این رویتگر معادله‌ی خطای تخمین حالت به صورت زیر حاصل می‌شود:

$$\dot{e}(t) = (A - G_l C)e(t) + G_n v \quad (32-3)$$

برای تحلیل پایداری این معادله‌ی خطای تخمین حالت، تابع کاندید مثبت معین به صورت زیر پیشنهاد می‌شود:

$$V = e^T P e \quad (33-3)$$

که در معادله‌ی بالا  $P \in R^{n \times n}$ ، یک ماتریس مثبت، معین و متقارن است. با مشتق‌گیری از معادله‌ی (۳۳-۳) معارده‌ی زیر حاصل می‌شود:

---

<sup>1</sup> Slotine

$$\dot{V} = \dot{e}^T P e + e^T P \dot{e} = e^T (P(A - G_l C) + (A - G_l C)^T P) e + 2e^T P G_n v \quad (34-3)$$

اگر ماتریس  $P$  و بهره‌ی  $G_l$  طوری انتخاب شوند که معادله‌ی (34-3) منفی شود در این حالت دینامیک خطای (32-3) به صورت مجانبی پایدار خواهد بود.

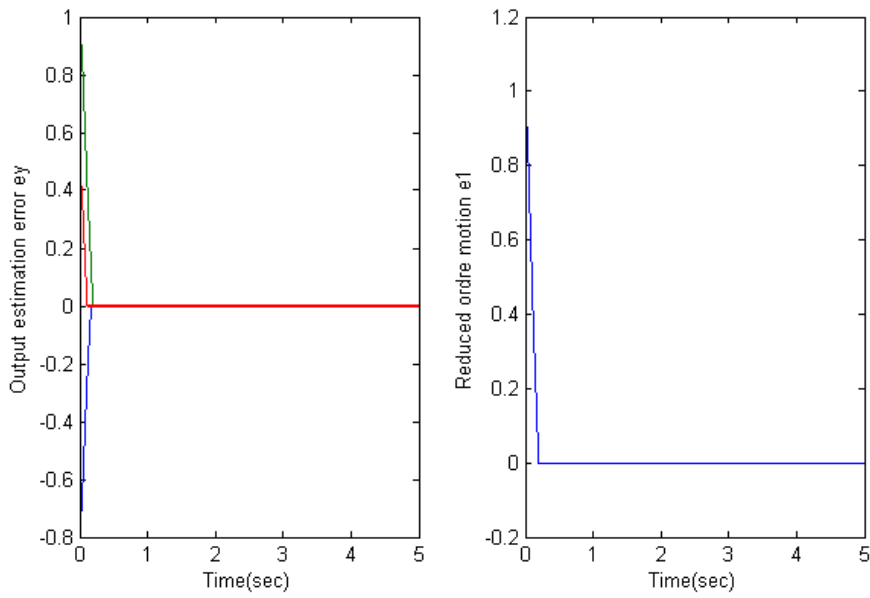
در رویتگر اوتکین دو شرط برای پایداری همگرایی حالت‌ها به دست آمده با برقراری این دو شرط (مقدار مناسب برای  $\rho$  و  $G_{n,1}$ ) خطای تخمین حالت‌ها به صفر میل می‌کند ولی در رویتگر اسلوتن باشد با انتخاب مناسب ماتریس  $P$  و بهره‌ی  $G_l$  پایداری بررسی شود.

### ۳-۳-۱ نتایج شبیه سازی عملکرد رویتگر اسلوتن برای هوایپیمای بوینگ ۷۴۷

در این بخش با استفاده از مدل دینامیکی و کنترل‌کننده ارائه شده در بخش ۲-۲-۳، و نیز تبدیل مختصات به صورت (19-۳) و نیز انتخاب  $\rho = 1$  و استفاده از تقریب برای جمله غیرخطی  $sign$  به صورت (30-۳) و انتخاب  $G_l, \delta = 0.06$  به نحوی انتخاب شده که  $A - G_l C$  یک ماتریس پایدار باشد این ماتریس به صورت زیر انتخاب شده

$$G_l = \begin{bmatrix} -.9968 & 2 & -.9198 \\ 2 & .598 & -.0318 \\ .3880 & -3.05 & 2 \\ .0805 & .0415 & -10 \end{bmatrix}$$

خطای تخمین حالت به صورت شکل ۳-۶ می‌باشد:



شکل ۳-۶ خطای تخمین حالت برای رویتگر اسلوتن

با توجه به شکل ۳-۶ و همچنین در مقایسه با شکل ۱-۳ می‌توان مشاهده کرد که اضافه شدن جمله فیدبک خطی  $G_l$  باعث افزایش سرعت همگرایی سیستم نسبت به رویتگر اوپتیکین، در شرایط یکسان شده است.

### ۴-۳ بررسی عملکرد رویتگر مود لغزشی ادواردز و اسپرجن برای بازسازی خطای حرک

سیستم دینامیکی با معادلات خطی زیر را در نظر می‌گیریم:

$$\dot{x}(t) = Ax(t) + Bu(t) + f(x, u, t) \quad (35-3)$$

$$y(t) = Cx(t) \quad (36-3)$$

که در معادلات بالا  $C \in R^{p \times n}$  و  $B \in R^{n \times m}$  و  $A \in R^{n \times n}$  است که  $p \geq m$  (تعداد خروجی‌های سیستم بزرگتر یا مساوی ورودی‌های سیستم است). و تابع نامعلوم  $f$  خطای سیستم است که

فرض می‌شود که:  $f: R^n \times R^m \times R_+ \rightarrow R^n$

$$f(x, u, t) = B\zeta(x, u, t) \quad (37-3)$$

که تابع  $\zeta: R^n \times R^m \times R_+ \rightarrow R^m$  یک تابع نامعلوم ولی محدود است به ترتیب زیر:

$$\|\zeta(x, u, t)\| \leq \rho \quad \forall x \in R^n, u \in R^m, t \geq 0$$

با فرض مرتبه کامل بودن  $C, B$  و همچنین:

$$\text{rank}(CB) = m \quad (1)$$

۲) صفرهای  $(A, B, C)$  همگی در سمت چپ محور موهومی باشند.

در نتیجه با توجه به مطالب بیان شده در [۲۳] ، می‌توان یک تبدیل خطی ناویژه  $T$  را چنان

یافت که معادلات (۳۵-۳) و (۳۶-۳) در مختصات جدید به صورت زیر تغییر یابند:

$$\dot{x}_1 = A_{11}x_1 + A_{12}y \quad (38-3)$$

$$\dot{y} = A_{21}x_1 + A_{22}y + B_2(u + \zeta) \quad (39-3)$$

که در معادلات بالا  $y \in R^p$  و  $x_1 \in R^{(n-p)}$  است و همچنین ماتریس  $A_{11}$  یک ماتریس پایدار است.

برای این سیستم خطی با معادلات بالا رویتگر زیر توسط ادواردز و اسپرجن در [۸] به فرم زیر

طراحی شده است:

$$\dot{\hat{x}}_1 = A_{11}\hat{x}_1 + A_{12}\hat{y} - A_{12}e_y \quad (40-3)$$

$$\dot{\hat{y}} = A_{21}\hat{x}_1 + A_{22}\hat{y} + B_2u - (A_{22} - A_{22}^S)e_y + P_2^{-1}v \quad (41-3)$$

که بردار ناپیوسته‌ی  $v$  به صورت زیر تعریف می‌شود:

$$\nu = \begin{cases} -\rho \|P_2\| \frac{e_y}{\|e_y\|} & \text{if } e_y \neq 0 \\ 0 & \text{otherwise} \end{cases} \quad (42-3)$$

که در رابطه‌ی بالا ماتریس  $P_2 \in R^{p \times p}$  یک ماتریس مثبت، معین و متقارن است.

برای نوشتمن معادله‌ی دینامیک خطای خطا، با تعریف خطای تخمین حالتها به صورت  $e_1 = \hat{x}_1$

$$e_y = \hat{y} - y \quad \text{داریم:}$$

$$\dot{e}_1 = A_{11}e_1 \quad (43-3)$$

$$\dot{e}_y = A_{21}e_1 + A_{22}^S e_y + P_2^{-1}\nu - B_2\zeta \quad (44-3)$$

قضیه ۱-۳ : دسته‌ای از ماتریس‌های مثبت، معین و متقارن  $P_2$  وجود دارد که سیستم خطای

دینامیکی تعریف شده در معادلات (۴۳-۳) و (۴۴-۳) به طور مجانبی پایدار می‌شود [۸].

: اثبات [۸]

فرض می‌کنیم دو ماتریس  $Q_2 \in R^{p \times p}$  و  $Q_1 \in R^{(n-p) \times (n-p)}$  که هردو ماتریس‌های مثبت، معین

و متقارن‌اند ماتریس‌های طراحی باشند و ماتریس  $P_2 \in R^{p \times p}$  پاسخ یکتای مثبت، معین و متقارن

معادله‌ی لیاپانوف زیر تعریف شود:

$$P_2 A_{22}^S + (A_{22}^S)^T P_2 = -Q_2$$

. ماتریس  $\hat{Q} = \hat{Q}^T > 0$  است. تعریف می‌شود که در آن  $\hat{Q} = A_{21}^T P_2 Q_2^{-1} P_2 A_{21} + Q_1$

فرض می‌کنیم ماتریس مثبت، معین و متقارن  $P_1 \in R^{(n-p) \times (n-p)}$  پاسخ یکتای معادله‌ی لیاپانوف

زیر باشد:

$$P_1 A_{11} + A_{11}^T P_1 = -Q$$

تابع  $V(e_1, e_y) = e_1^T P_1 e_1 + e_y^T P_2 e_y$  را به عنوان تابع کاندید لیاپانوف پیشنهاد می‌دهیم،

مشتق زمانی این تابع به صورت زیر خواهد بود:

$$\dot{V} = -e_1^T \hat{Q} e_1 + e_1^T A_{21}^T P_2 e_y + e_y^T P_2 A_{21} e_1 - e_y^T Q_2 e_y + 2e_y^T v - 2e_y^T P_2 B_2 \zeta$$

که به صورت زیر می‌توان تغییر داد:

$$(e_y - Q_2^{-1} P_2 A_{21} e_1)^T Q_2 (e_y - Q_2^{-1} P_2 A_{21} e_1) \equiv e_y^T Q_2 e_y - e_1^T A_{21}^T P_2 e_y - e_y^T P_2 A_{21} e_1 + e_1^T A_{21}^T P_2 Q_2^{-1} P_2 A_{21} e_1 \quad (45-3)$$

با جایگذاری معادله‌ی (40-3) در  $\dot{V}$  و نوشتن  $\tilde{e}_y$  به جای عبارت  $(e_y - Q_2^{-1} P_2 A_{21} e_1)$  داریم:

$$\begin{aligned} \dot{V} &= -e_1^T \hat{Q} e_1 + e_1^T A_{21}^T P_2 Q_2^{-1} P_2 A_{21} e_1 - \tilde{e}_y^T Q_2 \tilde{e}_y + 2e_y^T v - 2e_y^T P_2 \zeta \\ &= -e_1^T Q_1 e_1 - \tilde{e}_y^T Q_2 \tilde{e}_y + 2e_y^T v - 2e_y^T P_2 \zeta \\ &= -e_1^T Q_1 e_1 - \tilde{e}_y^T Q_2 \tilde{e}_y - 2\rho \|P_2\| \|e_y\| - 2e_y^T P_2 \zeta \\ &\leq -e_1^T Q_1 e_1 - \tilde{e}_y^T Q_2 \tilde{e}_y - 2\rho \|P_2\| \|e_y\| + 2\rho \|e_y\| \|P_2\| \\ &= -e_1^T Q_1 e_1 - \tilde{e}_y^T Q_2 \tilde{e}_y \\ &< 0 \quad \text{for } (e_1, e_y) \neq 0 \end{aligned}$$

رابطه‌ی بالا نشان می‌دهد که  $(e_1, e_y) \rightarrow 0$  به صورت نمائی به صفر میل می‌کنند.

اگر  $\hat{x}$  تخمین حالت  $x$  و  $e = \hat{x} - x$  باشند در نتیجه رویتگر مقاوم می‌تواند به صورت زیر نوشته

شود:

$$\dot{\hat{x}} = A\hat{x} + Bu - G_l(C\hat{x} - y) + G_nv \quad (46-3)$$

که در رابطه‌ی بالا

$$G_l = T^{-1} \begin{bmatrix} A_{12} \\ A_{22} - A_{22}^S \end{bmatrix} \quad G_n = T^{-1} \begin{bmatrix} 0 \\ P_2^{-1} \end{bmatrix}$$

۶

$$\nu = \begin{cases} -\rho \|P_2\| \frac{Ce}{\|Ce\|} & \text{if } Ce \neq 0 \\ 0 & \text{otherwise} \end{cases}$$

### ۱-۴-۳ الگوریتم عددی برای طراحی رویتگر مود لغزشی مقاوم ادواردز و اسپرجن:

الگوریتم زیر مراحل مختلف برای طراحی رویتگر مقاوم را توصیف می‌کند:

مرحله‌ی ۱: اگر ستون‌های ماتریس خروجی  $C = [C_1 \ C_2]$  را به صورت در نظر بگیریم به طوری که  $\det(C_2) \neq 0$  باشد. با استفاده از ماتریس تبدیل  $T_{pre}$  که به صورت زیر تعریف شده است می‌توان سیستم را در مختصات جدید طوری تعریف کرد که ماتریس خروجی به فرم استاندارد  $I_p \ [0]$  تبدیل شود.

$$T_{pre} = \begin{bmatrix} I_{n-p} & 0 \\ C_1 & C_2 \end{bmatrix}$$

مرحله‌ی ۲: با اعمال این تبدیل به سیستم ماتریس ورودی  $B = \begin{bmatrix} B_1 \\ B_2 \end{bmatrix}$  در می‌آید، در این حالت اگر مرتبه‌ی  $B_2$  از تعداد ورودی‌های سیستم کمتر باشد ( $rank(B_2) < m$ ) هیچ رویتگر مقاومی برای این سیستم وجود ندارد و الگوریتم متوقف می‌شود. در غیر این صورت باید معادله‌ی جبری  $B_1 + T_{12}B_2 = 0$  را حل کرده و ماتریس  $T_{12}$  را بدست آورد. شرط لازم و کافی برای وجود ماتریس  $T_{12}$  این است که  $rank(B_2) = m$ .

مرحله‌ی ۳: حال با استفاده از ماتریس‌های  $T_{12}$  و  $T_0$  ماتریس تبدیل  $T$  به صورت زیر به دست

می‌آید:

$$T = \begin{bmatrix} I_{n-p} & T_{12} \\ 0 & T_0 \end{bmatrix}$$

با اعمال این تبدیل جدید به سیستم، در مختصات جدید، سیستم به صورت  $(\bar{A}, \bar{B}, \bar{C})$  نوشته می‌شود.

مرحله‌ی ۴: ماتریس  $\bar{A}$  در این مختصات جدید به صورت زیر تجزیه می‌شود:

$$\bar{A} = \begin{bmatrix} \bar{A}_{11} & \bar{A}_{12} \\ \bar{A}_m & \bar{A}_{22} \\ \bar{A}_{21} \end{bmatrix}$$

که در آن  $\bar{A}_m \in R^{(p-m) \times (n-p)}$  ،  $\bar{A}_{12} \in R^{(n-p) \times p}$  ،  $\bar{A}_{11} \in R^{(n-p) \times (n-p)}$  و  $\bar{A}_{22} \in R^{p \times p}$  هستند.

اگر هیچ ماتریس  $L \in R^{(n-p) \times (p-m)}$  ای نتوان پیدا کرد که ماتریس  $\bar{A}_{11} + L\bar{A}_m$  را پایدار کند در این حالت هیچ رویتگر مقاومی وجود ندارد و الگوریتم متوقف می‌شود. در غیر اینصورت ماتریس  $L$  را بدست می‌آوریم.

مرحله‌ی ۵: حال یک ماتریس تبدیل جدید به صورت زیر تعریف می‌شود:

$$T_* = \begin{bmatrix} I_{n-p} & L_* \\ 0 & {T_0}^T \end{bmatrix}$$

که در آن  $L_* = [L \quad 0_{(n-p) \times m}]$  است. با اعمال این تبدیل جدید به سیستم، ماتریس‌های سیستم در مختصات جدید به صورت  $(A_*, B_*, C_*)$  در می‌آیند.

مرحله‌ی ۶: پس از اعمال تبدیل مرحله‌ی قبل به سیستم می‌توان نوشت:

$$\dot{x}_1 = A_{11}x_1 + A_{12}y$$

$$\dot{y} = A_{21}x_1 + A_{22}y + B_2u + B_2\zeta$$

ماتریس  $G_*$  را به صورت زیر در نظر می‌گیریم:

$$G_* = \begin{bmatrix} A_{12} \\ A_{22} - A_{22}^S \end{bmatrix}$$

که در آن  $A_{22}^S$  هر ماتریس پایداری با ابعاد مناسب می‌باشد.

مرحله‌ی ۷: ماتریس  $P_2$  پاسخ یکتای معادله‌ی لیاپانوف برای ماتریس پایدار  $A_{22}^S$  و ماتریس طراحی مثبت معین متقارن  $Q_2$  است.

مرحله‌ی ۸: حال ماتریس‌های بهره‌ی  $G_l$  و  $G_n$  را در مختصات اصلی (اولیه) به صورت زیر به دست می‌آوریم:

$$G_l = T_{pre}^{-1}T^{-1}T_*^{-1}G_*$$

$$G_n = \|F\|T_{pre}^{-1}T^{-1}T_*^{-1} \begin{bmatrix} 0 \\ P_2^{-1} \end{bmatrix}, \quad F^T = P_2B_2$$

مرحله‌ی ۹: رویتگر به فرم زیر نوشه می‌شود:

$$\dot{\hat{x}} = A\hat{x} + Bu - G_l(C\hat{x} - y) + G_nv$$

که در آن

$$v = \begin{cases} -\rho \frac{Ce}{\|Ce\|} & \text{if } Ce \neq 0 \\ 0 & \text{otherwise} \end{cases}$$

در ادامه، با استفاده از شبیه سازی، از این روش برای بازسازی خطای محرک استفاده می‌کنیم.

### ۲-۴-۳ نتایج شبیه‌سازی رویتگر مود لغزشی مقاوم ادواردز و اسپرجن برای بازسازی خطای

#### محرك هواپیمای بوینگ ۷۴۷

در این بخش نیز از مدل دینامیکی و کنترل کننده ارائه شده در بخش ۲-۲-۳، و تقریب برای

جمله غیرخطی  $sign$  به صورت (۳۰-۳) و انتخاب  $\delta = 0.06$ ، استفاده می‌کنیم. تبدیل مختصات

استفاده شده بر اساس الگوریتم ارایه شده در ۳-۴-۱ به ترتیب به صورت زیر می‌باشند:

$$T_{pre} = \begin{bmatrix} 0 & 0 & 0 & 1 \\ 0 & 1 & 0 & 0 \\ 1 & 0 & 0 & 0 \\ 0 & 0 & 1 & 0 \end{bmatrix}$$

$$T = \begin{bmatrix} 1 & 0.0671 & 2.2732 & 0.1 \\ 0 & -0.0295 & -0.9986 & -0.044 \\ 0 & -0.3055 & 0.0509 & -0.9508 \\ 0 & -0.9518 & 0.0146 & 0.3066 \end{bmatrix}$$

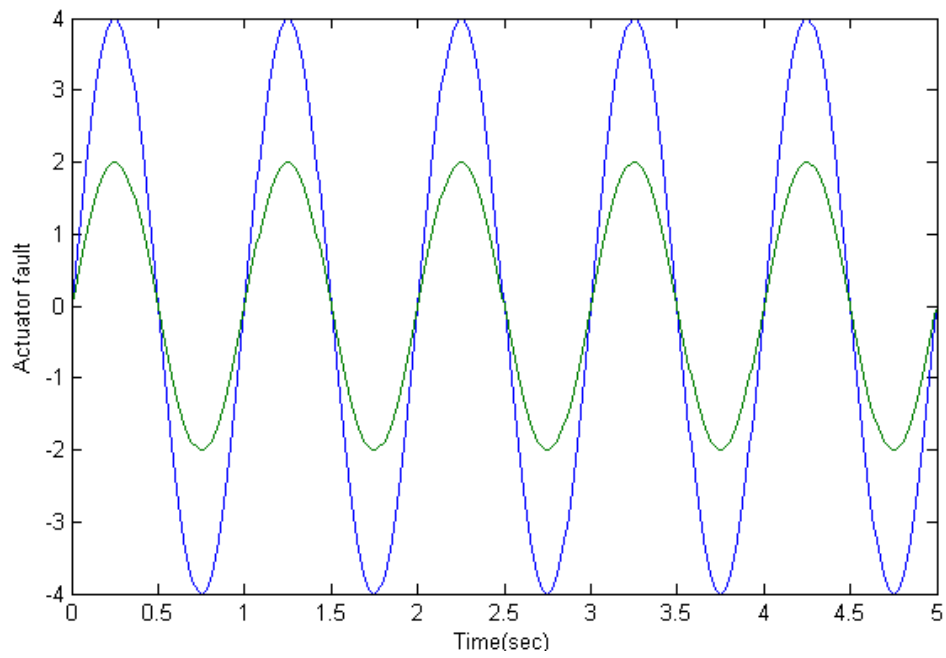
$$T_* = \begin{bmatrix} 1 & 250 & 0 & 0 \\ 0 & -0.0295 & -0.3055 & -0.9518 \\ 0 & -0.9986 & -0.0509 & 0.0146 \\ 0 & -0.440 & -0.9508 & 0.3066 \end{bmatrix}$$

در نتیجه در مختصات جدید، ماتریس‌های سیستم به صورت زیر می‌باشند:

$$A = \begin{bmatrix} -10.3 & 168.3 & -2496.9 & -12.54 \\ 0 & -0.1 & 0.06 & 0 \\ 0 & -0.7 & 10.2 & 0.5 \\ 0 & 0.4 & -3 & -0.5 \end{bmatrix}, B = \begin{bmatrix} 0 & 0 \\ -0.4751 & -2.0102 \\ 0.0073 & 0.0583 \\ 0.153 & 0.0242 \end{bmatrix}, C = \begin{bmatrix} 0 & 1 & 0 & 0 \\ 0 & 0 & 1 & 0 \\ 0 & 0 & 0 & 1 \end{bmatrix}$$

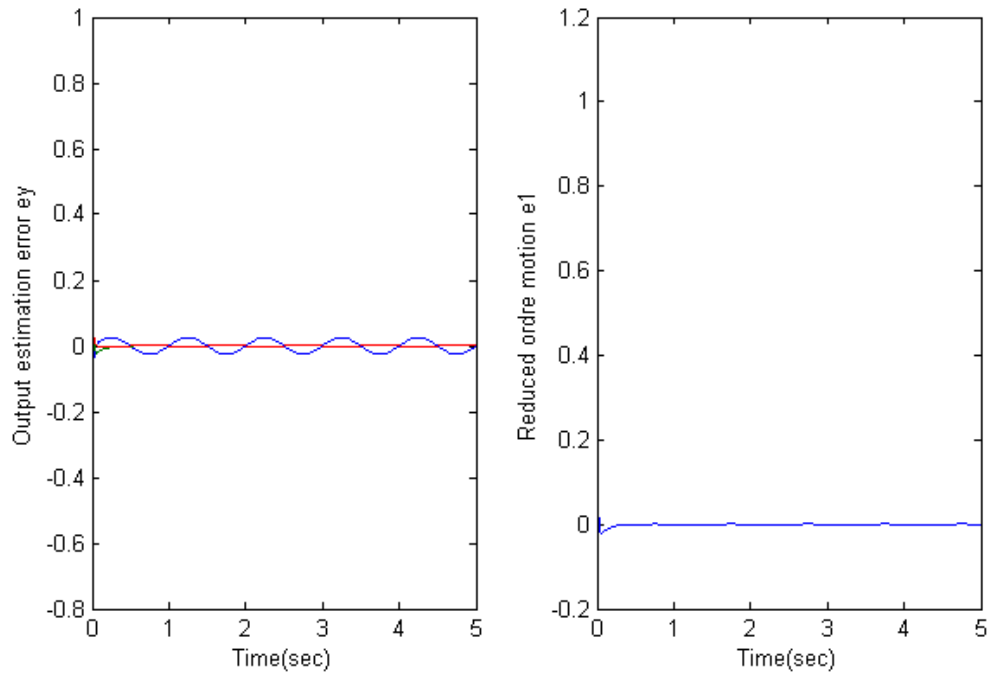
خطای محرك به صورت شکل ۷-۳ می‌باشد، دو خطای سینوسی با دامنه ۲ و ۴ به سیستم

اعمال می‌شود:



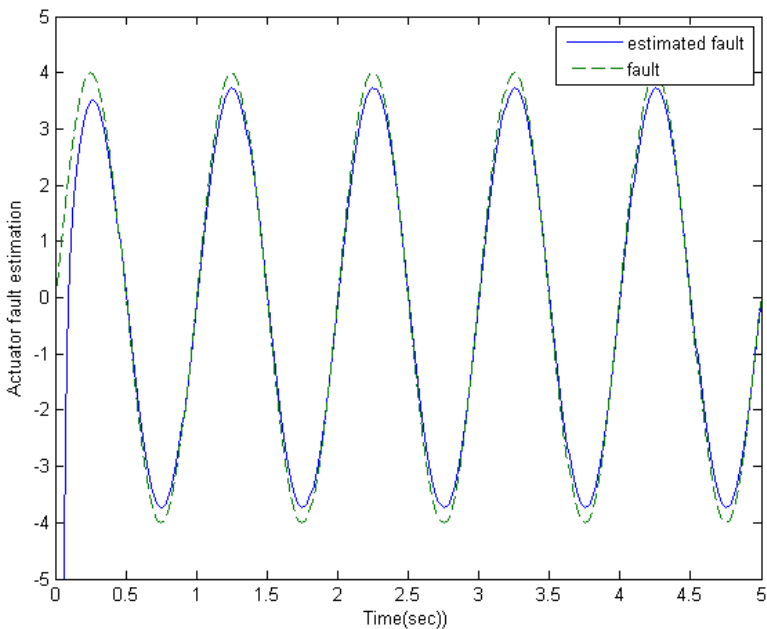
شکل ۷-۳ خطای محرک

تخمین حالت‌های سیستم در حضور خطای محرک در شکل ۸-۳ دیده می‌شود:

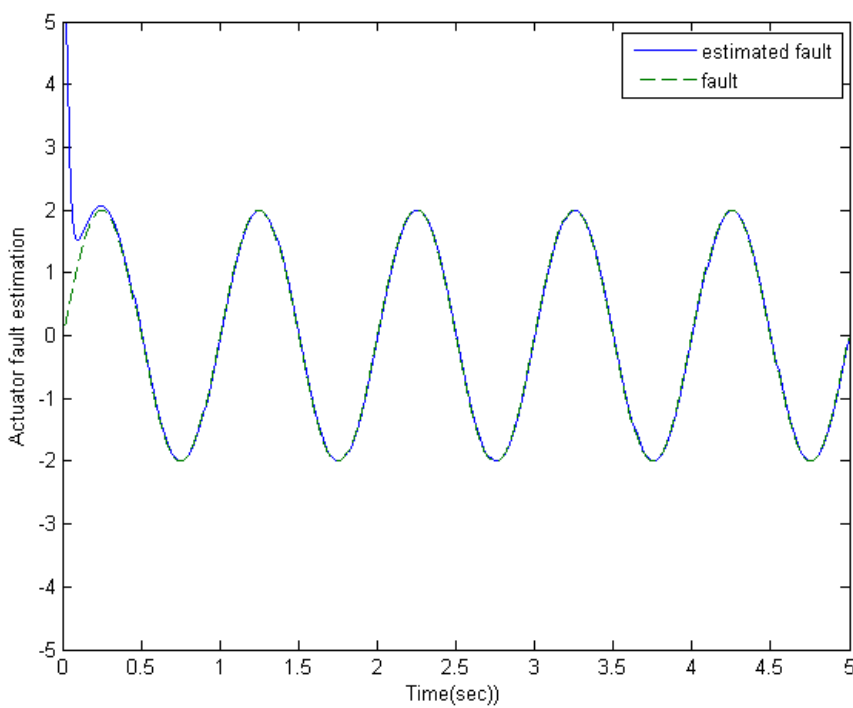


شکل ۸-۳ تخمین خطای حالت در حضور خطای محرک

با توجه به شکل ۸-۳، مشاهده می‌شود که خطای تخمین حالت، در حضور خطای محرک با دقت مناسبی به نزدیکی مبدأ همگرا شده است. تخمین خطای محرک در شکل ۹-۳ و ۱۰-۳ نشان داده شده است:



شکل ۹-۳ تخمین خطای محرک



### شکل ۳-۱۰ تخمین خطای محرک

با توجه به نتایج می‌توان مشاهده کرد که خطای محرک با خطای کمی، بعد از گذشت یک زمان گذرای کوچک همگرا شده است. از مشکلات این رویتگر می‌توان به، دانش در مورد حداکثر عدم قطعیت و خطای محرک اشاره کرد. در ادامه یک روش تطبیقی بررسی شده و یک الگوریتم برای تخمین حداکثر خطای محرک پیشنهاد می‌دهیم.

### ۳-۵ بررسی عملکرد رویتگرهای مود لغزشی تطبیقی برای بازسازی خطای

محرك:

یکی از مشکلات در طراحی رویتگر مودلغزشی دانستن حداکثر خطای محرک می‌باشد، اما در شرایطی که اطلاعاتی از خطا و محدوده‌ی آن در دسترس نباشد طراحی رویتگر دچار مشکل شده و انتخاب نامناسب این محدوده ممکن است باعث کاهش عملکرد رویتگر شده و یا حتی ممکن است باعث عدم همگرایی و ناپایداری آن شود.

در ادامه دو روش مبتنی بر قانون تطبیق و رویتگر تطبیقی برای برطرف نمودن این مشکل بررسی می‌شود.

### ۳-۵-۱ رویتگر تطبیقی با تطبیق جمله‌ی ناپیوسته:

این رویتگر در [۴۷ و ۵۵] پیشنهاد شده است. قانون تطبیق با استفاده از روش مستقیم لیاپانوف بدست آمده و پایداری رویتگر تضمین شده است. در این روش جمله ناپیوسته  $\mathcal{V}$  که خود وابسته به حداکثر خطای محرک می‌باشد توسط قانون تطبیق بدست آمده است.

با در نظر گرفتن سیستم (۳-۳۵) و (۳-۳۶)، رویتگر (۳-۴۰) و (۳-۴۱) و فرض اینکه خطای محرک مقداری ثابت با تغییرات آهسته زمانی باشد، قانون تطبیق به صورت زیر پیشنهاد شده است

$$\dot{\nu} = -2\gamma p_2^T e_y \quad (3-47)$$

که در آن  $\gamma$  ثابت مثبت می‌باشد.

برای بدست آوردن قانون تطبیق، با تعریف  $e_y(t) = \hat{y}(t) - y(t)$  داریم:

$$\dot{e}_1 = A_{11}e_1 \quad (48-3)$$

$$\dot{e}_y = A_{21}e_1 + A_{22}^s e_y + P_2^{-1}v - B_2\zeta \quad (49-3)$$

ماتریس  $A_{11}$  پایدار می‌باشد، در نتیجه پایداری  $e_1(t)$  تضمین می‌شود، با فرض همگرا شدن  $(e_1(t)$

به مبدأ، معادله (49-3) به صورت زیر بازنویسی می‌شود:

$$\dot{e}_y(t) = A_{22}^s e_y + P_2^{-1}v - B_2\zeta \quad (50-3)$$

برای بدست آوردن قانون تطبیق و تضمین پایداری  $e_y$  تابع مثبت معین زیر را پیشنهاد می‌کنیم:

$$V = e_y^T P_2 e_y + \frac{1}{2\gamma} \tilde{v}^T \tilde{v} \quad (51-3)$$

که در آن  $\gamma$  ثابت مثبت و  $P_2^{-1}v - B_2\zeta = \tilde{v}$  می‌باشد و  $B_2\zeta$  تخمین است. با

مشتق‌گیری نسبت به زمان از (51-3) داریم:

$$\dot{V} = e_y^T (A_{22}^s)^T P_2 + P_2 A_{22}^s) e_y + 2e_y^T P_2 \tilde{v} + \frac{1}{\gamma} \dot{\tilde{v}}^T \tilde{v} \quad (52-3)$$

با تعریف  $A_{22}^s)^T P_2 + P_2 A_{22}^s = -Q$  که در آن  $Q$  ماتریس مثبت معین است، همچنین با فرض

آهسته زمانی بودن تغییرات خطا داریم  $\dot{\tilde{v}} = \tilde{v}$  در نتیجه:

$$\dot{V} = -e_y^T Q e_y + (2\gamma e_y^T P_2 + \tilde{\nu}^T) \frac{\tilde{\nu}}{\gamma} \quad (53-3)$$

که با جایگذاری قانون تطبیق (۴۷-۳) در (۵۳-۳) داریم  $\dot{V} = -e_y^T Q e_y \leq 0$ ، که پایداری سیستم تضمین می‌شود. و در حالت ماندگار داریم  $e_1(t), e_y(t) \rightarrow 0$  در نتیجه از (۴۹-۳) داریم:  $v_{eq} - B_2 \zeta \rightarrow 0$

$$\zeta = -2\gamma(B_2^T B_2)^{-1} B_2^T P_2 \int_0^t e_y(\tau) d\tau \quad (54-3)$$

که در آن  $B_2$  دارای ستون‌های مستقل می‌باشد.

و با توجه به رابطه‌ی (۳۷-۳)،  $f(x, u, t) = B\zeta(x, u, t)$  با توجه به معادله‌ی بالا بازسازی می‌شود.

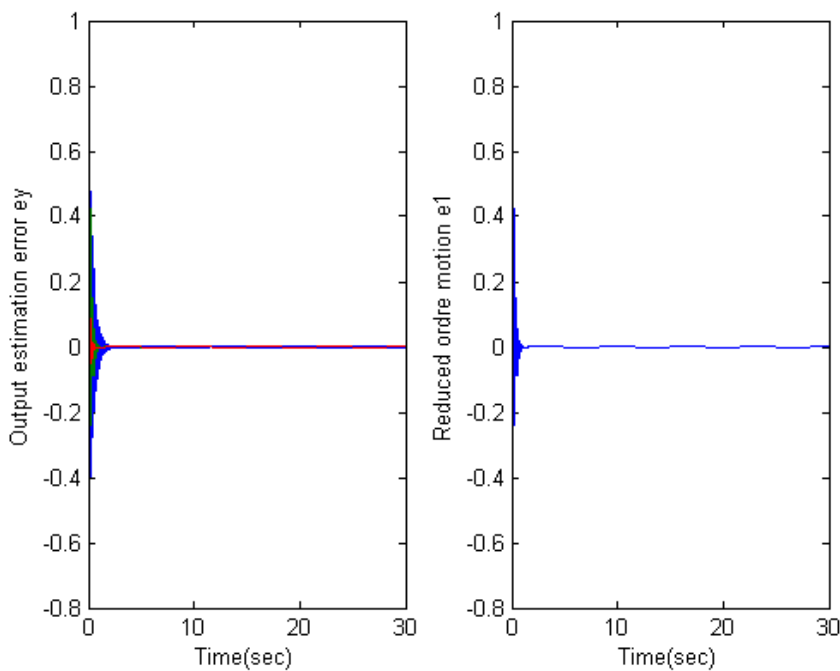
در ادامه به شبیه سازی این روش و بررسی مزیت‌ها و معایب آن می‌پردازیم.

### ۳-۵-۲ نتایج شبیه سازی رویتگر تطبیقی با تطبیق جمله‌ی ناپیوسته برای بازسازی خطای حرکت هوایی بوبینگ:

در این قسمت برای شبیه سازی از رویتگر بخش ۳-۵-۱ استفاده می‌کنیم، با توجه به مطالب ارائه شده در این بخش، در طراحی این رویتگر فرض شده که خطای حرکت دارای تغییرات آهسته زمانی است. ابتدا فرض می‌کنیم خطای حرکت به صورت زیر می‌باشد

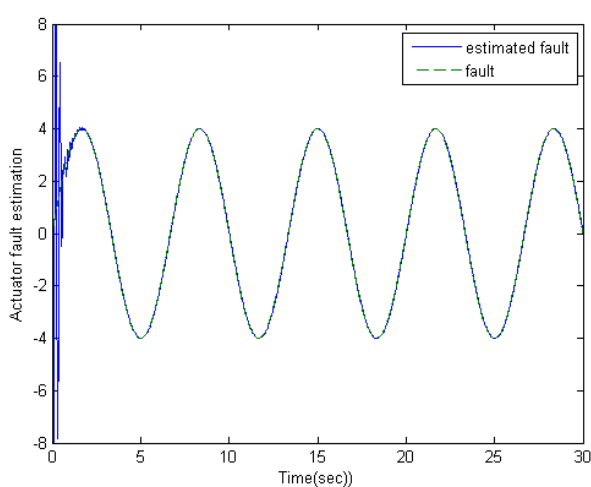
$$4 \sin(0.3\pi t) [1 \quad 0.5]$$

است، با  $\gamma = 10000$  خطای تخمین حالت به صورت زیر می‌باشد

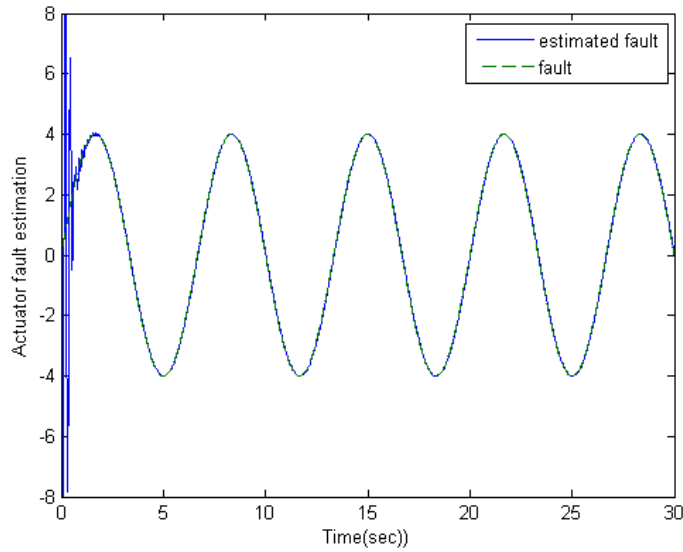


شکل ۱۱-۳ خطای تخمین حالت، رویتگر تطبیقی

در شکل ۱۱-۳ خطای تخمین حالت برای رویتگر تطبیقی، مشاهده می‌شود، خطای محرک به سیستم اعمال شده، و ملاحظه می‌شود که در حضور این خطا، تخمین حالت با دقت مناسبی انجام شده است. و تنها در لحظات اولیه نوسانات نامطلوبی در سیستم مشاهده می‌شود. در شکل ۱۲-۳ و ۱۳ خطای محرک به همراه تخمین آن مشاهده می‌شود:



شکل ۱۲-۳ تخمین خطای محرک

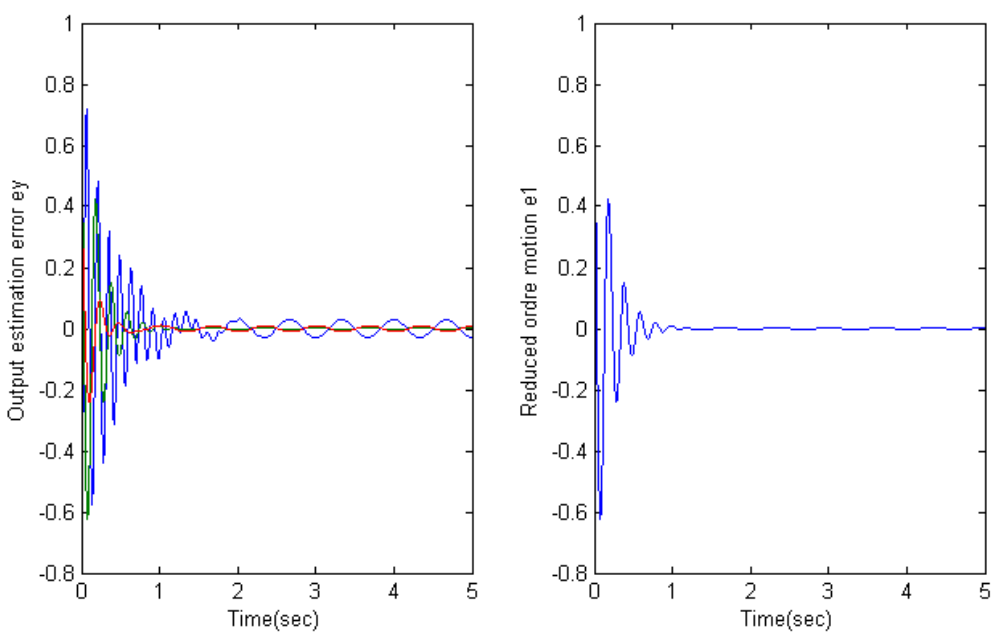


شکل ۱۳-۳ تخمین خطای محرک

در شکل ۱۲-۳ و ۱۳-۳ تخمین خطای محرک مشاهده می‌شود، در این حالت خطای محرک دارای تغییرات آهسته زمانی بود و عملکرد مناسب رویتگر در تخمین حالت و تخمین خطای محرک مشاهده گردید. برای بررسی بیشتر باز دیگر از این رویتگر برای تخمین حالت و خطای سیستم، در حضور خطا به صورت زیر بررسی می‌کنیم:

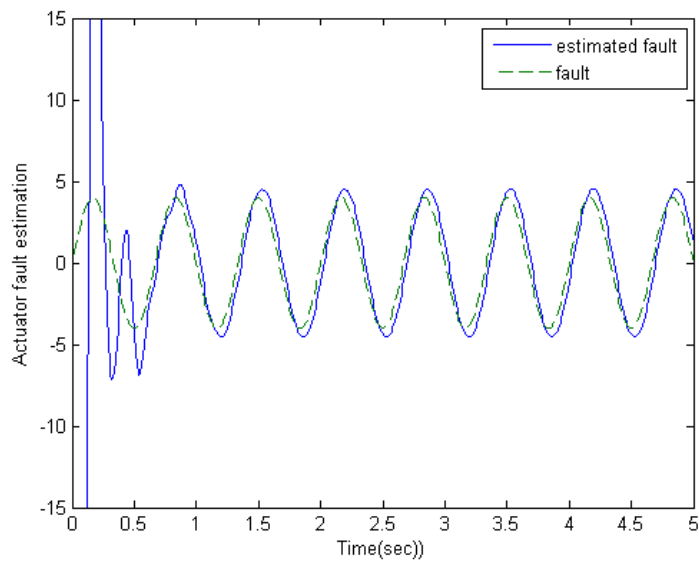
$$4 \sin(3\pi t) [1 \quad 0.5]$$

در این حالت، خطای تخمین حالت در شکل ۱۴-۳ نمایش داده شده:

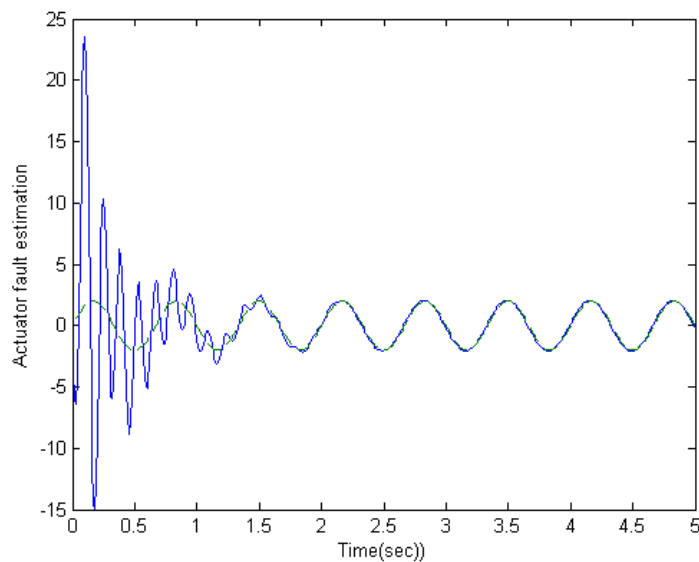


شکل ۱۴-۳ خطای تخمین حالت

مشاهده می‌شود در این حالت، تخمین خروجی با مشکل مواجه شده و دارای نوسانات نامطلوب می‌باشد، همچنین تخمین خطای محرک در شکل ۱۵-۳ و ۱۶-۳ نشان داده شده است:



شکل ۱۵-۳ تخمین خطای محرک



شکل ۱۶-۳ تخمین خطای محرک

با توجه به نتایج شبیه سازی این بخش می‌توان بیان کرد، این رویتگر در تخمین خطای محرک، زمانی که خطای دارای تغییرات آهسته زمانی باشد موفق عمل کرده ولی در زمانی که تغییرات خطای محرک با فرکانس بالا باشد، این روش دچار مشکل شده و در تخمین خطای با مشکل مواجه است.

### ۳-۵-۳ رویتگر مود لغزشی تطبیقی برای بازسازی خطای محرک:

در این بخش یک رویتگر مود لغزشی تطبیقی پایدار برای تخمین حالت‌های سیستم و بازسازی خطای محرک پیشنهاد می‌کنیم. برای طراحی فرض می‌کنیم که خطای محرک محدود ولی با حداقل دامنه نامعلوم است.

بار دیگر مدل ریاضی سیستم را به فرم زیر در نظر می‌گیریم

$$\dot{x}(t) = Ax(t) + Bu(t) + f(x, u, t) \quad (55-3)$$

$$y(t) = CX(t) \quad (56-3)$$

که در معادلات بالا  $C \in R^{p \times n}$  و  $B \in R^{n \times m}$  و  $A \in R^{n \times n}$  (تعداد خروجی‌های سیستم بزرگتر یا مساوی ورودی‌های سیستم است) و تابع نامعلوم  $f$  خطای سیستم است که

$$f: R^n \times R^m \times R_+ \rightarrow R^n$$

$$f(x, u, t) = B\zeta(x, u, t)$$

که تابع  $\zeta: R^n \times R^m \times R_+ \rightarrow R^m$  یک تابع نامعلوم ولی محدود است به ترتیب زیر:

$$\|\zeta(x, u, t)\| \leq \rho \quad \forall x \in R^n, u \in R^m, t \geq 0$$

با فرض مرتبه کامل بودن  $C, B$  و همچنین:

$$rank(CB) = m \quad (1)$$

(۲) صفرهای  $(A, B, C)$  همگی در سمت چپ محور موهومی باشند.

در نتیجه با توجه به مطالب بیان شده در [۲۳]، می‌توان یک تبدیل خطی ناویژه  $T$  را چنان

یافت که معادلات (۵۵-۳) در مختصات جدید به صورت زیر تغییر یابند:

$$\dot{x}_1 = A_{11}x_1 + A_{12}y \quad (57-3)$$

$$\dot{y} = A_{21}x_1 + A_{22}y + B_2(u + \zeta) \quad (58-3)$$

که در معادلات بالا  $y \in R^p$  و  $x_1 \in R^{(n-p)}$  است و همچنین ماتریس  $A_{11}$  یک ماتریس پایدار است.

در بخش قبل رویتگر مود لغشی برای بازسازی خطای محرک طراحی و تحلیل گردید و معادلات رویتگر به صورت زیر بدست آمد:

$$\dot{\hat{x}}_1 = A_{11}\hat{x}_1 + A_{12}\hat{y} - A_{12}e_y \quad (59-3)$$

$$\dot{\hat{y}} = A_{21}\hat{x}_1 + A_{22}\hat{y} + B_2u - (A_{22} - A_{22}^s)e_y + P_2^{-1}\nu \quad (60-3)$$

که در آن  $A_{22}^s$  ماتریس پایدار می‌باشد، همچنین بردار خطای  $e_y(t)$  و جمله ناپیوسته  $\nu$  به صورت زیر می‌باشد

$$e_y(t) = \hat{y}(t) - y(t) \quad (61-3)$$

$$v = -\hat{\rho} \|P_2\| \|B_2\| \frac{e_y}{\|e_y\|} \quad (62-3)$$

که  $P_2 \in R^{p \times p}$  و ماتریس لیاپانوف برای  $A_{22}^S$  می‌باشد ( $(A_{22}^S)^T P_2 + P_2 A_{22}^S < 0$ )، همچنین :

$$\|\zeta(x, u, t)\| \leq \rho \quad (63-3)$$

دینامیک خطای رویتگر، با توجه با معادلات (56-3) و (57-3) به صورت زیر می‌باشد:

$$\dot{e}_1(t) = A_{11}e_1(t) \quad (64-3)$$

$$\dot{e}_y = A_{21}e_1 + A_{22}^S e_y + P_2^{-1}v - B_2 \zeta \quad (65-3)$$

ماتریس پایدار است، در نتیجه  $e_1$  به صورت مجانبی به مبدا همگرا می‌شود، هدف در این بخش، طراحی  $v$  به نحوی است که  $e_y$  پایدار شود. همچنین فرض می‌کنیم که حداکثر خطای رویتگر نامعلوم می‌باشد.

با در نظر گرفتنتابع مثبت معین زیر به عنوان تابع لیاپانوف کاندید:

$$V = e_y^T P_2 e_y + \frac{1}{2\gamma} \bar{\rho}^2 \quad (66-3)$$

که در آن  $\hat{\rho} - \bar{\rho}$  که تخمین  $\rho$  است و  $\gamma$  یک ثابت مثبت می‌باشد. با مشتق‌گیری از (65-3) و جایگذاری از (66-3) در آن داریم:

$$\begin{aligned} \dot{V} = & 2e_y^T P_2 A_{21} e_1 + e_y^T (P_2 A_{22}^S + (A_{22}^S)^T P_2) e_y + 2e_y^T v - 2e_y^T P_2 B_2 f - \\ & \frac{1}{\gamma} \dot{\hat{\rho}} \bar{\rho} \end{aligned} \quad (67-3)$$

با توجه به پایدار بودن  $A_{22}^S$  داریم:

$$P_2 A_{22}^s + (A_{22}^s)^T P_2 = -Q$$

در نتیجه معادله (۶۷-۳) را می‌توان به صورت زیر ساده کرد:

$$\dot{V} = -e_y^T Q e_y + 2e_y^T P_2 A_{21} e_1 + 2e_y^T v - 2e_y^T P_2 B_2 f - \frac{1}{\gamma} \dot{\hat{\rho}} \bar{\rho}$$

$$\leq -e_y^T Q e_y + 2e_y^T P_2 A_{21} e_1 + 2e_y^T v + 2\|e_y^T\| \|P_2\| \|B_2\| \rho - \frac{1}{\gamma} \dot{\hat{\rho}} \bar{\rho}$$

با جایگذاری از (۶۲-۳) داریم:

$$\begin{aligned} \dot{V} &\leq \\ &-e_y^T Q e_y + 2e_y^T P_2 A_{21} e_1 - 2\|e_y^T\| \|P_2\| \|B_2\| \hat{\rho} + 2\|e_y^T\| \|P_2\| \|B_2\| \rho - \\ &\frac{1}{\gamma} \dot{\hat{\rho}} \bar{\rho} \end{aligned} \quad (68-3)$$

اگر قانون تطبیق را به صورت:

$$\dot{\hat{\rho}} = \gamma (2\|e_y^T\| \|P_2\| \|B_2\|)$$

پیشنهاد دهیم، پایداری و محدود بودن خطای ردیابی تضمین می‌شود، اما با توجه به اینکه همواره

$\dot{\hat{\rho}} \geq 0$  است در نتیجه،  $\rho$  یک پارامتر غیر کاهشی است، این باعث می‌شود که در حضور اغتشاش، و

یا خطاهای ناگهانی با دامنه بالا،  $\rho$  افزایش یافته و دیگر کاهش نیابد، که این خود کاهش عملکرد

سیستم را نتیجه می‌دهد. در نتیجه برای اینکه  $\rho$  بتواند کاهش یافته و همچنین دارای حد بالا باشد،

از قانون تطبیق زیر استفاده می‌کنیم:

$$\dot{\hat{\rho}} = (2\gamma \|e_y^T\| \|B_2\| \|P_2\| - \varphi \hat{\rho}) \quad (69-3)$$

که در رابطه‌ی بالا  $\varphi$  یک ثابت مثبت است. در نتیجه با جایگذاری (۶۸-۳) در (۶۹-۳) داریم:

$$\begin{aligned} \dot{V} &\leq \\ -e_y^T Q e_y + 2e_y^T P_2 A_{21} e_1 - 2\|e_y^T\| \|P_2\| \|B_2\| \hat{\rho} + 2\|e_y^T\| \|P_2\| \|B_2\| \rho - \\ \frac{1}{\gamma} \dot{\hat{\rho}} \bar{\rho} &= -e_y^T Q e_y + 2e_y^T P_2 A_{21} e_1 - \frac{\varphi}{\gamma} \hat{\rho} \bar{\rho} \end{aligned} \quad (70-3)$$

در نتیجه (۷۰-۳) را می‌توان به صورت زیر نوشت:

$$\begin{aligned} \dot{V} &\leq -e_y^T Q e_y + 2e_y^T P_2 A_{21} e_1 + \frac{\varphi}{\gamma} \hat{\rho} \bar{\rho} \\ &= -e_y^T Q e_y + 2e_y^T P_2 A_{21} e_1 - \frac{\varphi}{\gamma} (0.5\rho - \hat{\rho})^2 + \frac{\varphi}{4\gamma} \rho^2 \\ &\leq -e_y^T Q e_y + 2e_y^T P_2 A_{21} e_1 + \frac{\varphi}{4\gamma} \rho^2 \\ &\leq -\lambda_{min}(Q) \|e_y\|^2 + 2\|e_y\| \|P_2 A_{21} e_1\| + \frac{\varphi}{4\gamma} \rho^2 \end{aligned} \quad (71-3)$$

با توجه به اینکه همواره نامسواری زیر برای هر  $a, b$  حقیقی برقرار است:

$$a^2 + b^2 \geq 2ab$$

در نتیجه (۷۱-۳) به صورت زیر ساده می‌شود:

$$\begin{aligned} \dot{V} &\leq -\lambda_{min}(Q) \|e_y\|^2 + 2\|e_y\| \|P_2 A_{21} e_1\| + \frac{\varphi}{4\gamma} \rho^2 \\ &\leq -(\lambda_{min}(Q) - 1) \|e_y\|^2 + \|P_2 A_{21} e_1\|^2 + \frac{\varphi}{4\gamma} \rho^2 \leq 0 \end{aligned}$$

در نتیجه زمانی که شرط زیر بر قرار باشد داریم  $\dot{V} \leq 0$  و پایداری سیستم تضمین شده است:

$$\|e_y\| \geq \sqrt{\frac{\|P_2 A_{21} e_1\|^2 + \frac{\varphi}{4\gamma} \rho^2}{(\lambda_{\min}(Q) - 1)}}$$

با این شرط طراحی که باید همواره:

$$\lambda_{\min}(Q) \geq 1$$

در نتیجه پایداری رویتگر تضمین می‌شود. و با انتخاب به اندازه کافی کوچک  $\varphi$  و به اندازه کافی بزرگ  $\gamma$ ، و همچنین  $1 \gg \lambda_{\min}(Q)$  می‌توان خطای رדיابی سیستم را کاهش داد. و در نهایت می‌توان خطای محرک را به صورت زیر در طول حرکت لغزشی بازسازی کرد:

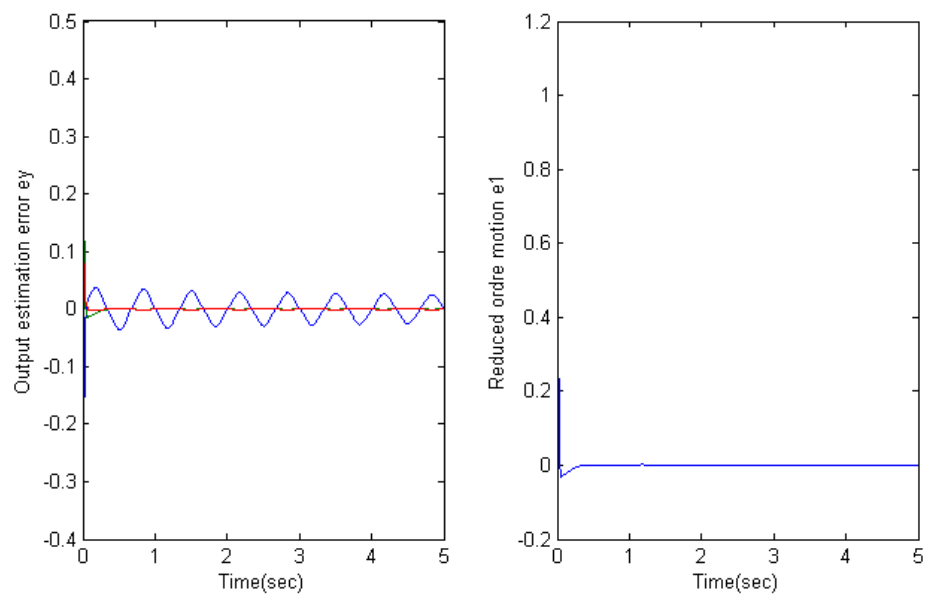
$$f \approx -\hat{\rho} \|B_2\| (B_2^T B_2)^{-1} B_2^T \frac{e_y}{\|e_y\| + \delta}$$

### ۴-۵-۳ نتایج شبیه‌سازی رویتگر مود لغزشی تطبیقی برای بازسازی خطای محرک برای هواپیمای بوئینگ ۷۴۷

در این بخش با استفاده از شبیه سازی به بررسی رویتگر پیشنهادی می‌پردازیم. در قسمت قبل ملاحظه شد که رویتگر تطبیقی، ارایه شده در بخش ۲-۵-۳ قادر به تخمین مناسب از خطاهای با فرکانس بالا نمی‌باشد، در این بخش از یک خطای متغیر با زمان به صورت زیر استفاده می‌کنیم:

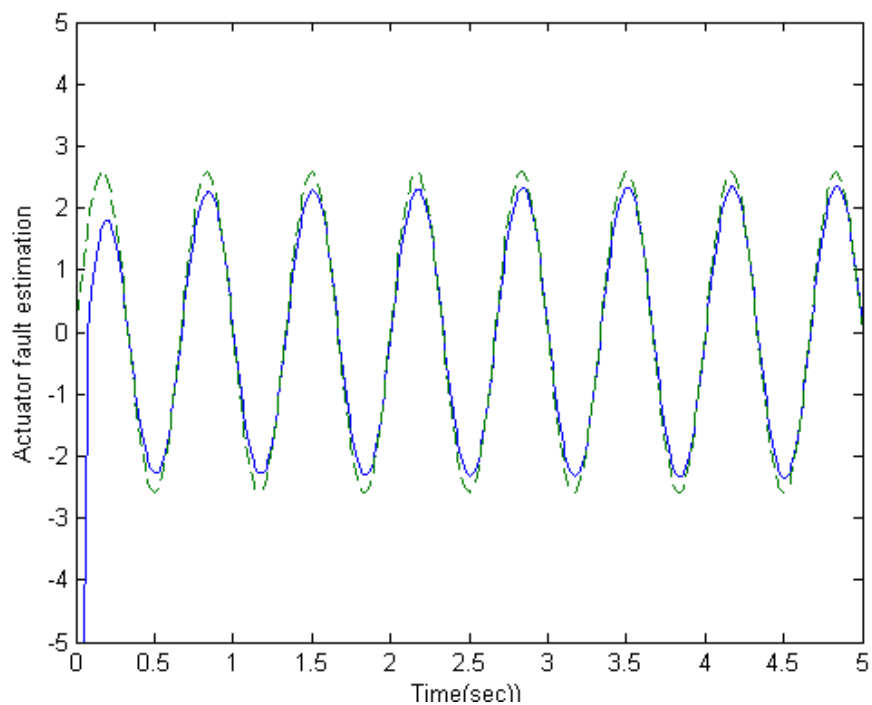
$$4.3 \sin(3\pi t) [0.6 \quad 1]$$

خطای تخمین حالت به صورت شکل ۱۷-۳ می‌باشد:

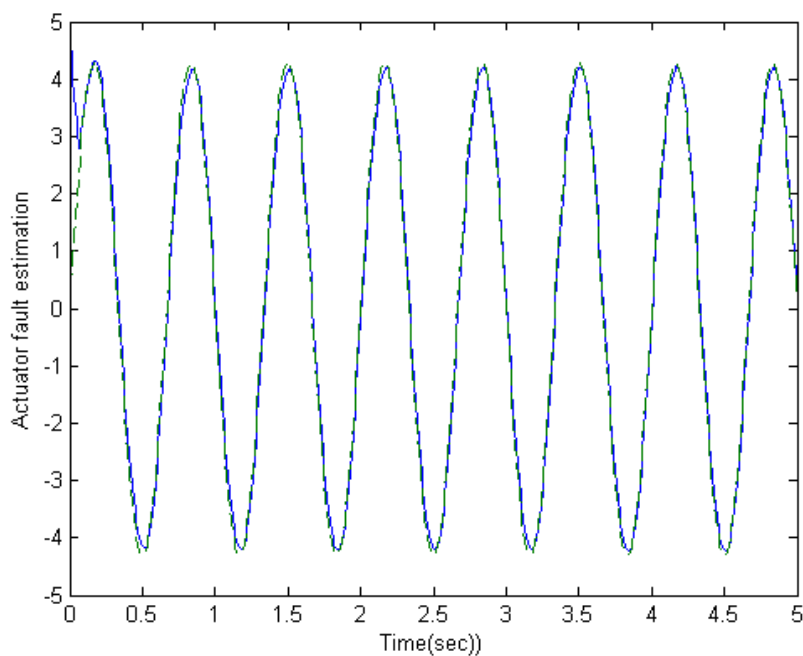


شکل ۱۷-۳ خطای تخمین خروجی

مشاهده می‌شود با وجود حضور خطا با دامنه بالا، خطای تخمین خروجی با دقت مناسبی به محدوده‌ای نزدیک مبدا همگرا شده است. تخمین خطای محرک در شکل ۱۸-۳ و ۱۹-۳ نمایش داده شده‌اند:



شکل ۱۸-۳ تخمین خطای محرک



شکل ۱۹-۳ تخمین خطای محرک

با توجه به شکل ۱۸-۳ و ۱۹-۳ ملاحظه می‌شود که تخمین خطای محرک با استفاده از رویتگر پیشنهادی، نسبت به رویتگر بررسی شده در ۲-۵-۳ برای خطاهای محرک با تغییرات سریع‌تر نیز با دقت مناسبی می‌تواند مورد استفاده قرار گیرد. این رویتگر بدون نیاز به حداکثر خطای محرک، با استفاده از قانون تطبیق و تضمین پایداری، تخمین حالت و خطای محرک مقاوم را بدست می‌آورد.

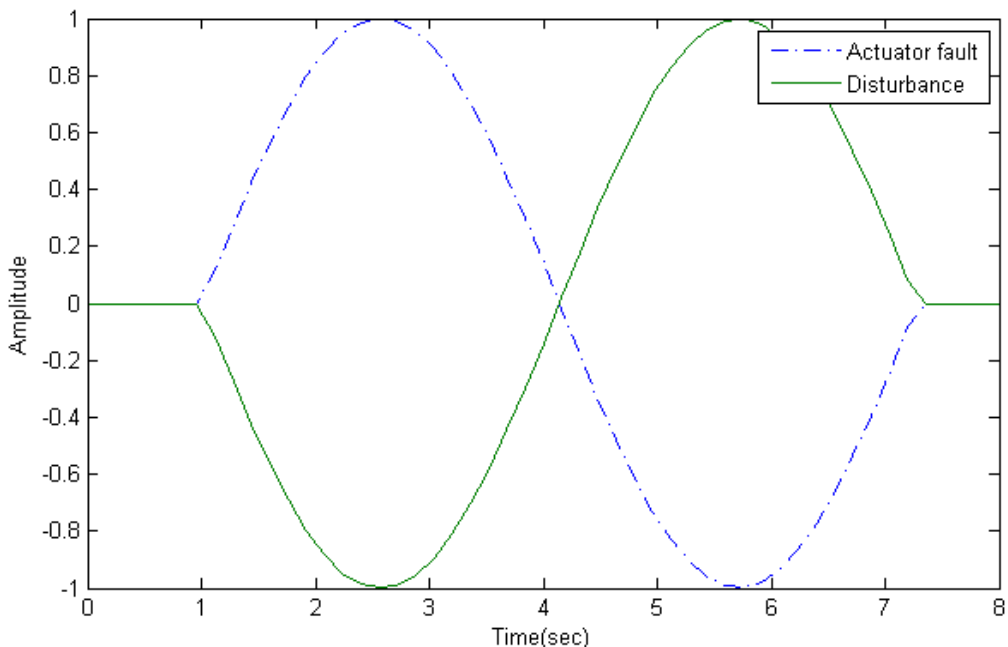


## فصل چهارم

بازسازی خطای محرک به صورت مجزا از اغتشاش

## ۱-۴ مقدمه

در فصل قبل، مسئله بازسازی خطای محرک با استفاده از رویتگر مدل‌لغزشی بررسی شد. در فصل ۳ بیان صریحی از اغتشاش و عدم قطعیت در سیستم نشد، در نتیجه این روش‌ها نسبت به عدم قطعیت و اغتشاش مقاوم نیستند. در [۲۳] از یک رویتگر مود لغزشی بر اساس رویتگر معرفی شده در [۸] برای بازسازی خطای استفاده شده است. در این طرح ارائه شده، در فرایند بازسازی خطای به طور صریح اغتشاش خارجی در نظر گرفته نشده و در نتیجه نسبت به آن مقاوم نمی‌باشد. وجود اغتشاش بر روی خطای می‌تواند باعث دیده نشدن خطای شود، که این خود موجب خرابی محرک و آسیب دیدن سیستم می‌شود. به طور مثال اگر محرک دارای خطای اغتشاش به صورت شکل ۱-۴ باشد، در نتیجه مجموع این دو سیگنال به عنوان خطای محرک، دیده می‌شود. با توجه به این شکل خطای محرک صفر دیده شده در صورتی که محرک دارای خطای اغتشاش نباشد، در نتیجه تاثیر عدم قطعیت و اغتشاش بر روی سیستم، ممکن است باعث دیده نشدن خطای خرابی و آسیب دیدن سیستم در طول زمان شود.



شکل ۱-۴ خطای و اغتشاش محرک

در [۳۳] بر اساس طرح ارائه شده در [۲۳] یک رویتگر مقاوم مود لغزشی برای بازسازی خطاب ارائه شده، همچنین این رویتگر بهره  $L_2$  از اغتشاش به بازسازی خطاب را مینیمم می‌کند. با وجود اینکه در این مقاله تأثیر اغتشاش بر روی بازسازی خطاب به طور کامل حذف نشده ولی تاثیر آن حداقل شده است.

در [۳۴] یک روش برای ترکیب خطاب و اغتشاش ارائه شده که در آن بردار خطای افزوده (اغتشاش و خطاب) را بازسازی می‌کند، اگرچه روش ارائه شده در آن جداسازی خطاب و اغتشاش را به طور موفقیت آمیزی انجام می‌دهد ولی برای طراحی چنین سیستمی، نیاز به برآورده شدن قیدها و شروط بسیاری است، همچنین در فرایند بازسازی خطاب و به طور کلی در سیستم‌های کنترل نیازی به ساخت مستقیم اغتشاش نیست و تنها، کاهش اثر اغتشاش و دفع آن هدف می‌باشد. در [۳۵] دو روش ارائه شده در [۲۳] و [۳۴] مقایسه و بررسی شده‌اند، در نهایت به این نتیجه رسیده شده که برای دفع اغتشاش در فرایند بازسازی خطاب نیاز به بازسازی اغتشاش نمی‌باشد.

در این بخش، پس از بیان مسئله، شرایط بازسازی خطاب به همراه جداسازی اغتشاش بررسی و بیان می‌شود، سپس یک رویتگر تطبیقی برای بازسازی خطای محرک به همراه جداسازی اغتشاش پیشنهاد می‌دهیم، رویتگر پیشنهاد شده بر اساس رویتگر طراحی شده در بخش ۳-۵-۳ می‌باشد.

## ۲-۴ فرمول‌بندی مسئله

سیستم زیر را در نظر می‌گیریم:

$$\dot{X} = AX + B(u + f) + Q\xi \quad (1-4)$$

$$y = CX \quad (2-4)$$

که در آن  $X \in R^n$ ,  $y \in R^p$ ,  $f \in R^m$  و  $\xi \in R^h$  هستند.  $X$  بردار حالت،  $y$  بردار خروجی،  $f$  بردار خطای محرک و  $\xi$  مجموع عدم قطعیت و اغتشاش می‌باشد. فرض می‌کنیم که  $p > m$  می‌باشد.

هدف بازسازی خطای محرک  $f$  به نحوی است که از عدم قطعیت و اغتشاش  $\zeta$  مجزا باشد. در [۳۳] یک رویتگر مقاوم برای بازسازی  $f$  به نحوی طراحی شده که تاثیر عدم قطعیت و اغتشاش  $\zeta$  بر روی آن حداقل شود، شرط لازم و کافی برای اینکار به صورت زیر است:

$$A1. \ rank(CB) = rank(B)$$

$$A2. (A, B, C) \text{ is minimum phase}$$

در [۳۳] اغتشاش به طور کامل رفع نمی‌شود و تنها تاثیر آن حداقل شده است. در روش ارئه شده در [۳۴] اغتشاش به طور کامل رفع شده، و با ترکیب  $f$  و  $\zeta$  بردار خطای افزوده به صورت  $\bar{f} = \begin{bmatrix} f \\ \zeta \end{bmatrix}$  تشکیل شده و  $\bar{f}$  بازسازی می‌شود. یکی از شروط لازم برای بازسازی  $\bar{f}$  به صورت زیر می‌باشد:

$$rank(C[B \quad Q]) = rank[B \quad Q] \quad (3-4)$$

از آنجایی که معمولاً در حلقه کنترل، بازسازی خطای همراه رفع اغتشاش مورد نیاز است، این شرایط محدود کننده و محافظه کارانه می‌باشد.

قضیه ۱-۴ [۵۸]

اگر شرایط A1,A2 برقرار باشند و همچنین داشته باشیم

$$rank(C[B \quad Q]) = rank(CB) + rank(CQ) \quad (4-4)$$

آنگاه تبدیل‌های خطی ناویژه  $\xi \rightarrow T_1^{-1}\xi$  و  $x \rightarrow T_2x$ ، به نحوی که سیستم (۱-۴) و (۲-۴) به فرم زیر تبدیل می‌شوند

$$A = \begin{bmatrix} A_{11} & A_{12} \\ A_{21} & A_{22} \end{bmatrix}, \quad B = \begin{bmatrix} 0 \\ B_2 \end{bmatrix}, \quad B_2 = \begin{bmatrix} 0 \\ B_0 \end{bmatrix}, \quad C = [0 \quad C_2], \quad Q = \begin{bmatrix} Q_1 \\ Q_2 \end{bmatrix}$$

$B_0 \in R^{(n-p) \times (n-p)}$  و  $A_1 \in R^{(n-p) \times (n-p)}$ ،  $B_2 \in R^{p \times q}$ ،  $B_0 \in R^{q \times q}$  معکوس پذیر است. همچنین

$$Q_1 = \begin{bmatrix} 0 & 0 \\ \bar{Q}_1 & 0 \end{bmatrix} \begin{cases} n-p-h+k \\ h-k \end{cases}, \quad Q_2 = \begin{bmatrix} 0 & 0 \\ 0 & \bar{Q}_2 \\ 0 & 0 \end{bmatrix} \begin{cases} p-q-k \\ k \\ q \end{cases}$$

که در آن  $rank(CQ) = k$ ، سیستم تبدیل شده در این حالت به صورت زیر می‌باشد:

$$\dot{x}_1 = A_{11}x_1 + A_{12}y + Q_1\xi \quad (5-4)$$

$$\dot{y} = A_{21}x_1 + A_{22}y + B_2(u + f) + Q_2\xi \quad (6-4)$$

که در معادلات بالا  $y \in R^p$  و  $x_1 \in R^{(n-p)}$  است.

### ۳-۴ طراحی رویتگر تطبیقی

در ابتدا قبل از طراحی فرض می‌کنیم که خطای محرک محدود ولی دارای باند نامعلوم است:

$$\|f\| \leq \rho$$

با تعریف خطای تخمین حالتها به صورت  $e_y = e_2 = \hat{y} - y$  و  $e_1 = \hat{x}_1 - x_1$  و

$$\hat{x} = \hat{x}_1 \quad \text{رویتگر مود لغزشی را به صورت زیر پیشنهاد می‌دهیم:}$$

$$\dot{\hat{x}} = Ax + Bu - G_le_y + G_nv$$

که در آن

$$G_n = \begin{bmatrix} -L \\ I_p \end{bmatrix} T^T P_0^{-1}, \quad L = [L_0 \quad 0]$$

که در آن،  $L_0 \in R^{(n-p) \times (p-q)}$  ماتریس‌های طراحی می‌باشند، و بردار  $v$  در ادامه و

توسط قانون تطبیق بدست می‌آید. در نتیجه دینامیک خطای رویتگر به صورت زیر نوشته می‌شود:

$$e = [e_1 \quad e_2]^T$$

$$\dot{e} = A_0 e + G_n v - B f - Q \xi \quad (7-4)$$

$$A_0 = A - G_l C$$

با پیشنهاد تابع مثبت معین  $V = 0.5e^T P e + 0.5\gamma_1^{-1}\bar{\rho}^2$  که در آن  $P$  ماتریس مثبت معین، و  $\gamma_1$ -ثابت مثبت و  $\bar{\rho} = \rho - \hat{\rho}$  که  $\hat{\rho}$  تخمین  $\rho$  می‌باشد. با مشتق‌گیری از تابع  $V$  و جایگذاری از (7-4) داریم:

$$\dot{V} = e^T (PA_0 + A_0^T P)e - 2e^T PBf - 2e^T PQ\xi + 2e^T PG_n v - \gamma_1^{-1}\dot{\hat{\rho}}\bar{\rho}$$

با فرض وجود  $G_l$  که  $A_0$  پایدار شود، اگر قرار دهیم:

$$PA_0 + A_0^T P = -\tilde{P}$$

که در آن  $\tilde{P}$  ماتریس مثبت معین است، و  $P$  یک ماتریس مثبت معین با شرط زیر می‌باشد:

$$P = \begin{bmatrix} P_1 & P_1 L \\ L^T P_1 & T^T P_0 T + L^T P_1 L \end{bmatrix} > 0$$

که در آن  $P_1 \in R^{(n-p) \times (n-p)}$ ، در نتیجه با فرض اینکه باند بالای عدم قطعیت  $\beta$  می‌باشد داریم:

$$\begin{aligned} \dot{V} &\leq -e^T \tilde{P} e - 2e^T PBf + 2||e^T|| ||PQ||\beta + 2e^T PG_n v - \gamma_1^{-1}\dot{\hat{\rho}}\bar{\rho} \\ \dot{V} &\leq -\lambda_{min}(\tilde{P})||e||^2 - 2e^T C^T P_0 C B f + 2||e|| ||PQ||\beta + 2e^T PG_n v - \gamma_1^{-1}\dot{\hat{\rho}}\bar{\rho} \\ &\quad - \lambda_{min}(\tilde{P})||e||^2 - 2e_y^T P_0 C B f + 2||e|| ||PQ||\beta + 2e^T v - \gamma_1^{-1}\dot{\hat{\rho}}\bar{\rho} \\ &\leq -\lambda_{min}(\tilde{P})||e||^2 - 2||e_y^T|| ||P_0 C B||\rho + 2||e|| ||PQ||\beta + 2e^T v - \gamma_1^{-1}\dot{\hat{\rho}}\bar{\rho} \end{aligned} \quad (8-4)$$

با پیشنهاد قانون تطبیق و  $v$  به صورت زیر داریم:

$$\dot{\hat{\rho}} = (2\gamma_1 \|e_y\| \|P_0 CB\| - \varphi \hat{\rho}) \quad (9-4)$$

$$v = -\hat{\rho} \|P_0 CB\| \frac{e_y}{\|e_y\|} \quad (10-4)$$

در نتیجه معادله (۸-۴) به صورت زیر ساده می‌شود.

$$\begin{aligned} \dot{V} &\leq -\lambda_{min}(\tilde{P}) \|e\|^2 + 2\|e\| \|PQ\| \beta - \frac{\varphi}{\gamma_1} \hat{\rho} \bar{\rho} \\ &= -\lambda_{min}(\tilde{P}) \|e\|^2 + 2\|e\| \|PQ\| \beta - \frac{\varphi}{\gamma_1} (0.5\rho - \hat{\rho})^2 \\ &+ \frac{\varphi}{4\gamma_1} \rho^2 \leq -\lambda_{min}(\tilde{P}) \|e\|^2 + 2\|e\| \|PQ\| \beta + \frac{\varphi}{4\gamma_1} \rho^2 \\ &\leq -(\lambda_{min}(\tilde{P}) - 2) \|e\|^2 + (\|PQ\| \beta)^2 + \frac{\varphi}{4\gamma_1} \rho^2 \end{aligned}$$

در نتیجه تا زمانی که

$$\|e\| \geq \sqrt{\frac{(\|PQ\| \beta)^2 + \frac{\varphi}{4\gamma_1} \rho^2}{\lambda_{min}(\tilde{P}) - 2}}$$

پایداری سیستم تضمین شده و در واقع  $\dot{V} < 0$  است. و با انتخاب  $\lambda_{min}(\tilde{P})$  و  $\gamma_1$  به اندازه کافی بزرگ می‌توان ناحیه همگرایی را به اندازه کافی کوچک کرد.

#### ۴-۴ بازسازی خطای محرک به صورت مجزا از اغتشاش

در این قسمت بر اساس رویتگر طراحی شده در قسمت قبل تخمین خطای محرک مقاوم نسبت به عدم قطعیت و اغتشاش را بدست می‌آوریم. تخمین خطای محرک را به صورت زیر در نظر می‌گیریم:

$$\hat{f} = WP^{-1}v_{eq} \quad (11-4)$$

که در آن،  $W = [W_1 \quad B_0^{-1}]$  در نتیجه با توجه به معادله (۷-۴) داریم:

$$W\dot{e}_y = WA_{21}e_1 + WG_{l2}e_y + WP^{-1}v - WB_2f - WQ_2\xi \quad (12-4)$$

اگر خطای تخمین خطای محرک را به صورت  $e_f = \hat{f} - f$  تعریف کنیم، در نتیجه داریم:

$$e_f = -WA_{21}e_1 - WG_{l2}e_y + WQ_2\xi + W\dot{e}_y \quad (13-4)$$

در نتیجه با توجه به پایداری رویتگر و همگرا شدن خطاهای ردیابی به ناحیه‌ای در نزدیکی مبدأ، می‌توان گفت که اگر جمله  $WQ_2\xi$  برابر با صفر شود، خطای تخمین، خطای محرک در ناحیه‌ای در نزدیکی مبدأ بوده و می‌توان خطای محرک را با رویتگر مقاوم تطبیقی مود لغرضی با دقت مناسبی تخمین زد.

با توجه به قضیه ۱-۴ ماتریس  $Q_2$  به صورت زیر می‌باشد:

$$Q_2 = \begin{bmatrix} 0 & 0 \\ 0 & \bar{Q}_2 \\ \vdots & \vdots \\ 0 & 0 \end{bmatrix} = \begin{bmatrix} Q_{12} \\ Q_{22} \end{bmatrix}$$

در نتیجه با این آرایش برای ماتریس  $Q_2$  اگر  $W = [W_1 \quad W_2]$  در نتیجه  $WQ_2 = W_1Q_{21}$  به سادگی می‌توان دید که  $W_1 = [W_{12} \quad 0]$  می‌باشد اگر  $WQ_2 = 0$  که در آن  $W_{12}$  ماتریس طراحی می‌باشد. در نتیجه بازسازی خطای مقاوم، به صورت مجزا از اغتشاش و عدم قطعیت حاصل می‌شود. در ادامه با استفاده از شبیه سازی این عملکرد این رویتگر را بررسی می‌کنیم.

#### ۴-۵ نتایج شبیه سازی

در این قسمت با استفاده از شبیه سازی، عملکرد رویتگر پیشنهادی را بر روی مدل سیستم هوایپیمای بوینگ ۷۴۷ بررسی می‌شود. مدل ریاضی سیستم به صورت زیر می‌باشد:

$$A = \begin{bmatrix} -0.0558 & -0.9968 & 0.0802 & 0.0415 \\ 0.5980 & -0.1150 & -0.0318 & 0 \\ -3.0500 & 0.3880 & -0.4650 & 0 \\ 0 & 0.0805 & 1 & 0 \end{bmatrix},$$

$$B = \begin{bmatrix} 0.00729 & 0.0583 \\ -0.4750 & -2.0100 \\ 0.1530 & 0.0241 \\ 0 & 0 \end{bmatrix}, C = \begin{bmatrix} 0 & 1 & 0 & 0 \\ 1 & 0 & 0 & 0 \\ 0 & 0 & 1 & 0 \end{bmatrix} \quad (14-4)$$

فرض می‌کنیم که ماتریس  $A$  دارای عدم قطعیت می‌باشد و معادله (14-۴) مقادیر نامی و معلوم را نشان می‌دهند

$$\dot{X} = (A + \Delta A)X + B(u + f)$$

که  $\Delta A$  ماتریس عدم قطعیت و نامعلوم می‌باشد، فرض می‌کنیم:

$$A + \Delta A = \begin{bmatrix} -0.0558 & -0.9968 & 0.0802 & 0.0415 \\ 0.5980 & -0.1150 & -0.0318 & 0 \\ -3.1500 & 0.3980 & -0.4750 & 0 \\ 0 & 0.0815 & 0.9 & 0 \end{bmatrix} \quad (15-4)$$

با توجه به معادلات (14-۴) و (15-۴) مشاهده می‌شود که تنها دو سطر از ماتریس  $A$  دارای عدم قطعیت هستند. پس در نتیجه می‌توان نوشت

$$\Delta Ax = Q\xi(x) = \begin{bmatrix} 0 & 0 \\ 0 & 0 \\ 1 & 0 \\ 0 & 1 \end{bmatrix} \begin{bmatrix} -0.1 & 0.01 & -0.01 & 0 \\ 0 & 0.001 & 0.1 & 0 \end{bmatrix} x$$

دو تبدیل خطی برای بدست آوردن مختصات قضیه ۱-۴ به صورت زیر بدست می‌آیند:

$$T_1 = \begin{bmatrix} 0 & 1 \\ 1 & 0 \end{bmatrix}, \quad T_2 = \begin{bmatrix} 1 & 2.2727 & 0 & 0 \\ 0 & 1 & 0 & 0 \\ 0 & -21.6091 & 1 & 0 \\ 0 & 6.9682 & 0 & 1 \end{bmatrix}$$

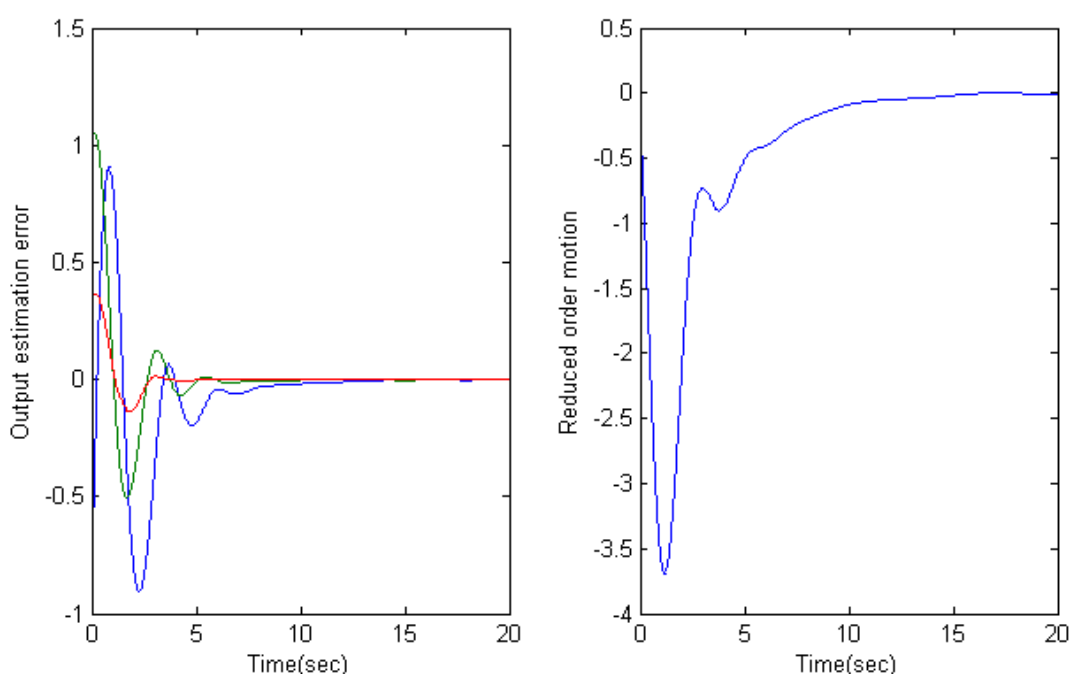
که در نتیجه در این مختصات داریم:

$$T_2 \tilde{Q} T_1 = \begin{bmatrix} 1 & 0 \\ 0 & -0.044 \\ 0 & 0 \\ 0 & 0 \end{bmatrix}$$

فرض می کنیم که خطای محرک به صورت زیر می باشد

$$f = \begin{bmatrix} 2\sin(0.5t) \\ 0.6\sin(0.5t) \end{bmatrix}$$

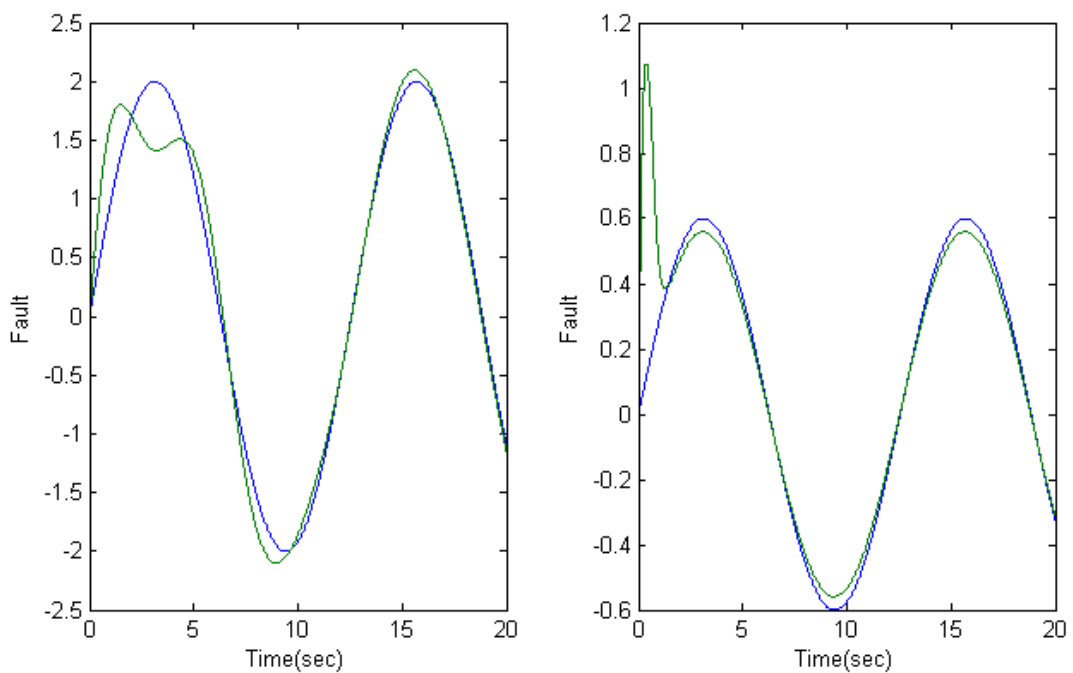
با اجرای شبیه سازی، خطای رديابی خروجی و خطای رديابی حالت به صورت شکل ۲-۴ می باشد:



شکل ۲-۴ خطای ردیابی خروجی و حالت

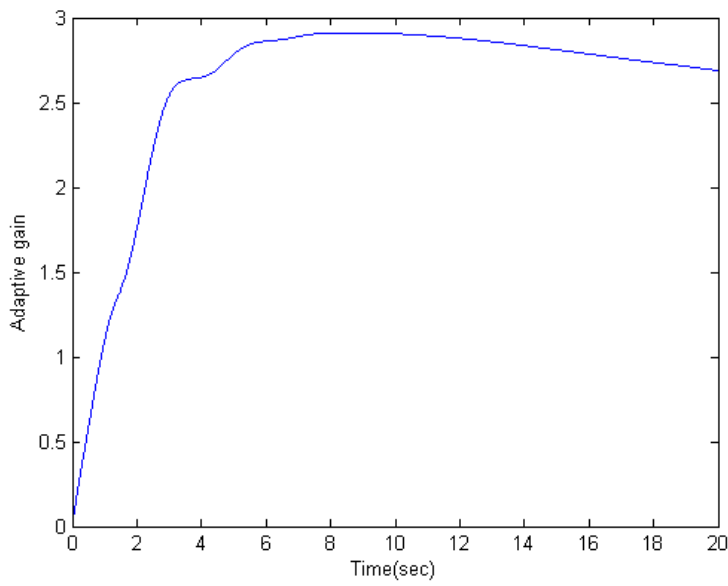
مالحظه می شود در حضور خطای محرک و عدم قطعیت در سیستم، رویتگر مود لغزشی با دقت مناسبی خروجی و حالت سیستم را تقریب زده است. تقریب خروجی ها با سرعت و دقت بهتری انجام شده ولی تقریب حالت، بعد از گذر از یک حالت گذرا به ناحیه ای در نزدیکی مبدأ همگرا شده است.

عملکرد بازسازی خطای محرک در شکل ۳-۴ نشان داده شده است، با توجه به این شکل دیده می شود که خطای اول که دارای دامنه بیشتر می باشد با خطای بیشتری ردیابی شده و پس از گذر از یک حالت گذرا به نزدیکی خطای محرک همگرا شده است



شکل ۳-۴ عملکرد بازسازی خطای

همچنین بهره تطبیق به صورت شکل ۴-۴ تغییر می کند.



شکل ۴-۴ بهره تطبیق

در این بخش با استفاده از رویتگر تطبیقی پیشنهاد شده در فصل ۳، یک رویتگر تطبیقی مقاوم برای بازسازی خطای محرک در حضور اغتشاش و عدم قطعیت طراحی شد، نتایج شبیه سازی نشان

دهنده عملکرد مناسب روش پیشنهادی در بازسازی خطای محرک مقاوم است، مزیت الگوریتم پیشنهادی در عدم نیاز به حداکثر دامنه خطای محرک و همچنین جداسازی اغتشاش از خطای محرک بدست آمده است.

## فصل پنجم

بازسازی خطا و کنترل تحمل‌پذیر خطا با استفاده از کنترل کننده‌ی مود  
لغزشی دینامیک تطبیقی مبتنی بر رویتگر LTR

## ۱-۵ مقدمه

در این فصل یک روش پیشنهادی برای بازسازی سیگنال خطای محرک و همچنین کنترل تحمل‌پذیر این خطا معرفی می‌شود، این روش پیشنهاد شده بر روی یک دسته سیستم خطی تک ورودی و دارای عدم قطعیت اعمال می‌شود. در این روش پیشنهاد شده از کنترل کننده‌ی مود لغزشی دینامیک<sup>۱</sup> به دلیل ویژگی‌های مقاوم بودن و کاهش دادن چترینگ<sup>۲</sup> بدون اینکه دقت کنترل کاهش یابد، استفاده شده است [۵۸-۶۱]. برای بهبود عملکرد این روش، کنترل کننده‌ی مود لغزشی دینامیک تطبیقی<sup>۳</sup> مورد استفاده قرار می‌گیرد که این کنترل کننده بر پایه‌ی تئوری لیاپانوف است، در این روش قانون تطبیق برای بدست آوردن باند بالای عدم قطعیت‌ها به کار گرفته می‌شود.

در این روش، بین سیستم شامل خطای مورد بررسی و کنترل کننده‌ی گفته شده یک انتگرال‌گیر وجود دارد و باعث شده تا سیستم یک مرتبه بزرگتر از سیستم واقعی باشد همچنین این انتگرال‌گیر باعث شده تا سطح لغزش تعريف شده در کنترل کننده با دیگر سطح لغزش‌ها متفاوت باشد به این صورت که یک جزء از سطح لغزش نامشخص است برای تخمین این جزء نامشخص و بدست آوردن کامل سطح لغزش از یک رویتگر بهینه‌ی خاص به نام LTR<sup>۴</sup> استفاده شده است که در ادامه توضیح داده خواهد شد. ساختار این روش بر پایه‌ی [۶۲] است.

مزیت این روش بازسازی خطا با دیگر روش‌های تشخیص خطا این است که علاوه بر اینکه خطای موجود در سیستم شناسایی و بازسازی می‌شود سیستم در حین این بازسازی، کنترل می‌شود.

## ۲-۵ معرفی سیستم شامل خطا

<sup>1</sup> Dynamic sliding mode control

<sup>2</sup> Chattering

<sup>3</sup> Adaptive dynamic sliding mode control

<sup>4</sup> Loop transfer recovery

فرض می‌کنیم سیستم شامل خطاب دارای معادلات حالت به صورت زیر است:

$$\begin{aligned}\dot{X} &= AX + B(u + DX + f(X, u, t)) \\ X &= [x_1, x_2, x_3, \dots, x_n]^T, \dot{X} = [x_2, x_3, \dots, x_{n+1}]^T\end{aligned}\quad (1-5)$$

که در آن بردار  $X$  بردار حالت‌های سیستم است که همانطور که در بالا نیز نوشته شده این سیستم دارای  $n$  متغیر حالت است. تمامی این متغیرهای حالت در دسترس هستند. بردار  $\dot{X}$  بردار مشتق متغیرهای حالت است که در آن  $u \in R^1$ .  $\dot{x}_n = x_{n+1}$  ورودی اسکالر سیستم است. مشتق  $D \in R^{1 \times n}$  عدم قطعیت سیستم است که این عدم قطعیت محدود بوده و درای باند بالای  $\bar{D}$  است. ولی این باند بالا نامشخص است. و در نهایت  $f(X, u, t) \in R^1$  سیگنال خطای سیستم است که محدود است. همچنین ماتریس حالت سیستم و ماتریس ورودی سیستم به صورت زیر هستند:

$$A = \begin{bmatrix} 0 & 1 & 0 & \dots & 0 \\ 0 & 0 & 1 & \ddots & \vdots \\ \vdots & \vdots & \ddots & \ddots & 0 \\ 0 & 0 & \ddots & 0 & 1 \\ a_0 & a_1 & \cdots & a_{n-2} & a_{n-1} \end{bmatrix}, B = \begin{bmatrix} 0 \\ 0 \\ \vdots \\ 0 \\ 1 \end{bmatrix} \quad (2-5)$$

برای اعمال کنترل‌کننده به این سیستم باید  $(A, B)$  کنترل‌پذیر باشد. اگر معادلات (1-5) و (2-5) را در نظر بگیریم آخرین جزء بردار مشتق حالت به صورت زیر خواهد بود:

$$x_{n+1} = a_0 x_1 + a_1 x_2 + \cdots + a_{n-1} x_n + u + DX + f(X, u, t) \quad (3-5)$$

حال کنترل‌کننده‌ی مود لغشی دینامیک را باید طوری طراحی کنیم که سیگنال صاف کنترل بدست آید و همچنین سطح لغش این کنترل‌کننده باید به صورت مناسبی بر حسب حالت‌های سیستم تعریف شود تا با صفر شدن آن، بردار حالت سیستم و  $x_{n+1}$  صفر شوند و طبق معادله‌ی (5)

۳) سیگنال خطاب بر حسب سیگنال کنترل صاف، بدست باید  $-u \rightarrow f(X, u, t)$ . برای رسیدن به

توضیحات بالا سطح لغزش کنترل کننده به صورت زیر تعریف می‌شود:

$$s = \lambda_1 x_1 + \lambda_2 x_2 + \cdots + \lambda_n x_n + \lambda_{n+1} x_{n+1} \quad (4-5)$$

توجه ۱: بردار حالت  $X = [x_1, x_2, x_3, \dots, x_n]^T$  و  $x_{n+1}$  صفر می‌شوند زمانی که سطح

لغزش  $s$  صفر شود. همچنین باید ضرایب  $\lambda_1, \lambda_2, \dots, \lambda_{n+1}$  به طور مناسب انتخاب شوند تا

$$\lambda_{n+1}s^n + \lambda_n s^{n-1} + \cdots + \lambda_2 s + \lambda_1 = 0$$

ولی برای طراحی این سطح لغزش یک مشکل وجود دارد به این صورت که جمله‌ی آخر سطح

لغزش ( $\lambda_{n+1}x_{n+1}$ ) به دلیل اینکه شامل اغتشاش  $D$  و خطای  $f$  است نامعلوم است ولی دیگر

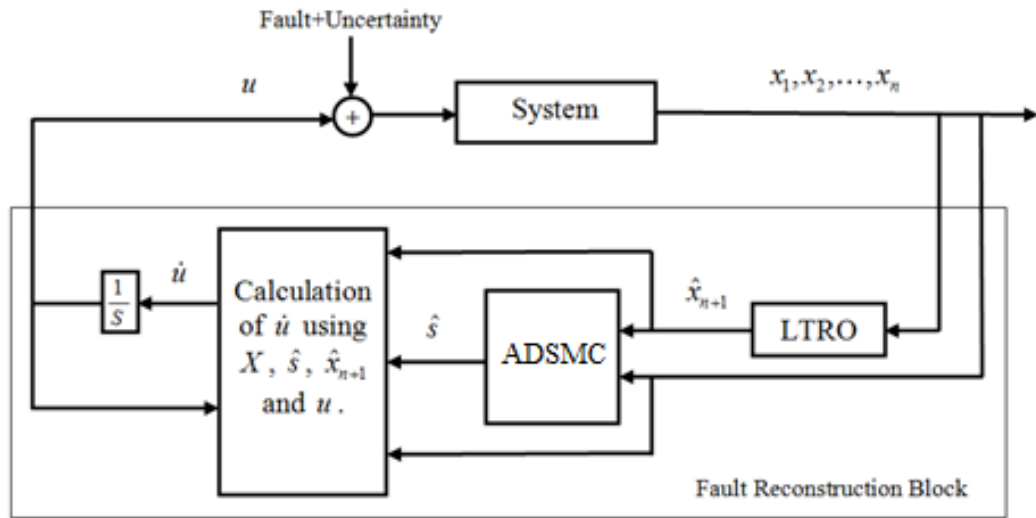
جمله‌های سطح لغزش چون همگی متغیرهای حالت سیستم هستند در دسترس‌اند. حال برای رفع

این مشکل باید جمله‌ی آخر سطح لغزش یعنی  $x_{n+1}$  را به طریقی بدست آوریم برای این کار از یک

رویتگر مقاوم بهینه‌ی خاص به نام LTR استفاده می‌کنیم [۶۲].

شکل ۵-۱، بلوک دیاگرام روش به کار رفته در اینجا، برای بازسازی سیگنال خطاب را نمایش

می‌دهد که هر بلوک موجود در آن در ادامه توضیح داده شده است.



شکل ۵-۱- بلوک دیاگرام روش بازسازی خطأ با استفاده از کنترل کننده‌ی تطبیقی مود لغزشی دینامیک

### ۳-۵ طراحی رویتگر LTR برای تخمین سطح لغزش

برای تخمین جمله‌ی نامعلوم  $x_{n+1}$ ، بردار دو بعدی  $Q$  را به صورت زیر در نظر می‌گیریم:

$$Q = [x_n, x_{n+1}]^T \quad (5-5)$$

اولین جزء این بردار یکی از حالت‌های سیستم بوده و در دسترس است ولی جزء دوم را باید به دست آوریم به این ترتیب عمل می‌کنیم که از این بردار مشتق زمانی می‌گیریم، و عبارت زیر به دست می‌آید:

$$\begin{aligned} \dot{Q} &= [\dot{x}_n, \dot{x}_{n+1}]^T \rightarrow \\ \dot{Q} &= [x_{n+1}, a_0 x_2 + a_1 x_3 + \dots + a_{n-1} x_{n+1} + \dot{u} + D\dot{X} + \dot{f}(X, u, t)]^T \end{aligned} \quad (6-5)$$

اگر ماتریس‌های  $C, E, H$  را به صورت زیر تعریف کنیم:

$$E = \begin{bmatrix} 0 & 1 \\ 0 & 0 \end{bmatrix}, H = \begin{bmatrix} 0 \\ 1 \end{bmatrix}, C = [0 \quad 0 \quad \dots \quad 1] \in R^{n \times 1} \quad (7-5)$$

با این شرایط معادله‌ی (۶-۵) را می‌توان به صورت زیر نوشت:

$$\dot{Q} = EQ + H(CA^2X + CABu + CB\dot{u} + \Delta p) \quad (۸-۵)$$

که  $\Delta p$  موجود در معادله‌ی بالا به صورت زیر تعریف می‌شود:

$$\Delta p = CAB(DX + f) + CBD\dot{X} + CB\dot{f} \quad (۹-۵)$$

اگر معادله‌ی (۸-۵) را در نظر بگیریم، برای تخمین بردار  $Q$  رویتگر LTR به صورت زیر پیشنهاد می‌شود [۶۲]:

$$\dot{\hat{Q}} = E\hat{Q} + H(CA^2X + CABu + CB\dot{u}) + L(x_n - G\hat{Q}) \quad (۱۰-۵)$$

که  $L$  در معادله‌ی بالا به صورت زیر است:

$$L = \frac{PG^T}{\mu}, \mu > 0, G = [1, 0] \quad (۱۱-۵)$$

و  $P$  موجود در معادله‌ی بالا از معادله‌ی ریکاتی<sup>۱</sup> زیر به دست می‌آید:

$$(I + E)P + P(I + E)^T - \frac{PG^TGP}{\mu} + \varphi HH^T = 0 \quad (۱۲-۵)$$

در معادله‌ی بالا  $\varphi > 0$  باید به اندازه‌ی کافی بزرگ انتخاب شود تا معادله‌ی ریکاتی برقرار شود.

لم ۱. در صورتی که  $(E + I, H, G)$  مینیمم-فاز<sup>۲</sup> باشد با  $P$  بدست آمده از معادله‌ی ریکاتی بالا نتیجه‌ی زیر حاصل می‌شود [۶۲]:

$$\lim_{\varphi \rightarrow \infty} (P/\varphi) = 0$$

<sup>1</sup> Riccati

<sup>2</sup> Minimum-phase

با توجه به لم ۱ می‌توان نتیجه‌گیری کرد که با انتخاب مناسب پارامتر طراحی  $\varphi$  به طوری که به اندازه‌ی کافی بزرگ باشد، رویتگر LTR با استفاده از معادله‌ی (۱۰-۵) می‌تواند تخمین مناسبی از بردار  $Q$  با خطای تخمین کوچک ارائه دهد.

قضیه‌ی ۱: با تخمین بردار  $Q$  توسط معادله‌ی رویتگر (۱۰-۵)، یک خطای تخمین کوچک

$$\lim_{t \rightarrow \infty} \|\tilde{Q}(t)\| \leq \varepsilon_1 \|X\| + \varepsilon_2 |u| + \lim_{\varphi \rightarrow \infty} \varepsilon_i = 0: (i = 1, 2, 3)$$

اثبات: اگر  $\tilde{Q} = Q - \hat{Q}$  را تعریف کنیم در این حالت با توجه به معادلات (۸-۵) و (۱۰-۵)

معادله‌ی زیر حاصل می‌شود:

$$\dot{\tilde{Q}} = (E - LG)\tilde{Q} + H\Delta p \quad (13-5)$$

برای معادله‌ی دینامیکی خطای (۱۳-۵)، یکتابع کاندید لیاپانوف به صورت زیر پیشنهاد می‌دهیم:

$$V = \tilde{Q}^T P^{-1} \tilde{Q}$$

حال مشتق زمانی این تابع پیشنهاد شده را به صورت زیر می‌نویسیم:

$$\dot{V} \leq -2V - \frac{1}{\mu} \|G\tilde{Q}\|^2 - \varphi \|H^T P^{-1} \tilde{Q}\|^2 + 2\|\Delta p\| \|H^T P^{-1} \tilde{Q}\| \quad (14-5)$$

اگر در معادله‌ی بالا دو جمله‌ی آخر را در نظر بگیریم بیشترین مقدار آن‌ها زمانی حاصل می‌شود که

$$\|\Delta p\|^2 / \varphi = \|H^T P^{-1} \tilde{Q}\| = \|\Delta p\| / \varphi$$

معادله‌ی زیر حاصل می‌شود:

$$\dot{V} \leq -2V - \frac{1}{\mu} \|G\tilde{Q}\|^2 + \frac{\|\Delta p\|^2}{\varphi} \leq -V - (V - \frac{\|\Delta p\|^2}{\varphi}) \quad (15-5)$$

بنابر معادله (15-5)، تا زمانی که  $V > \frac{\|\Delta p\|^2}{\varphi}$  خواهد بود، بنابراین  $V(t) \geq \underline{\sigma}(P^{-1})\|\tilde{Q}\|^2 = 1/\overline{\sigma}(P)\|\tilde{Q}\|^2$ . با استفاده از  $\lim_{t \rightarrow \infty} V(t) \leq \frac{\|\Delta p\|^2}{\varphi}$  معادله زیر نتیجه می‌شود:

$$\lim_{t \rightarrow \infty} \|\tilde{Q}(t)\| \leq \sqrt{\frac{\overline{\sigma}(P)}{\varphi}} \|\Delta p\| \leq \varepsilon_1 \|X\| + \varepsilon_2 |u| + \varepsilon_3 \quad (16-5)$$

که نامعادله بالا، با توجه به تعریف  $\Delta p$  در معادله (9-5) که ترکیبی خطی از  $X$  و  $u$  است حاصل می‌شود، در نهایت با استفاده از  $\lim_{\varphi \rightarrow \infty} \varepsilon_i = 0$ : ( $i = 1, 2, 3$ ) می‌توان نوشت

توجه ۲: نتیجه‌ی قضیه ۱ می‌تواند به صورت  $\lim_{\varphi \rightarrow \infty} \|\tilde{Q}\| = 0$  نوشته شود.

#### ۴-۵ کنترل مود لغزشی دینامیک تطبیقی

با توجه به بخش قبل، تخمین سطح لغزش تعریف شده در معادله (4-5) به صورت زیر بدست می‌آید:

$$\hat{s} = \lambda_1 x_1 + \lambda_2 x_2 + \dots + \lambda_n x_n + \lambda_{n+1} \hat{x}_{n+1} \quad (17-5)$$

که در معادله بالا  $\hat{x}_{n+1}$  جزء دوم بردار  $\hat{Q}$  در معادله روتیگر (10-5) است.

توجه ۳: بردار حالت  $X = [x_1, x_2, x_3, \dots, x_n]^T$  و  $\hat{x}_{n+1}$  صفر می‌شوند زمانی که سطح لغزش  $\hat{s}$  صفر شود. همچنین باید ضرایب  $\lambda_1, \lambda_2, \dots, \lambda_{n+1}$  به طور مناسب انتخاب شوند تا

$\lambda_{n+1}s^n + \lambda_n s^{n-1} + \dots + \lambda_2 s + \lambda_1 = 0$  هرویتز باشد.

در بخش قبلی رویتگر LTR ، اثر عدم قطعیت  $\Delta p$  را از بین برده ولی یک خطای تخمین حالت  $x_n$

$$(H^T L(x_n - G\hat{Q}))$$

توجه ۴: یک ثابت مثبت و نامعلوم  $\Delta$  وجود دارد که باند بالای خطای تخمین حالت  $x_n$  را مشخص

می‌کند به صورت زیر:

$$|H^T L(x_n - G\hat{Q})| \leq \Delta$$

قضیه ۲: معادله‌های دینامیکی زیر باعث می‌شوند تا سیستم حلقه بسته پایدار بوده و تمامی

سیگنالها در حلقه کنترل محدود شوند.

$$\begin{aligned} \dot{u} &= -(CA^2X + CABu) - \frac{1}{\lambda_{n+1}} (\sum_{i=1}^{n-1} \lambda_i x_{i+1} + \lambda_n \hat{x}_{n+1}) - \hat{\Delta} sgn(\hat{s}) - \\ &\quad \frac{\sigma}{\lambda_{n+1}} \hat{s} \end{aligned} \quad (18-5)$$

$$\dot{\hat{\Delta}} = (\gamma \lambda_{n+1} |\hat{s}| - \beta \hat{\Delta})$$

که در آن  $\sigma$  و  $\gamma$  و  $\beta$  ثابت‌های طراحی هستند و باید مقادیری مثبت داشته باشند.

اثبات: تابع لیاپانوف زیر در نظر گرفته می‌شود:

$$V = \frac{1}{2} \hat{s}^2 + \frac{1}{2\gamma} \tilde{\Delta}^2 \quad (19-5)$$

که در تابع بالا  $\gamma$  یک ثابت مثبت بوده و  $\tilde{\Delta} = \Delta - \hat{\Delta}$  تخمین باند بالای نامعلوم عدم قطعیت‌ها

( $\Delta$ ) را نشان می‌دهد. با مشتق‌گیری از معادله‌ی (19-5) نسبت به زمان معادله‌ی زیر بدست می‌آید:

$$\dot{V} = \hat{s}\dot{\hat{s}} - \frac{1}{\gamma}\dot{\hat{\Delta}}\tilde{\Delta} \quad (20-5)$$

با جایگذاری معادله‌ی (۱۷-۵) در معادله‌ی (۲۰-۵):

$$\begin{aligned} \dot{V} = \hat{s}(\sum_{i=1}^{n-1} \lambda_i x_{i+1} + \lambda_n \hat{x}_{n+1} + \lambda_{n+1} (CA^2 X + CABu + CB\dot{u} + \\ H^T L(x_n - G\hat{Q})) - \frac{1}{\gamma}\dot{\hat{\Delta}}\tilde{\Delta} \end{aligned} \quad (21-5)$$

که در معادله‌ی بالا،  $L$  در معادله‌ی (۱۱-۵) تعریف شده و همچنین  $CB = 1$ .

با جایگذاری  $\dot{u}$  از معادله‌ی (۱۸-۵) در معادله‌ی (۲۱-۵) معادله‌ی زیر بدست می‌آید:

$$\begin{aligned} \dot{V} = \hat{s}(-\lambda_{n+1}\hat{\Delta}sgn(\hat{s}) + \lambda_{n+1}H^T L(x_n - G\hat{Q}) - \sigma\hat{s}) - \frac{1}{\gamma}\dot{\hat{\Delta}}\tilde{\Delta} \\ \dot{V} \leq \hat{s}(-\lambda_{n+1}\hat{\Delta}sgn(\hat{s}) + \lambda_{n+1}\Delta sgn(\hat{s}) - \sigma\hat{s}) - \frac{1}{\gamma}\dot{\hat{\Delta}}\tilde{\Delta} \\ = -\sigma\hat{s}^2 + |\hat{s}|\lambda_{n+1}(\Delta - \hat{\Delta}) - \frac{1}{\gamma}\dot{\hat{\Delta}}\tilde{\Delta} \end{aligned} \quad (22-5)$$

اگر از قانون تطبیق  $|\hat{s}| = \dot{\hat{\Delta}} = \gamma\lambda_{n+1}$  استفاده کنیم  $\dot{V} \leq 0$  شده و پایداری سیستم حلقه بسته تضمین می‌شود. ولی یک مشکل وجود دارد به این صورت که بهره‌ی تطبیق غیر کاهشی است یعنی می‌تواند بدون محدودیت افزایش یابد ( $\dot{\hat{\Delta}} \geq 0$ ). که این مشکل می‌تواند باعث کاهش عملکرد سیستم کنترلی شود بنابراین برای از بین بردن این مشکل قانون تطبیق به صورت زیر تغییر می‌یابد:

$$\dot{\hat{\Delta}} = (\gamma\lambda_{n+1}|\hat{s}| - \beta\hat{\Delta}) \quad (23-5)$$

که در آن  $\beta$  یک ثابت مثبت است. بنابراین با به کار بردن معادله‌ی بالا معادله‌ی (۲۲-۵) به صورت زیر بازنویسی می‌شود:

$$\dot{V} \leq -\sigma \hat{s}^2 + \frac{\beta}{\gamma} \tilde{\Delta} \hat{\Delta} = -\sigma \hat{s}^2 - \frac{\beta}{\gamma} \left( \frac{1}{2} \Delta - \hat{\Delta} \right)^2 + \frac{\beta}{4\gamma} \Delta^2 \leq -\sigma \hat{s}^2 + \frac{\beta}{4\gamma} \Delta^2$$

منفی شدن  $\dot{V}$  در معادله‌ی بالا به ازای شرط زیر حاصل می‌شود:

$$|\hat{s}| \geq \sqrt{\frac{\beta}{4\sigma\gamma}} \Delta$$

بنابراین با تنظیم پارامترهای طراحی  $\beta$ ،  $\sigma$  و  $\gamma$  می‌توان  $\hat{s}$  را نزدیک مبدا قرار داد، به این ترتیب پایداری سیستم حلقه بسته تضمین می‌شود.

## ۵-۵ نتایج شبیه‌سازی

برای درک بیشتر این روش پیشنهاد شده، یک مثال توضیح داده شده. یک سیستم خطی تک ورودی به صورت زیر داده شده که سیگنال خطای این سیستم با روش پیشنهادی بازسازی شده ونتایج شبیه‌سازی نشان داده شده است:

$$A = \begin{bmatrix} 0 & 1 & 0 \\ 0 & 0 & 1 \\ -3 & -5 & -3 \end{bmatrix}, B = \begin{bmatrix} 0 \\ 0 \\ 1 \end{bmatrix}, X = \begin{bmatrix} x_1 \\ x_2 \\ x_3 \end{bmatrix}, \dot{X} = \begin{bmatrix} x_2 \\ x_3 \\ \hat{x}_4 \end{bmatrix} \quad (24-5)$$

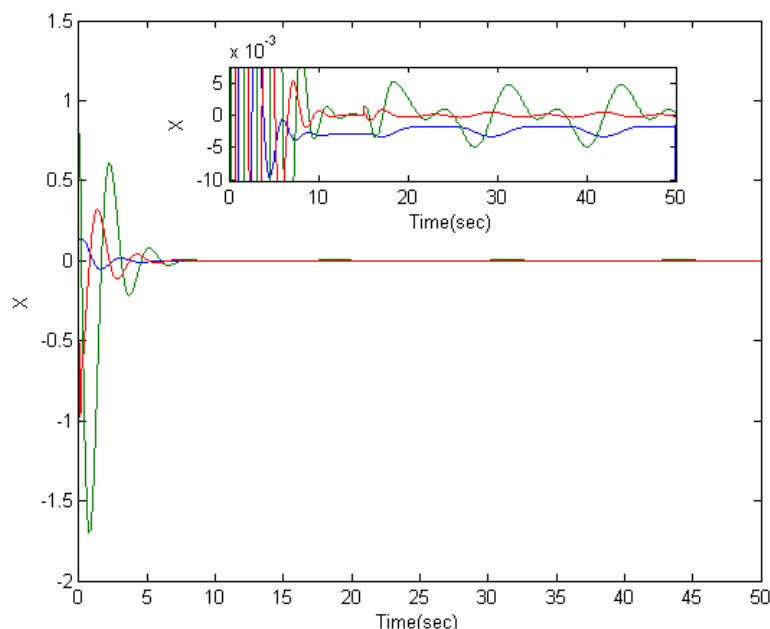
برای این مثال، پارامترهای سطح لغزش معادله‌ی (۱۷-۵) به صورت  $\lambda_2 = 30$ ،  $\lambda_1 = 10$ ،  $\mu = 0.1$ ،  $\phi = 100$  و  $\lambda_4 = 10$  و دیگر پارامترهای این روش به صورت  $\lambda_3 = 10$  و  $\gamma = 10$  هستند و همچنین مقادیر اولیه‌ی حالاتها به صورت  $\beta = 0.01$ ،  $\sigma = 10$  می‌باشد. بردار عدمقطعیت به صورت  $D = [1, 1, 1]^T$  می‌باشد. سیگنال

خطا به صورت  $f(t) = 0.3 \sin(t) + \cos(0.5t)$  است که پس از ثانیه‌ی 15 به سیستم وارد می‌شود. نتایج شبیه‌سازی به صورت شکل‌های زیر می‌باشد.

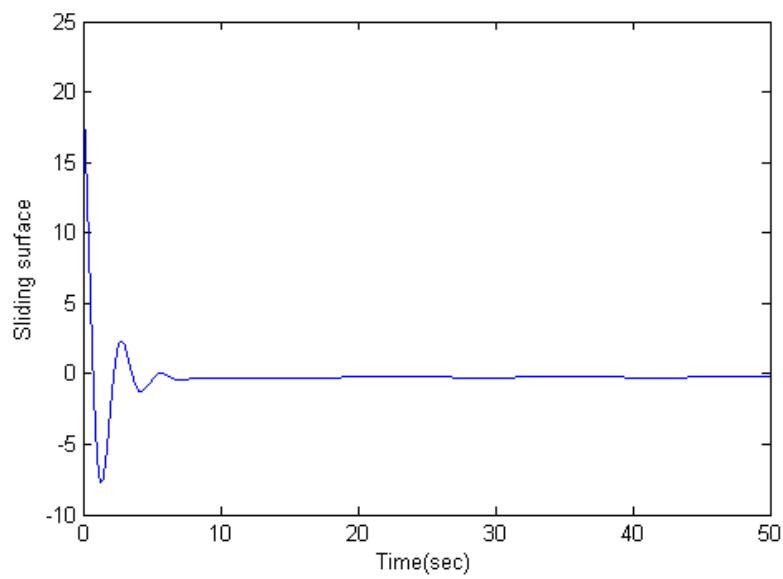
در شکل ۲-۵، مشاهده می‌شود که حالت‌های سیستم حتی در حضور خطأ و عدم قطعیت در سیستم نیز به ناحیه‌ای بسیار نزدیک به صفر همگرا می‌شوند و به این ترتیب ثابت می‌شود که سیستم تحمل پذیر خطأ است.

در شکل ۳-۵، مشاهده می‌شود که سطح لغزش به ناحیه‌ای بسیار نزدیک به صفر همگرا شده و همچنین قادر چترینگ می‌باشد.

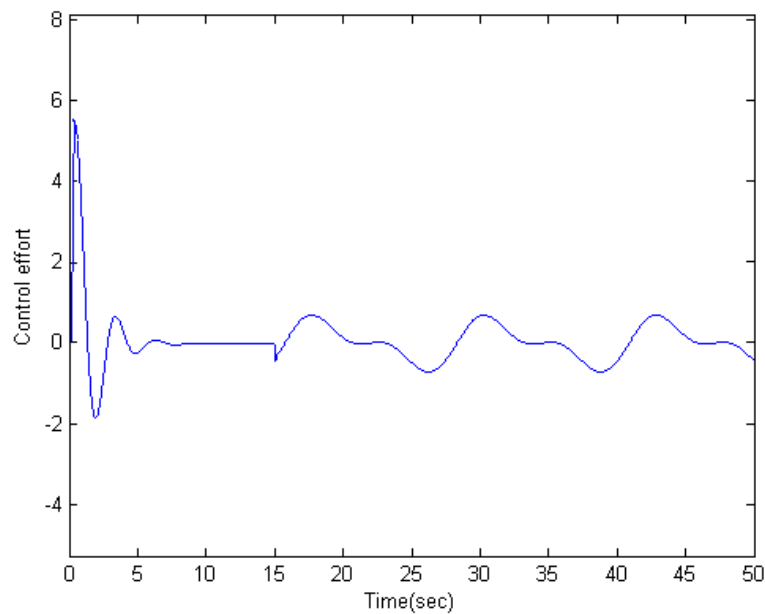
شکل ۴-۵، تلاش کنترلی را نمایش می‌دهد که سیگنالی صاف و بدون چترینگ است. در شکل ۵-۵، سیگنال خطأ و تخمین آن نمایش داده شده است که این شکل حاکی از آن است که  $u = -f$  بوده و تخمین و بازسازی خطأ به درستی انجام گرفته است.



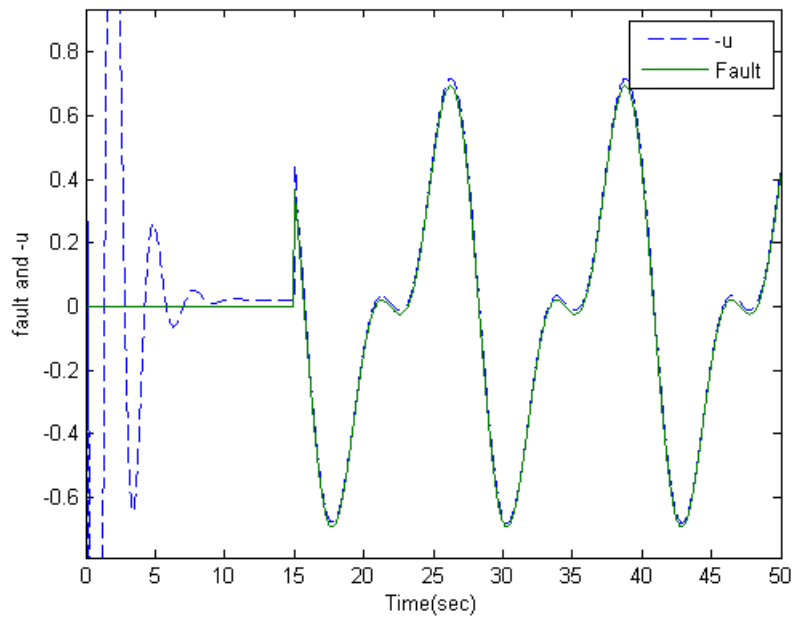
شکل ۲-۵- حالت‌های سیستم



شكل ٣-٥ - سطح لغزش



شكل ٤-٥ - تلاش کنترلی



شكل ٥-٥- سیگنال خطأ و ( $-u$ )

## فصل ششم

### نتیجه‌گیری و پیشنهادات

## ۱-۶ نتیجه‌گیری

در این پایان نامه ابتدا در فصل اول به بررسی و اهمیت موضوع بازسازی خطا پرداختیم، سپس با بررسی برخی از روش‌های انجام شده در زمینه بازسازی خطا و رویتگرهای مدل‌لغزشی چارچوب کلی تحقیق را مشخص کردیم. در فصل دوم برخی تعاریف و برتری بازسازی خطا مورد بررسی قرار گرفت همچنین یک مدل ریاضی برای دینامیک عرضی هوایپیما ارائه شد و در فصل سوم رویتگرهای مود‌لغزشی مورد بررسی قرار گرفتند.

در فصل سوم، با مرور و بررسی رویتگرهای مدل‌لغزشی، با استفاده از تحلیل ریاضی، و نتایج شبیه سازی معایب و مزایای رویتگرهای مدل‌لغزشی بررسی شدند. با توجه به اینکه بازسازی خطا با استفاده از رویتگر مدل‌لغزشی، نیاز به دانستن حداکثر خطای محرک دارد، در نهایت با بررسی یک نوع رویتگر تطبیقی که نیازی به دانستن حداکثر خطای محرک ندارد، با تحلیل ریاضی و شبیه سازی، معایب آن بررسی و مشخص گردید. سپس یک رویتگر تطبیقی پایدار، برای تخمین حالت‌های سیستم و بازسازی خطای محرک پیشنهاد دادیم. پایداری این رویتگر پیشنهادی با استفاده از تئوری پایداری لیاپانوف اثبات شده است. همگرایی خطای تخمین حالت به ناحیه‌ای در نزدیکی مبدا تضمین شده و در نتیجه تخمین خطای محرک با خطای محدود، تضمین گردیده است. نتایج شبیه سازی مزیت و برتری رویتگر پیشنهادی را نشان می‌دهد.

در فصل چهارم با فرض وجود عدم قطعیت و اغتشاش در سیستم، به تأثیر این عوامل بر فرایند بازسازی خطا پرداختیم، با توجه به اینکه وجود عدم قطعیت و اغتشاش در سیستم ممکن است باعث دیده نشدن خطای محرک شود، یک رویتگر مدل‌لغزشی تطبیقی برای بازسازی خطا پیشنهاد کردیم، رویتگر پیشنهادی پایدار بوده و تضمین همگرایی حالت‌ها به محدوده‌ای در نزدیکی حالت‌های اصلی سیستم تضمین شده است. مزیت رویتگر پیشنهادی در جداسازی اغتشاش از خطای محرک می‌باشد

در نتیجه رویتگر پیشنهادی نسبت به اغتشاش و عدم قطعیت مقاوم است، علاوه بر این رویتگر پیشنهادی با استفاده از قانون تطبیق دامنه عدم قطعیت و خطای محرک را تخمین می‌زند و در نتیجه الگوریتم پیشنهادی بی‌نیاز از دانش در مورد دامنه عدم قطعیت و خطای محرک می‌باشد.

در فصل سه و چهار اساس بازسازی خطای محرک، بر پایه رویتگر مدل‌لغزشی بود. اما در فصل پنجم با استفاده از روش کنترل مدل‌لغزشی دینامیک یک کنترل‌کننده تحمل پذیرخطا طراحی شده است. با پیشنهاد یک سطح لغزش مناسب، و با فرض محدود بودن خطای محرک، علاوه بر کنترل تحمل پذیرخطا، بازسازی خطای محرک نیز بدست آمده است. در این بخش برای تخمین جمله نامعلوم سطح لغزش کنترل‌کننده از یک رویتگر مقاوم LTR استفاده شده است، همچنین برای تخمین حداکثر عدم قطعیت و اغتشاش وارد بر سیستم از کنترل مدل‌لغزشی دینامیک تطبیقی استفاده شده است. مزیت روش پیشنهادی در تضمین پایداری سیستم، حذف چترینگ به علت استفاده از کنترل مدل‌لغزشی دینامیک، باز سازی همزمان خطا و همچنین کنترل تحمل پذیر خطای عدم نیاز به حداکثر دامنه عدم قطعیت و اغتشاش خارجی، تخمین حالت مقاوم سیستم می‌باشد.

## ۲-۶ پیشنهادات

موارد زیر برای کارهای تحقیقاتی در آینده پیشنهاد می‌شود:

- استفاده از روش‌های هوشمند برای بهینه سازی کنترل‌کننده‌ها و رویتگرهای پیشنهادی.
- استفاده از مدل غیرخطی سیستم.
- بازسازی خطای سنسور.
- استفاده از روش‌های فازی و عصبی برای کاهش وابستگی طراحی به مدل ریاضی سیستم.

- [1] International Civil Aviation Organization (ICAO) 2013.
- [2] International Air Transport Association (IATA), IATA Annual Report 2005 Edition, IATA Press, 2005.
- [3] Guangqing Jia, Adaptive observer and sliding mode observer based actuator fault diagnosis for civil aircraft, B.A.Sc., Beijing Institute of Technology, Beijing, China, 1997.
- [4] D.G. Luenberger, “An introduction to observers,” IEEE Transactions on Automatic Control, 16:596–602, 1971.
- [5] V.I. Utkin, “Sliding Modes in Control Optimization,” Springer-Verlag, Berlin, 1992.
- [6] B.L. Walcott and S.H. Zak, “State observation of nonlinear uncertain dynamical systems,” IEEE Transactions on Automatic Control, 32:166–170, 1987.
- [7] B.L. Walcott and S.H. Zak, “Combined observer-controller synthesis for uncertain dynamical systems with applications,” IEEE Transactions on Systems, Man and Cybernetics, 18:88–104, 1988.
- [8] C. Edwards and S.K. Spurgeon, “On the development of discontinuous observers,” International Journal of Control, 59:1211–1229, 1994.
- [9] Q.R. Butt, A.I. Bhatti, M.R. Mufti, M.A. Rizvi, I. Awan, “Modeling and online parameter estimation of intake manifold in gasoline engines using sliding mode observer,” Simulation Modelling Practice and Theory 32 (2013) 138-154.
- [10] M. Comanescu, L. Xu, “Sliding-mode MRAS speed estimators for sensorless vector control of induction machine,” IEEE Transactions on Industrial Electronics 53 (2005) 146-153.
- [11] A. Benchaib, A. Rachid, E. Audrezet, M. Tadjine, “Real-time sliding-mode observer and control of an induction motor,” IEEE Transactions on Industrial Electronics 40 (1999) 128-138.
- [12] M. Chanes, G. Zheng, “On sensorless induction motor drives: Sliding Mode Observer and Output Feedback Controller,” IEEE transactions on Industrial Electronics 56 (2009) 3404-3413.
- [13] C. Picardi, F. Scibilia, “Sliding-mode observer with resistances or speed adaptation for field-oriented induction motor drives,” in: Proc. of the 32<sup>nd</sup> IEEE Annual Conf. on Ind. Electron. (IECON’06), 2006, pp. 1481-1486.
- [14] S. solvar, V.Le, M. Ghanes, J.P. Barbot, G. Santomenna, “Sensorless second order sliding mode observer for induction motor,” in: Proc. of the IEEE Int. Conf. on Control Appl. (CCA’10), 2010, pp. 1934-1983.
- [15] S. Baev, I. Shkolnikov, Y. Shtessel, A. Poznyak, “Parameter identification of non-linear system using traditional and high order sliding modes,” in: Proceedings of the 2006 American control Conference Minneapolis, Minnesota, USA , June14-16, 2006.
- [16] H. Shraim, B. Ananou, L. Fridman, H. Noura, M. Ouladsine, “Sliding mode observer for the estimation of vehicle parameters, forces and states of the center of gravity,” in: Proceeding



of the 45<sup>th</sup> IEEE Conference on Decision & Control (2006), San Diego, CA, USA, December 13-15.

- [17] R. A.McCann, M. S.Islam, Student Member, IEEE, and I. Husain, Senior Member, IEEE “Application of a sliding-mode observer for position and speed estimation in switched reluctance motor drives,” IEEE Transaction on Industry Applications 37(1), 2001.
- [18] M. S.Islam, I. Husain, R. J.Veillette, C. Batur, “Design and performance analysis of sliding-mode observers for sensor less operation of switched reluctance motors,” IEEE Transaction on Control Systems Technology 11 (3) (May 2003).
- [19] A. Stotsky, I. Kolmanovsky, “Simple unknown input estimation techniques for automotive application, in: Proceeding of the American Control Conference,” Arlington, VA, 2001.
- [20] C. Edwards & S. K. Spurgeon, “Sliding mode control: theory and applications,” London: Taylor and Francis Ltd, (1998).
- [21] X. G. Yan, C. Edwards & S. K. Spurgeon, “Decentralised robust sliding mode control for a class of nonlinear interconnected systems by static output feedback,” Automatica, 40(4), 613–620, 2004.
- [22] C. Edwards and S.K. Spurgeon, “A sliding mode observer based FDI scheme for the ship benchmark,” European Journal of Control, 6:341–356, 2000.
- [23] C. Edwards, S.K. Spurgeon, and R.J. Patton, “Sliding mode observers for fault detection and isolation,” Automatica, 36(4):541–553, April 2000.
- [24] W. Chen and M. Saif, “Robust fault detection in uncertain nonlinear systems via a second order sliding mode observer,” Proceedings of the 40th IEEE Conference on Decision and Control, 1:573–578, 2001.
- [25] B. Sreedhar, B. Fernández, and G.Y. Masada, “Robust fault detection in nonlinear systems using sliding mode observers,” 2nd IEEE Conference on Control Applications, 2:715–721, 1993.
- [26] H. Yang and M. Saif, “Fault detection in a class of nonlinear systems via adaptive sliding observer,” 1995 IEEE International Conference on Systems, Man and Cybernetics, 3:2199–2204, 1995.
- [27] K. Watanabe and D.M. Himmelblau, “Instrument fault detection in system with uncertainties,” International Journal of Systems Science, 13(2):137–158, 1982.
- [28] Y. Xiong and M. Saif, “Robust and nonlinear fault diagnosis using sliding mode observers,” Proceedings of the IEEE Conference on Decision and Control, 1(1):567–572, 2001.
- [29] T.K. Yeu and S. Kawaji, “Fault detection and isolation for descriptor systems using sliding mode observer,” Proceedings of the 40th IEEE Conference on Decision and Control, 1:596–597, 2001.
- [30] L. Ma, Y. Yang, F. Wang, and N. Lu, “A sliding mode observer approach for fault detection and diagnosis in uncertain nonlinear systems,” Proceedings of the 4th World Congress on Intelligent Control and Automation, 4(4):2714–2717, 2002.



- [31] A. Akhenak, M. Chadli, D. Maquin, and J. Ragot, "Sliding mode multiple observer for fault detection and isolation," 42nd IEEE International Conference on Decision and Control, 1:953–958, 2003.
- [32] J. Wang, J. Zhao, and L. Ma, "A robust fault detection and isolation method via sliding mode observer," 5th World Congress on Intelligent Control and Automation, 2(2):1727–1730, 2004.
- [33] C.P. Tan, C. Edwards, "Sliding mode observers for robust detection and reconstruction of actuator and sensor faults" Int. J. Robust Nonlinear Control **13**, 443–463, 2003.
- [34] M. Saif and Y. Guan, "A new approach to robust fault detection and identification" IEEE Transactions on Aerospace and Electronic Systems, 29:685–695, 1993.
- [35] C. Edwards and C.P. Tan, "A comparison of sliding mode and unknown input observers for fault reconstruction" European Journal of Control, 12:245–260, 2006.
- [36] K.J. Åström, T. Hagglund, "Pid Controllers: Theory, Design and Tuning," Instrument Society of America, Research Triangle Park (1995).
- [37] H.W. Sorenson, "Kalman Filtering: Theory and Application," IEEE Press, New York (1985).
- [38] G. Welch, G. Bishop, "An introduction to the Kalman filter" Technical report TR 95-041, University of North Carolina, 2006.
- [39] J.M. Maciejowski, "Multivariable Feedback Design" Addison-Wesley, Reading (1989).
- [40] H.H. Rosenbrock, "State Space and Multivariable Theory" Wiley, New York (1970).
- [41] S. Skogestad, I. Postlethwaite, "Multivariable Feedback Control: Analysis and Design" Wiley, New York (1996).
- [42] K. Zhou, J.C. Doyle, K. Glover, "Robust and Optimal Control. Prentice Hall," New Jersey (1996).
- [43] H. Alwi, C. Edwards, C.P. Tan, Fault Detection and Fault-Tolerant Control Using Sliding Modes, Springer, 2011.
- [44] C. Edwards, T. Lombaerts, H. Smaili, "Fault Tolerant Flight Control: A Benchmark Challenge," vol. 399. Springer, Berlin (2010).
- [45] S. Simani, C. Fantuzzi, R.J. Patton, Model-Based Fault Diagnosis in Dynamic Systems Using Identification Techniques, Springer, 200.
- [46] R. Isermann, Fault-Diagnosis Systems, An Introduction from Fault Detection to Fault Tolerance, Springer, 2005.

سیاهی. م ، رساله‌ی دکتری ، " سیستم‌های کنترل تحمل‌پذیر خطا، مطالعه‌ی موردنی هواپیمای بدون سرنشین" برق و  
[47]



- [48] R. J. Patton, P.M. Frank and R. N. Clark, “Fault Diagnosis in Dynamic Systems, Theory and Application” Control Engineering Series. Prentice Hall, London, 1989.
- [49] J. Chen and R. J. Patton, “Robust Model-Based Fault Diagnosis for Dynamic Systems,” Kluwer Academic, 1999.
- [50] R.J. Patton, P.M. Frank and R. N. Clark, “Issues of Fault Diagnosis for Dynamic Systems” Springer-Verlag, London Limited, 2000.
- [51] M. Basseville and I. V. Nikiforov, “Detection of Abrupt Changes: Theory and Application” Prentice-Hall Inc, 1993.
- [52] J. Gertler, “Fault Detection and Diagnosis in Engineering Systems” Marcel Dekker, New York, 1998.
- [53] X.G. Yan, C. Edwards, “Nonlinear robust fault reconstruction and estimation using a sliding mode observer,” *Automatica* 43, 1605 – 1614, 2007.
- [54] E. Ostertag, Mono- Multivariable Control and Estimation, Linear, Quadratic and LMI Methods, Chapter 1, Springer- Verlag Berlin Heidelberg 2011.
- [55] M. Siah, M.A. Sadrnia, A. Darabi, “ Fault diagnosis using adaptive technique” *Journal of Applied Sciences* 8(22): 4129-4136, 2008.
- [56] J.J.E. Slotine, J.K. Hedrick, E.A. Misawa, “On sliding observers for nonlinear systems” *Trans. ASME J. Dyn. Syst. Meas. Control* **109**, 245–252, 1987.
- [57] K. Y. Ng, C. P. Tan, R. Akmelawati and C. Edwards, “Disturbance decoupled fault reconstruction using sliding mode observers,” *Proc. IFAC World Congress*, Vol. 17, pp. 7215–7220, 2008.
- [58] J. Y. Hung, W. B. Gao & J. C. Hung, “Variable structure control: a survey” *IEEE Transactions on Industrial Electronics*, 40, 2–22 1993.
- [59] G. Bartolini, “Chattering phenomena in discontinuous control systems” *International Journal of Systems Science*, 20, 2471–2481, 1989.
- [60] G. Bartolini, A. Ferrara & E. Usai “Chattering avoidance by secondorder sliding mode control” *IEEE Transactions on Automatic Control*, 43, 241–246, 1998.
- [61] G. Bartolini & P. Pydnowski, “An improved, chattering free, V.S.C scheme for uncertain dynamical systems” *IEEE Transactions on Automatic Control*, 41, 1220–1226, 1996.
- [62] M. Chen, C. Chen and F. Yang, “An LTR-observer-based dynamic sliding mode control for chattering reduction”, *Automatica*, vol. 453, pp. 1111-1116, 2007.



## **Abstract:**

It is well known that the reliability of control systems is very important therefore design of fault detection or fault reconstruction methods is very important and vital. In this thesis, first we used sliding mode observers for fault reconstruction and analyzed their performance, then with analyze an adaptive sliding mode observer, we proposed a different adaptive sliding mode observer for fault reconstruction and analyze it's stability using Lyaponov theorem. For design this proposed adaptive sliding mode observer we do not need the upper bound of fault and it is estimated with adaptation law. In the study, due to uncertainty and disturbance in the system, and their impact on fault reconstruction process, a stable adaptive sliding mode observer for actuator fault reconstruction is proposed, in the proposed method disturbance decoupled is guaranteed. Advantages of the proposed actuator fault reconstruction is fault reconstruction decoupled from disturbance, and need for knowledge about the maximum amplitude of fault is also a eliminated. In addition using sliding mode observers for fault reconstruction we used a dynamic sliding mode control for design a closed loop control system that is robust respect to actuator fault. This proposed method, is a fault tolerant control and if we suppose that the actuator fault is bounded this controller is able to reconstruct it. Moreover in this method, we used adaptation law for estimate the upper bound of uncertainties and disturbances. In this proposed method, sliding surface of dynamic sliding mode control is basis for fault reconstruction and this sliding surface is different. For estimate the unknown states of system, we used a robust LTR observer. Finally, the stability of closed loop system is guaranteed using Lyaponov method.



**Key words:** Fault reconstruction, Adaptive sliding mode observer, Dynamic sliding mode control.





Shahrood University of Technology

Department of Electrical & Robotic Engineering

## **Robust Fault Detection Using a Sliding Mode Observer For Boeing 747 Aircraft**

Parisa Ansari-Bonab

Supervisor:

Dr. Mohammad-Ali Sadrnia

Advisor:

Dr. Ali Karami-Mollaee

February 2014